

# Die Foraminiferen der Unterkreide von Trinidad, W.I. Zweiter Teil, Maridale-Formation (Typlokalität)

Autor(en): **Bartenstein, Helmut / Bettenstaedt, Franz / Bolli, Hans M.**

Objektyp: **Article**

Zeitschrift: **Eclogae Geologicae Helvetiae**

Band (Jahr): **59 (1966)**

Heft 1

PDF erstellt am: **21.09.2024**

Persistenter Link: <https://doi.org/10.5169/seals-163363>

## **Nutzungsbedingungen**

Die ETH-Bibliothek ist Anbieterin der digitalisierten Zeitschriften. Sie besitzt keine Urheberrechte an den Inhalten der Zeitschriften. Die Rechte liegen in der Regel bei den Herausgebern.

Die auf der Plattform e-periodica veröffentlichten Dokumente stehen für nicht-kommerzielle Zwecke in Lehre und Forschung sowie für die private Nutzung frei zur Verfügung. Einzelne Dateien oder Ausdrucke aus diesem Angebot können zusammen mit diesen Nutzungsbedingungen und den korrekten Herkunftsbezeichnungen weitergegeben werden.

Das Veröffentlichen von Bildern in Print- und Online-Publikationen ist nur mit vorheriger Genehmigung der Rechteinhaber erlaubt. Die systematische Speicherung von Teilen des elektronischen Angebots auf anderen Servern bedarf ebenfalls des schriftlichen Einverständnisses der Rechteinhaber.

## **Haftungsausschluss**

Alle Angaben erfolgen ohne Gewähr für Vollständigkeit oder Richtigkeit. Es wird keine Haftung übernommen für Schäden durch die Verwendung von Informationen aus diesem Online-Angebot oder durch das Fehlen von Informationen. Dies gilt auch für Inhalte Dritter, die über dieses Angebot zugänglich sind.

# Die Foraminiferen der Unterkreide von Trinidad, W. I.

## Zweiter Teil: Maridale-Formation (Typlokalität)<sup>1)</sup>

Von **Helmut Bartenstein**<sup>2)</sup>, Celle, **Franz Bettenstaedt**<sup>2)</sup>, Hannover,  
und **Hans M. Bolli**<sup>2)</sup>, Zürich

Mit 1 Textfigur und 4 Tafeln (I-IV)

### INHALT

1. Einleitung . . . . .	129
2. Lithologisch-stratigraphischer und historischer Überblick . . . . .	130
3. Taxionomischer Teil . . . . .	136
a) Gruppe der sandschaligen Foraminiferen . . . . .	136
b) Gruppe der kalkschaligen Foraminiferen . . . . .	145
c) Gruppe der Ostrakoden . . . . .	165
4. Stratigraphischer Teil . . . . .	165
5. Zusammenfassung (deutsch, französisch, englisch) . . . . .	172
6. Foraminiferenliste, alphabetisch nach Gattungen geordnet . . . . .	174
7. Literatur . . . . .	175

## 1. Einleitung

Die gemeinschaftliche Bearbeitung der Foraminiferen-Fauna aus der Unterkreide von Trinidad, W. I. wird mit der Beschreibung der Maridale-Formation fortgesetzt, und zwar ihrer Typlokalität Maridale Estate, die der *Biglobigerinella barri*-Zone, dem unteren Teil dieser Formation entspricht.

Maridale-Formation	<i>Praeglobotruncana rohri</i> -Zone <i>Biglobigerinella barri</i> -Zone
--------------------	---

Die Bearbeitung des oberen Teils (*Praeglobotruncana rohri*-Zone) sowie eine zusammenfassende Betrachtung sämtlicher paläontologischen und stratigraphischen Ergebnisse aus der Unterkreide von Trinidad werden später folgen. Gleichzeitig damit wird eine Verbreitungstabelle der Foraminiferen und, falls notwendig, ein Nachtrag zu Teil 1 (Cuche- und Toco-Formation) veröffentlicht werden.

<sup>1)</sup> Erster Teil: Cuche- und Toco-Formation. – *Eclogae geol. Helv.* 50, Nr. 1 (1957), 5–67 (Basel).

<sup>2)</sup> Anschriften der Verfasser:

Dr. HELMUT BARTENSTEIN, Mobil Oil AG. in Deutschland, 3100 Celle (Deutschland), Postfach 110.  
Prof. Dr. FRANZ BETTENSTAEDT, PREUSSAG AG., 3000 Hannover (Deutschland), Leibnizufer 9.  
Prof. Dr. HANS M. BOLLI, Geologisches Institut der Eidgenössischen Technischen Hochschule, Sonneggstrasse 5, 8006 Zürich.

Über die Themabegrenzung (Foraminiferen) hinaus werden in dem vorliegenden 2. Teil auch einige Ostrakoden (Tafel 4B) abgebildet. Leider ist dieses Material zunächst so klein, dass eine spezielle Untersuchung der unterkretazischen Ostrakoden-Fauna in Trinidad von zukünftigen Funden abhängig gemacht werden muss.

Die fotografische Darstellung der Foraminiferen wäre unmöglich gewesen ohne die freundschaftliche Mithilfe des Chef-Mikropaläontologen Dr. HEINZ OERTLI der Société Nationale des Pétroles d'Aquitaine, Centre de Recherches in Pau (Frankreich). Dr. HEINZ OERTLI und seinen Mitarbeitern, die sämtliche Aufnahmen der Tafeln 1–4 angefertigt haben, gebührt unser besonderer Dank.

Durch Diskussionen und Beiträge – in erster Linie zum stratigraphischen und historischen Teil – hat Dr. H. G. KUGLER, Basel, wieder in wertvoller Weise zum Gelingen dieser weiteren Arbeit über die Unterkreide-Foraminiferen von Trinidad beigetragen. Dafür möchten ihm die Autoren ihren herzlichen Dank aussprechen. Die TRINIDAD LEASEHOLDS LTD. (jetzt TEXACO TRINIDAD INC.) unterstützte seinerzeit in grosszügiger Weise das Aufsammeln und Bereitstellen des vorliegenden Materials.

## **2. Lithologisch-stratigraphischer und historischer Überblick**

### **Allgemeine Bemerkungen**

Die Maridale-Formation besteht aus dunkelgrauen bis blaugrauen, jedoch hell und gelblichbraun anwitternden Mergeln, die sehr reich an benthonischen und planktonischen Foraminiferen sind und meist auch an Radiolarien. Daneben finden sich eine Anzahl von Ostrakoden-Arten. Weiter treten darin Makrofossilreste wie Seeigelstacheln, Fischzähne und Schwammnadeln auf. Von besonderer Bedeutung ist das Vorkommen einiger Belemniten-Arten, die weiter unten noch erwähnt werden.

Bis jetzt ist kein Profil bekannt, in dem die Maridale-Formation in normalem Kontakt mit stratigraphisch Älterem oder Jüngerem beobachtet werden konnte. Darauf wurde bereits im ersten Teil dieser Arbeit (1957, S. 7) wie folgt hingewiesen: «Die Maridale-Formation (Apt–Alb) selbst ist nur in Form von aufgearbeiteten Blöcken und Schlipfmassen in jüngeren Formationen bekannt.» Es ist sehr wohl möglich, dass die Mergel der Maridale-Formation, ähnlich wie z. B. die älteren Bon-Accord-Mergel, in der Tat lediglich ein Member der Cuche-Formation bilden. Sie würden dann in den höheren Teil dieser Formation fallen, die aus bis 1500 m mächtigen grauschwarzen und glimmerreichen, weichen Schiefern besteht. Bis aber die wirkliche Stellung der Maridale-Mergel zur Cuche-Formation abgeklärt ist, werden sie als selbständige Formation beibehalten.

Für den allgemeinen lithologischen und stratigraphischen Überblick über die Cuche-Formation wird auf die Bemerkungen in Teil 1 (S. 7–9) hingewiesen. Auf die stratigraphischen und tektonischen Probleme der Maridale-Formation sowie ihrer Erhaltung in den verschiedenen Aufschlüssen wird später noch eingegangen.

### **Typlokalität Maridale Estate**

Die Typlokalität der Maridale-Formation befindet sich unmittelbar vor dem Wohnhaus der Maridale Estate, welche am östlichen Abfall der Central Range gegen die Nariva-Sümpfe liegt. Die Estate wird durch einen etwa 1 km langen, kleinen

Fahrweg erreicht, welcher in den Brigand Hills von der Plum Road abzweigt (Textfig. 1). Bis vor kurzem waren die Maridale-Mergel im Gärtchen vor dem Estate Haus noch aufgeschlossen. Bei einem Besuch im Frühjahr 1965 stellte Dr. H. G. KUGLER aber fest, dass dies nun nicht mehr der Fall ist. Mittels eines Handbohrers oder einer untiefen Grabung sollten sie dort aber jederzeit wieder zugänglich sein.

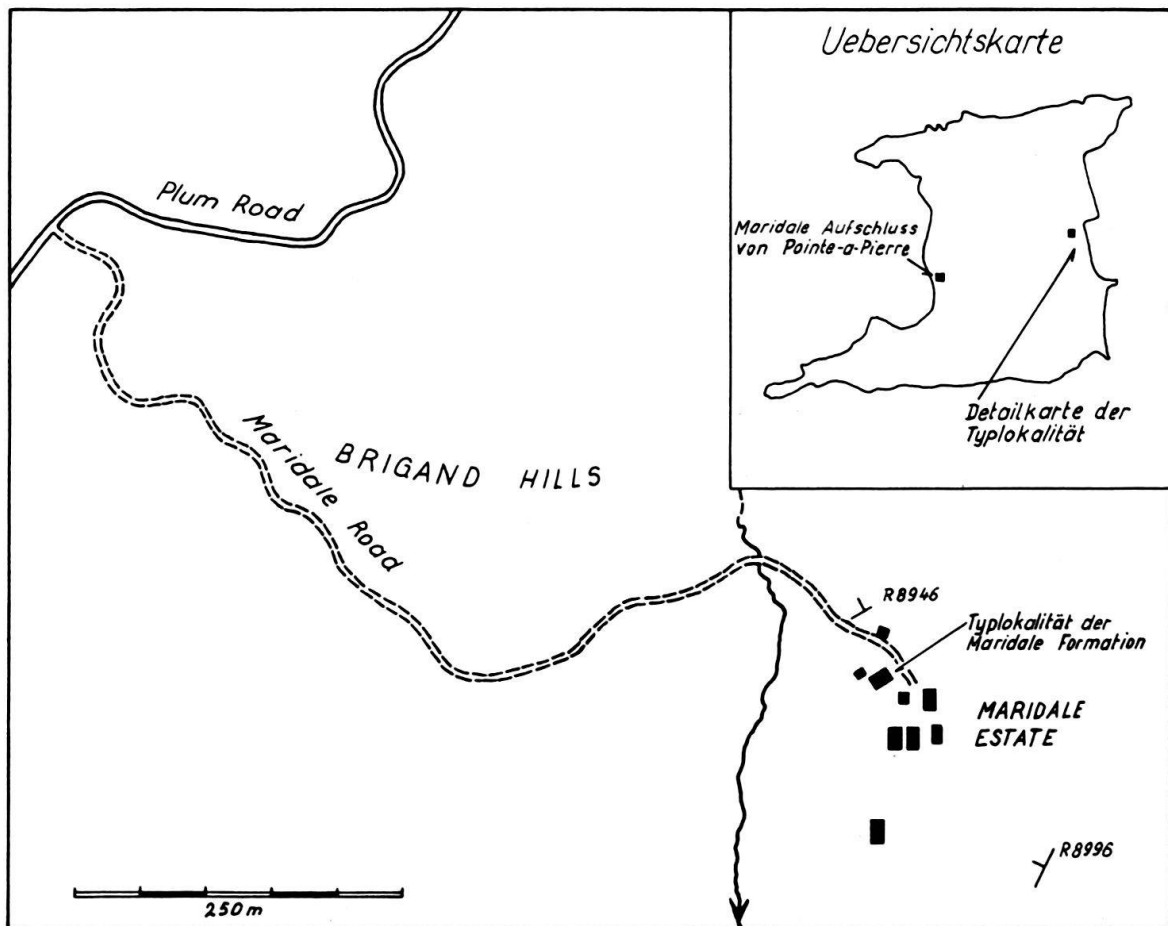


Fig. 1. Übersichtskarte von Trinidad und Detailkarte des Gebietes der Maridale Estate mit der Typlokalität der Maridale-Formation. R 8946 und R 8996: im Text erwähnte Aufschlüsse.

### Co-Typlokalität Pointe-à-Pierre

Im ersten Teil dieser Arbeit wurde ein Aufschluss der Maridale-Formation auf der Westseite der Insel bei Pointe-à-Pierre unter der Bezeichnung «Railway Viaduct» (1957, S. 12, Textfig. 1–2) kurz beschrieben. Dieser ist bedeutend leichter erreichbar als die Typlokalität auf der Ostseite der Insel. Lithologie und Mikrofauna der beiden Vorkommen sind praktisch gleich. Nach Dr. KUGLER war der Aufschluss «Railway Viaduct», der sich an der Ostseite der «Church of God» etwa 100 Meter nördlich des Eisenbahnviaduktes befand, im Frühjahr 1965 ebenfalls überdeckt. Etwa 20 m nördlich davon fanden sich aber die gleichen Mergel noch aufgeschlossen. Sie bilden dort als Schlipfmasse in der miozänen Nariva-Formation einen niederen Hügel von etwa 60 m Breite und 300 m Länge.

Neben diesen beiden bekanntesten Vorkommen von Maridale-Mergel, eines am Ostende, das andere am Westende der Central Range gelegen, finden sich im Gebiet der Central Range noch weitere vereinzelt Aufschlüsse, von denen besonders jene im Cuche River erwähnenswert sind.

Aufgrund der planktonischen Foraminiferen wird die Maridale-Formation in eine jüngere *Praeglobotruncana rohri*-Zone und eine ältere *Biglobigerinella barri*-Zone unterteilt. Die Mergel sowohl der Typlokalität wie auch der Co-Typlokalität fallen in die *Biglobigerinella barri*-Zone.

### Historischer Überblick

Die Maridale-Formation wurde 1938 von HUTCHISON (S. 232) in seiner Publikation «A Note upon the Cretaceous of Trinidad» mit folgender Begründung aufgestellt:

«Apparently at the base of an overturned and similar shale series, capped by the thick fringing Miocene reef limestones of Guaracara type, is an other Belemnite bearing marl. The microfauna of this horizon has indicated to GRIMSDALE an Albian-Cenomanian age; and the belemnites, identified by Prof. STOLLEY, a slightly older, and Aptian age. GRIMSDALE finds, inter alia, *Rhabdogonium tricarinatum* REUSS var. *acutangulum* CHAPMAN (from the Albian-Cenomanian of Europe) and *Vaginulina recta* REUSS (from the Denton of Texas and the Albian-Cenomanian of Europe). Professor STOLLEY identified *Neohibolites semicanaliculatus*, after Prof. STOLLEY Uppermost Aptian age.

The Maridale formation is known in situ from only one other exposure besides those on Maridale Estate viz. south of Mount Harris; but that it was probably widespread is proved from the discovery by TERPSTRA of the Maridale foram assemblage in blocks and boulders of marl from the Pointe-à-Pierre Boulder Bed. Such relatively soft rocks could not have been far transported. A limestone boulder from the same source containing *Orbitolina* cf. *concava* is probably not younger than Cenomanian and close to the Maridale formation.»

RENZ gebrauchte 1942 (S. 523) den Ausdruck «Maridale Marl» und bemerkte dazu folgendes:

«HUTCHISON refers to this deposit (yellowish-gray indurated marl) as Maridale formation. The type locality is at Maridale Estate in eastern central Trinidad, but the marl outcrops also in the Cuche River and north of Pointe-à-Pierre. The Maridale marl contains some belemnites which have been determined by Prof. E. STOLLEY (private communication) as:

*Neohibolites aptiensis* KILIAN

*Neohibolites semicanaliculatus* BLAINVILLE

*Neohibolites* probably from the group *Neohibolites ewaldi*.

These indicate an Upper Aptian age. HUTCHISON reports from the same marl a few foraminifera.»

LIDDLE (1946, S. 708) schrieb über die Vorkommen der Maridale-Mergel wie folgt:

«The Maridale marl is known from Maridale Estate in the east central part of the Central Range, and from Cuche River and the vicinity of Mount Harris farther east. Marl having a similar appearance, but not known to be the same horizon, outcrops at Pointe-à-Pierre in association with La Carrière shale.»

Über das Alter fügte er hinzu (S. 711):

«LIDDLE agrees with the Albian-Cenomanian age determination of the Maridale marl by GRIMSDALE rather than with the Upper Aptian age determination by Professor E. STOLLEY.»

Zur Maridale-Frage zitierte LIDDLE ferner die auch hier aufgeführten HUTCHISON (1938) und RENZ (1942).

In einem privaten, nicht publizierten Rapport erwähnte einer unserer Verfasser (BETTENSTAEDT) 1950 folgende Foraminiferen<sup>3)</sup> aus der Maridale-Formation:

*Anomalina* n. sp. aff. *complanata* REUSS (= *Anomalina* D 10 HECHT)

*Saracenaria* ? sp. (= *Cristellaria* D 63 HECHT)

*Dentalina lilli* REUSS (= *Dentalina* D 11 HECHT)

*Gaudryina rugosa* ORBIGNY (= *Tritaxia* D 4 HECHT)

Von den zahlreichen Radiolarien erwähnte er in diesem Rapport *Dicolocapsa* sp. und *Dictyomitra varians* RÜST und stellte die Maridale-Fauna in das Apt bis Unter-Alb.

In einem weiteren privaten und nicht publizierten Rapport fügte D. D. BANNINK 1951 folgende Foraminiferen-Arten hinzu, denen er ebenfalls ein Apt- bis Unter-Alb-Alter gab:

*Glomospira gordialis* PARKER & JONES

*Spiroplectinata annectens* PARKER & JONES<sup>4)</sup>

*Glomospira charoides* ORBIGNY

*Dorothia* cf. *D. filiformis* (BERTHELIN).

SUTER (1951-1952) erhob den Maridale «Marl» von RENZ (1942) mit folgender Begründung wieder zur Formation:

«The Maridale marls are now raised to formation status on the basis of their lithologic uniformity and of their foraminiferal fauna, which on evolutionary considerations can be placed between the Cuche and the Gautier formations (BRÖNNIMANN 1950); in addition the presence of *Neohibolites semicanaliculatus* BLAINVILLE supports an Aptian-Albian age, according to STOLLEY. Maridale marls occur in the core of the Central Range and always in faulted position, and thus the upper and the lower boundaries are invariably obscure. At the type locality (Maridale Estate, south of Brigand Hill) the marls are hard, dark-grey to blue-grey, and weather to a khaki-brown colour. The full thickness is unknown.»

Die Geologenversammlung 1955 in Pointe-à-Pierre, Trinidad, welche das von H. G. KUGLER vorbereitete «Stratigraphische Lexikon von Trinidad» diskutierte, beschloss, die Maridale-Mergel als eine Formation beizubehalten. Es wurde aber vermerkt, dass weitere Untersuchungen letzten Endes doch zum Einschluss der Maridale-Formation als Member in die Cuche-Formation führen könnten.

Im Lexikon selbst (KUGLER 1956, S. 75) findet man dann zur Maridale-Formation, deren Dicke dort mit mindestens 50 Fuss angegeben wird, folgende Bemerkungen:

«RENZ (1942, S. 523) reports the occurrence of *Neohibolites aptiensis*, *Neohibolites semicanaliculatus* indicating Upper Aptian age and relegates the Maridale marl to the rank of a member of the Cuche formation. Although the Maridale formation overlies the Cuche formation the field relationships are far from clear. However, its lithology and fauna differ sufficiently to retain it as separate formation.»

KUGLER & BOLLI (1956) fügten folgende Beobachtungen zu jenen von HUTCHINSON (1938) und RENZ (1942) hinzu, wobei sie in die Maridale-Formation auch jene Belemniten-führenden, gelbbraunen, verhärteten Mergel einschlossen, welche als allochthone Blöcke in der paleozänen Chaudière- und miozänen Nariva-Formation auftreten:

<sup>3)</sup> Die 1950 angeführten Arten erscheinen in der vorliegenden Bearbeitung unter den Namen *Gavelinella intermedia*, *Lenticulina* (*A.*) *scitula*, *Dentalina distincta* und *Gaudryina dividens*.

<sup>4)</sup> Es besteht kaum ein Zweifel, dass die unverwechselbare, von BANNINK als *Spiroplectinata annectens* bezeichnete Form zu der Art gehört, die im taxionomischen Teil als *Gaudryina reicheli* neu beschrieben wird.

«The Maridale formation of the type locality is represented by soft marls with a rich foraminiferal fauna that has not as yet been described. Large slump-masses of this marl are found in the Tertiary Nariva formation at Pointe-à-Pierre.»

1957 erschien der erste Teil unserer Publikation «Die Foraminiferen der Unterkreide von Trinidad, B. W. I.». Darin wurde die Foraminiferen-Fauna der Cuche- und Toco-Formationen bearbeitet und ihr Barrême-Alter diskutiert. Von der Maridale-Formation wurde lediglich die «Railway Viaduct»-Lokalität erläutert sowie einige Bemerkungen über die stratigraphische Stellung der Maridale-Formation gemacht.

BOLLI, LOEBLICH & TAPPAN (1957) beschrieben *Biglobigerinella barri* als neue Art aus der Typlokalität der Maridale-Formation. Diese Art wurde in der Folge als namengebendes Fossil für die *Biglobigerinella barri*-Zone verwendet (siehe nächster Abschnitt).

In seiner Arbeit über planktonische Kreideforaminiferen aus Trinidad (1959) unterteilte BOLLI die Maridale-Formation in die folgenden zwei Zonen:

*Praeglobotruncana rohri*-Zone

*Biglobigerinella barri*-Zone

Diese Zweiteilung wurde wie folgt begründet (S. 258–259):

«The Aptian-Albian Maridale formation is known only in the form of slip-masses (see e. g. BARTENSTEIN, BETTENSTAEDT, and BOLLI, 1957, text fig. 2). The formation is divided into a lower, *Biglobigerinella barri* zone, and an upper, *Praeglobotruncana rohri* zone. The type locality for the former is situated in front of the estate house of Maridale Estate, Eastern Central Range (Co-ordinates N:349360 links; E: 580120 links). A map showing the position of this locality will be given in BARTENSTEIN, BETTENSTAEDT, and BOLLI's paper on the Foraminifera of the Maridale formation which is now in preparation. Compared with the Cuche formation there is a marked increase in planktonic Foraminifera in a rich microfauna that also includes many Radiolaria species. Besides several planktonic species which range up from the underlying *Leupoldina protuberans* zone, there are a number of new forms present in the *Biglobigerinella barri* zone. Three species, including the zonal marker, were found to be restricted to the zone. The age of the *Biglobigerinella barri* zone is considered to be upper Aptian–Lower Albian.

Boulders of Maridale formation lithology and containing a benthonic foraminiferal fauna resembling that of the *Biglobigerinella barri* zone occur reworked in the upper Eocene Plaisance conglomerate in Pointe-à-Pierre, situated immediately northeast of the Station Road locality of the Cuche formation (see BARTENSTEIN, BETTENSTAEDT, and BOLLI, 1957, text fig. 2). The planktonic fauna of these boulders is sufficiently different from that of the *Biglobigerinella barri* zone to justify the erection of a separate zone. The zonal marker *Praeglobotruncana rohri* and *Planomalina* cf. *apsidostroba* are both restricted to this zone. A number of species known from the *Leupoldina protuberans* and *Biglobigerinella barri* zones are absent in the *Praeglobotruncana rohri* zone but appear again in the Cenomanian. The probable reason for this is a less favorable environment for these species in the *Praeglobotruncana rohri* zone. The *Praeglobotruncana rohri* zone is considered to be of middle-upper Albian age.»

Neben der verschiedenen Zusammensetzung der planktonischen Arten in diesen zwei Zonen findet man auch etwas verschiedenartige benthonische Faunen. Schliesslich fehlen in der *Praeglobotruncana rohri*-Zone Radiolarien, die in der *Biglobigerinella barri*-Zone, ganz besonders an der Co-Typlokalität Pointe-à-Pierre, äusserst zahlreich sind.

1959 erwähnte GRABERT in einer phylogenetischen Untersuchung die abwan-delnde Foraminiferen-Art *Gaudryina dividens* auch aus der Maridale-Formation und kam aufgrund ihrer Entwicklungshöhe zu dem Alter Ober-Apt bis tieferes Unter-Alb. In der gleichen Abhandlung (1959, S. 46) wurde auch das Vorkommen von *Lenticulina* (S.) *spinosa* in der Maridale-Formation angegeben.

Die folgenden weiteren, geologisch bedeutsamen Beobachtungen über die Maridale-Formation wurden freundlicherweise von Dr. H. G. KUGLER zur Verfügung gestellt:

Die bräunlich anwitternden, zum Teil verhärteten Mergel mit Kalzitvenen und dünnen kalkigen Bändchen fallen an der Typlokalität Maridale Estate mit  $30^\circ$  gegen NNW ein. Etwa 50m NW der Typlokalität findet sich ein Aufschluss von hartem, graphitischem, glimmerführendem Schiefer von typischem Aussehen der Cucho-Formation, der ebenfalls mit  $30^\circ$  gegen NNW einfällt (R 8946 in Textfig. 1). Dass die Maridale-Formation an der Typlokalität nicht mehr als etwa 15–20 m mächtig sein kann, geht daraus hervor, dass im Februar 1965 Dr. KUGLER nur etwa 6–7 m südlich davon einen Aufschluss von quarzreichem Sandstein feststellte. Dieser Aufschluss bestand aus zwei fast vertikal stehenden nach E fallenden Sandsteinlagen, jede etwa 1 m dick und getrennt durch ca. 1,2 m schwarze, siltige, glimmerführende Schiefer. Die Sandsteine sind grobkörnig mit einem «lustre-mottled» Kalzitzement. Der dazwischen liegende Schiefer enthält eine Linse von hartem, braun anwitterndem grobem Sandstein mit grossen bläulichen Quarzkörnern, weisse, eckige Körner und rostig gefärbte, gerundete Eisen-Ton-Komponenten, die an den sogenannten «Cherry-cake Grit» der Toco-Formation erinnern.

An der Lokation R 8996, etwa 200 m SSE der Maridale-Typlokalität (Textfig. 1) finden sich Blöcke von fossilhaltigen groben Kalken von wahrscheinlich eozänem Alter. Verschiedene Blöcke und Schlipfmassen von paleozänen und eozänen Schiefen wurden ferner vom Südabhang der Brigand Hills rapportiert, welche aus miozänen Kalken aufgebaut sind. Es ist somit durchaus möglich, dass hier ähnliche Wildflysch-Bedingungen herrschten, wie man sie am westlichen Ende der Central Range in Pointe-à-Pierre und an andern Teilen des Südfusses der Central Range findet. In diesem Fall würde die Cucho-Formation am Südfuss der Brigand Hills eine grosse Schlipfmasse innerhalb der miozänen Nariva-Formation bilden. Bis jetzt wurde aber angenommen, dass die miozäne Tamana-Formation der Brigand Hills direkt auf der autochthonen Unterkreide liegt. An allen übrigen Fundstellen in Trinidad liegt der Tamana-Kalkstein stets auf älterem Miozän, das grosse Schlipfmassen von Unter- und Oberkreidesedimenten enthalten kann. Dies ist ein weiterer Anhaltspunkt für die Auffassung, dass die Maridale-Formation an ihrer Typlokalität ebenfalls eine Schlipfmasse darstellt.

Das Typusprofil der Cucho-Formation im Cucho River der östlichen Central Range scheint strukturell gestört zu sein (BARR 1952). Es finden sich dort aber Anzeichen von Mergelhorizonten in einem anscheinend ungestörten stratigraphischen Verband innerhalb der Cucho-Formation, die Faunen vom Maridale-Typus führen. Wenn dies durch weitere Beobachtungen im Kreidekern der östlichen Central Range bestätigt werden kann, so könnte damit bewiesen werden, dass die Cucho-Formation die Unterkreide vom Barrême bis zur Transgression des Ober-Alb, vertreten durch das Patos-Konglomerat und die Evaporitserie der Laventille-Formation unterhalb der Gautier-Formation, umfasst. In diesem Falle würde dann die Maridale-Formation zu einem «Member» der Cucho-Formation werden, ebenso wie der im ersten Teil (1957, S. 11–12) beschriebene Bon Accord Marl und das Remanié Boulder Bed.

### 3. Taxionomischer Teil

Dem taxionomischen Teil wird die Textfassung der ersten Trinidad-Bearbeitung (1957) zugrunde gelegt, womit ausführliche Beschreibungen gut bekannter Arten aus Unterkreide und anderen Formationen unterbleiben. Auch wird mit einer Ausnahme (*Gaudryina reicheli* n. sp.) auf die Aufstellung neuer Arten bis zum Abschluss der Beschreibung sämtlicher Foraminiferen aus der Maridale-Formation verzichtet.

Bei vielen Foraminiferen, sowohl sandschaligen als auch kalkschaligen, kann man feststellen, dass bei grosser Ähnlichkeit des Gehäusebaus der einzige «Art-Unterschied» das verschiedene Grössenwachstum bildet. Möglicherweise handelt es sich hierbei lediglich um einen Generationswechsel: megalosphärische A 1- und A 2-Formen mit kleinen Gehäusen, mikrosphärische B-Form mit grossen Gehäusen. – Noch stärkere Unterschiede in der Gehäusegrösse werden durch optimale oder ungünstige Umweltbedingungen (Sauerstoffgehalt, Temperatur, Nahrung usw.) hervorgerufen (BETTENSTAEDT 1962, S. 396–398), die innerhalb eines Profils im Zeitablauf oft stark schwanken. Dies zeigt sich auch im Trinidad-Material bei verschiedenen Arten (*Haplophragmoides concavus*, *Ammobaculites goodlandensis*, *Gavelinella intermedia* u. a.). Ferner sind einige schon im Barrême der Cucho-Formation auftretende Arten (z. B. *Lenticulina excentrica*, *Lenticulina incurvata*, *Falsoguttulina vandenboldi*) dort zum Teil wesentlich kleinwüchsiger als in der Maridale-Formation. Grössenunterschiede allein werden daher zur Aufstellung neuer Arten nicht als ausreichend angesehen.

Auch in anderen Fällen wird vermieden, die Vielzahl der Artnamen unnötig zu vermehren; hierbei gilt, wie schon bei der ersten Bearbeitung (1957, S. 12–13), der Grundsatz einer «konventionellen» Namengebung für morphologisch indifferente und stratigraphisch bedeutungslose Arten ebenso wie der, die Möglichkeit geographisch bedingter Abweichungen gegenüber der morphologischen Ausbildung und Variationsbreite in europäischen Vorkommen zu berücksichtigen (1957, S. 13, 51).

Schliesslich ist es auch für taxionomische Fragen nicht ohne Bedeutung, dass die Lebensbedingungen für Kleinforaminiferen in der Maridale-Formation offensichtlich günstiger waren als in der Cucho- und Toco-Formation. Neben einer Grössenzunahme sind auch die kennzeichnenden Merkmale bei manchen Arten deutlicher ausgeprägt und lassen zuverlässigere Determinierungen zu. In diesem Zusammenhang sei betont, dass die spezifische Bestimmung aller stratigraphisch wichtigen, in Europa und Mittelamerika gleichzeitig vorkommenden Arten mit hoher Sicherheit vertreten werden kann.

Das Belegmaterial zu allen abgebildeten und beschriebenen Arten wird im Naturhistorischen Museum in Basel unter den Sammlungsnummern C 24 537–C 24 627 (Foraminiferen) und F 431–F 434 (Ostrakoden) aufbewahrt.

#### 3a. Gruppe der sandschaligen Foraminiferen

Das Baumaterial der agglutinierten Foraminiferen besteht bei glattwandigen oder feinkörnigen Gehäusen vornehmlich aus  $\pm$  amorpher Kieselsäure oder feinstem Sand, bei grobkörnigen Gehäusen dagegen aus gröberen Sand-, Glimmer- oder anderen Mineralkörnern sowie einem grossen Anteil an kleinen Foraminiferen-Gehäusen, besonders der Gattung *Hedbergella*, aber auch Radiolarien, kleinsten Ostrakoden-Schalen, Schwammnadeln und sogar winzigen *Ammodiscus*-(*Cornu-*

*spira-*) Spiralgehäusen. Nur die Gehäuse aus kieselig-amorphem, wie glasig wirkendem Material reagierten (bis auf geringe Verschmutzungsteile) nicht auf Salzsäure, bestehen also aus reiner Kieselsäure. Alle fein- bis grobkörnigen Gehäuse haben dagegen vorwiegend kalkigen Grus – neben Kalkgehäusen, Mineralkörnern, Kalkmergel- oder Mergelbröckchen – agglutiniert, lösen sich deshalb in HCl zum grössten Teil auf. In diesen Fällen ist es daher nicht möglich, kalklösende Säuren zur Unterscheidung von sand- oder kalkschaligen Foraminiferen zu benutzen.

### Familie Hyperamminidae

Gattung *Hyperammina* H. B. BRADY 1878

*Hyperammina gaultina* DAM 1950

Tafel 1, Figur 6–13

\*1950 *Hyperammina gaultina* n. sp. – DAM, *Albien*, S. 5, Taf. 1 Fig. 2.

1957 *Rhizammina indivisa* BRADY – BARTENSTEIN, BETTENSTAEDT & BOLLI, *Trinidad 1*, S. 14, Taf. 2 Fig. 30–31.

Material: C 24539/1–8.

Bemerkungen: Da die Gehäuse meist ohne Proloculus erhalten sind, ist die Gattungszuordnung unsicher. Wir möchten uns aber für *Hyperammina* entscheiden, zumal die oft dichotom verzweigten *Rhizammina* in der Unterkreide nur sehr selten vorkommen.

Es lassen sich rauhe, grobkieselige Formen (Fig. 6–9) von glattwandigeren, feinkieseligen Formen (Fig. 10–13) unterscheiden. Vereinzelt sind unregelmässiges Gehäusewachstum und Wandungseinschnürungen zu beobachten, letztere besonders bei den glattwandigen Formen. – In Trinidad nicht selten<sup>5</sup>).

### Familie Reophaeidae

Gattung *Reophaex* MONTFORT 1808

*Reophaex pilulifer* H. B. BRADY 1884

Tafel 1, Figur 14–16

\*1884 *Reophaex pilulifera* – BRADY, *Challenger*, S. 292, Taf. 30 Fig. 18–20.

1957 *Reophaex pilulifera* BRADY – BARTENSTEIN, BETTENSTAEDT & BOLLI, *Trinidad 1*, S. 15, Taf. 1 Fig. 4, 5, 9.

Material: C 24540/1–3.

Bemerkungen: Die mittel- bis grobkörnigen Gehäuse besitzen alle Merkmale der Formen aus der Cuiche-Formation, sind meist auch nur einkammerig (Fig. 15–16) erhalten, zudem in den verschiedensten Gehäuseebenen zusammengedrückt und liegen nur selten in ihrer ursprünglichen kugeligen Form vor (siehe auch Bemerkungen zu *Reophaex guttifer* BRADY). – In Trinidad nicht selten.

*Reophaex guttifer* H. B. BRADY 1884

Tafel 1, Figur 23–28

\*1884 *Reophaex guttifera* – BRADY, *Challenger*, S. 295, Taf. 31 Fig. 10–15.

1957 *Reophaex guttifera* BRADY – BARTENSTEIN, BETTENSTAEDT & BOLLI, *Trinidad 1*, S. 16, Taf. 1 Fig. 10–15.

Material: C 24627/1–6.

<sup>5</sup>) Die Häufigkeitsangaben beziehen sich ausschliesslich auf die Typlokalität der Maridale-Formation. Wie bereits in *Trinidad 1*. Teil (1957, S. 13) werden folgende Häufigkeitswerte unterschieden: *selten* = 1–4 Exemplare; *nicht selten* = 5–14 Exemplare; *häufig* = mehr als 15 Exemplare.

Bemerkungen: Die Zuordnung zu *Reophax* ist umstritten, weil die Gehäuse meist einkammerig erhalten sind; dies gilt für unsere sämtlichen Belegstücke aus der Maridale-Formation. Mit den Erfahrungen aus der Cucho-Formation möchten wir der Gattung *Reophax* den Vorzug geben, zumal bei diesen variablen Sandschallern viele Gattungsübergänge möglich sind. (Neuerdings wird *Proteonina* WILLIAMSON 1858 als Synonym von *Reophax* MONTFORT 1808 aufgefasst: LOEBLICH & TAPPAN 1955, Revision Recent Foram. Genera, S. 7. – R. W. BARKER 1960, Taxonomic Notes Challenger, S. 62).

Alle Gehäuse sind plattgedrückt. Sie besitzen – was für ihren Bruchstückcharakter spricht – neben der deutlich halsförmigen Mündung zusätzlich am anderen (unteren) Ende der Kammer ein einfaches Loch oder einen kurzen Röhrenfortsatz. Fig. 23–25 sind sehr plattgedrückte, mittelkörnige Gehäuse, Fig. 26–28 dagegen kräftige, weniger stark zusammengedrückte Exemplare mit sehr grobkörnigen Wandungen und eingebackenen Gehäusen von *Hedbergella* und Radiolarien. – In Trinidad nicht selten.

### Familie Lituolidae

Gattung *Haplophragmoides* CUSHMAN 1910

*Haplophragmoides concavus* (CHAPMAN 1892)

Tafel 1, Figur 64–71, 76–78

\*1892 *Trochammina concava* – CHAPMAN, Folkestone 2, S. 327, Taf. 6 Fig. 14.

1957 *Haplophragmoides concavus* (CHAPMAN) – BARTENSTEIN, BETTENSTAEDT & BOLLI, Trinidad 1, S. 16, Taf. 2 Fig. 36.

Material: C 24553/1–11.

Bemerkungen: Drei unterschiedliche Gehäuseformen liegen uns vor:

Fig. 64–67: Kleinere Gehäuse mit kieselig-amorphen Wandungen und häufig 5, jedoch auch 6–8, dann meist undeutlich zählbaren Kammern im letzten Umgang und mit einem deutlich eingesenkten Nabel. Selten sind bilateral-symmetrische, unverdrückte Stücke, häufig dagegen stark zerpresste Exemplare, auch mit «ingesunkenen» («*concavus*») Wandungen. Zusammenpressungsrichtung ganz verschieden, in Längs- und Querrichtung des Gehäuses. Diese zusammengedrückten, 5-kammerigen, kieselig-amorphen Gehäuse entsprechen der Abbildung von CHAPMAN.

Fig. 68–71: Kleinere Gehäuse mit feinkörnigen Wandungen, derselben Kammerzahl und tief eingesenktem Nabel. Gehäuse ähnlich stark in verschiedenen Ebenen zusammengedrückt, wobei unzerdrückte Stücke in der Minderzahl bleiben.

Fig. 76–78: Grosswüchsige, stets zusammengedrückte Gehäuse mit fein- bis mittel-, stellenweise grobkörnigen Wandungen, jedoch sonst denselben Merkmalen wie Fig. 68–71. Das Wandungsmaterial besteht hier wie bei Fig. 68–71 aus Mineralkörnern, kleinen Foraminiferen und Schwammnadeln.

Alle drei Gehäuseformen sind durch Übergänge miteinander verbunden und gehören offensichtlich zu derselben Art, deren Grössenwachstum und Baumaterial unter dem Einfluss wechselnder Umweltbedingungen variieren. Wegen der besonders häufigen und kennzeichnenden Zusammenpressung der Kammern entscheiden wir uns für CHAPMAN's Artnamen *concavus*. – In Trinidad häufig.

Gattung *Ammobaculites* CUSHMAN 1910*Ammobaculites goodlandensis* CUSHMAN & ALEXANDER 1930

Tafel 1, Figur 1-2

\*1930 *Ammobaculites goodlandensis* n. sp. – CUSHMAN & ALEXANDER, Low. Cret., S. 8, Taf. 2 Fig. 7-8.

Material: C 24537/1-2.

Bemerkungen: Von den uns vorliegenden, sehr grossen Gehäusen ist nur der gestreckte Teil erhalten. Die abgeflachten Bruchstücke können nicht *Reophax* (mit dickerem Querschnitt), sondern nur grosswüchsigen *Ammobaculites*-Formen zugeordnet werden, zumal sich der abgebrochene spirale Anfangsteil bei einem Gehäuse (Fig. 1) noch durch 2 nebeneinanderliegende Kammeransätze andeutet. Gehäuse zusammengedrückt, sehr kräftig und plump. Wandungen sehr grobkörnig, dadurch Kammerscheidewände schwer oder nicht erkennbar. Das Baumaterial besteht hauptsächlich aus Foraminiferen-Gehäusen.

Die von CUSHMAN & ALEXANDER (1930) beschriebenen Gehäuse haben eine Länge von maximal 1,20 mm, während die hier vorliegenden Bruchstücke (Fig. 1) schon 2,13 mm lang sind. Trotz dieser auffallenden Grössenunterschiede halten wir die Abtrennung einer neuen Art nicht für berechtigt. – In Trinidad selten.

*Ammobaculites subcretaceus* CUSHMAN & ALEXANDER 1930

Tafel 1, Figur 3-5

\*1930 *Ammobaculites subcretacea* n. sp. – CUSHMAN & ALEXANDER, Low. Cret., S. 6, Taf. 2 Fig. 9-10.

1957 *Ammobaculites subcretaceus* CUSHMAN & ALEXANDER – BARTENSTEIN, BETTENSTAEDT & BOLLI, Trinidad 1, S. 17, Taf. 2 Fig. 32-33.

Material: C 24538/1-3.

Bemerkungen: Auch die Gehäuse dieser Art sind ähnlich denen von *Ammobaculites goodlandensis* grosswüchsig, plattgedrückt und grobkörnig mit kaum erkennbaren Kammergrenzen. Oft liegen nur Bruchstücke ohne primordialen Windungsteil vor. Wichtigstes Baumaterial der groben Wandungen sind wiederum Foraminiferen-Gehäuse. – Während *Ammobaculites goodlandensis* aus der Maridale-Formation sehr breit und grob gebaut ist, hat *Ammobaculites subcretaceus* viel schmalere und zierlichere Gehäuse. – In Trinidad selten.

*Ammobaculites torosus* LOEBLICH & TAPPAN 1949

Tafel 1, Figur 17-22, 44-49

\*1949 *Ammobaculites torosus* n. sp. – LOEBLICH & TAPPAN, Walnut Form., S. 251, Taf. 46 Fig. 6-7.

Material: C 24541/1-12.

Bemerkungen: Nach dem Grössenwachstum können wir die Gruppen der Figuren 44-46 (kleinste Gehäuse), 47-49, 17-18, 19-20 und 21-22 (grösste Gehäuse) voneinander unterscheiden. Möglicherweise spiegeln diese Grössenunterschiede verschiedene Generationen, wahrscheinlicher aber wechselnde Ernährungsbedingungen wider. Das Baumaterial ist meist feinkörnig mit einzelnen gröberen Bröckchen. Die Spira ist stets klein, oft unvollständig (3 Kammern nebeneinander), die Nähte sind deutlich vertieft, die Mündung kreisrund oder länglich-schlitzförmig, bisweilen etwas vorgezogen. Manche Gehäuse sind unregelmässig gewachsen oder zusammengedrückt. – In Trinidad häufig.

Keine einzige aus der Unterkreide beschriebene *Ammobaculites*-Art stimmt mit den Trinidad-Formen in allen Merkmalen so weit überein, dass man ihren Namen mit Sicherheit in die Maridale-Formation übernehmen könnte. Zugleich variieren unsere abgebildeten Exemplare (besonders im Grössenwachstum) so stark, dass man versucht ist, diese Formengruppe zusätzlich in mehrere Arten aufzuspalten. Trotz dieser Bedenken entschlossen wir uns, die Gehäuse zunächst *Ammobaculites torosus* zuzurechnen. Hierfür sprechen die unvollständige Spira und das bei vielen Stücken zu beobachtende zunehmende Breitenwachstum der Kammern, das hier allerdings stärker ausgeprägt ist als in der Abbildung bei LOEBLICH & TAPPAN 1949 (Taf. 46 Fig. 7). Offenbar ist mit den Trinidad-Gehäusen die grössere Variationsbreite dieser Art erfasst. *A. torosus* haben LOEBLICH & TAPPAN aus der Walnut-Formation (Texas) aufgestellt, die zeitlich dem tieferen oder mittleren Alb der europäischen Gliederung entspricht (vgl. TAPPAN 1943, S. 477).

Weitere Ähnlichkeiten bestehen mit *Ammobaculites wallalensis* CRESPIN 1963 aus Australien (Formation unsicher: Oberjura oder Unterkreide), bei einzelnen Gehäusen auch mit *Ammobaculites reophacoides* BARTENSTEIN 1952 aus der NW-deutschen Unterkreide (Reichweite: Barrême bis Mittel-Alb). Eine spezifische oder sogar generische Zuordnung dieser variablen *Ammobaculites*-Formen wird ausserdem dadurch erschwert, dass die verwandten Gattungen *Ammobaculites*, *Haplophragmium* und *Lituola* oft die gleiche Gehäusegestalt, aber verschiedenen Wandungsbau oder umgekehrt besitzen (BARTENSTEIN 1952, S. 313–342, insbesondere S. 327–328).

### Familie Ammodiscidae

#### Gattung *Ammodiscus* REUSS 1861

#### *Ammodiscus gaultinus* BERTHELIN 1880

Tafel 1, Figur 29

\*1880 *Ammodiscus gaultinus* n. sp. – BERTHELIN, Montcley, S. 19, Taf. 1 Fig. 3.  
Material: C 24542.

Bemerkungen: Alle Kennzeichen stimmen mit der französischen Alb-Art überein, insbesondere die Unregelmässigkeit der ältesten Windungen oder das gelegentliche Auftreten von schwachen Einschnürungen. Die Wandungen sind kieselig-glasig und schwach durchscheinend. – In Trinidad selten.

#### Gattung *Glomospira* RZEHAk 1888

#### *Glomospira gordialis* (JONES & PARKER 1860)

Tafel 1, Figur 31–33

\*1860 *Trochammina squamata gordialis* – JONES & PARKER, Mediterr., S. 304.  
Material: C 24544/1–3.

Bemerkungen: Das Baumaterial auch dieser Gehäuse ist kieselig-amorph, glasig und schwach durchscheinend. Zweifellos besteht eine enge Verwandtschaft zu *Ammodiscus gaultinus*, der sich nur durch regelmässigeren Röhrenwindungen abhebt. – In Trinidad selten.

### Familie Textulariidae

#### Gattung *Textularia* DEFANCE 1824

#### *Textularia* ? sp.

Tafel 1, Figur 41–42

Material: C 24548/1–2.

Bemerkungen: Die beiden Gehäuse sind weder art- noch gattungsmässig genau einzureihen, zumal sie vielleicht auch einen spiralen Anfangsteil (*Spiroplectamina*) besitzen. – In Trinidad selten.

Gattung *Bigenerina* ORBIGNY 1826*Bigenerina* cf. *clavellata* LOEBLICH & TAPPAN 1946

Tafel 1, Figur 60–63

\*1946 *Bigenerina clavellata* n. sp. – LOEBLICH & TAPPAN, Washita, S. 245, Taf. 35 Fig. 7–8.  
Material: C 24552/1–4.

Bemerkungen: Obwohl die vorliegende Form mit der amerikanischen Art wahrscheinlich nicht identisch ist, soll bis zur Aufstellung einer neuen Art die Durchsicht weiteren Materials abgewartet werden. Die Maridale-Gehäuse unterscheiden sich durch ihre Grösse, Grobsandigkeit und ihren Umriss. – In Trinidad nicht selten.

## Familie Verneuilinidae

Gattung *Gaudryinella* PLUMMER 1931*Gaudryinella sherlocki* BETTENSTAEDT 1952

Tafel 1, Figur 38–40

\*1952 *Gaudryinella sherlocki* n. sp. – BETTENSTAEDT, Barrême, S. 268, Taf. 1 Fig. 1–5.  
Material: C 24547/1–3.

Bemerkungen: Die gedrungenen, breit-gerundeten Gehäuse haben die bei der NW-deutschen Art meist fehlenden uniserialen Endkammern deutlicher ausgebildet. Sonst sind keine bemerkenswerten Unterschiede festzustellen. Die Maridale-Exemplare sind sämtlich plattgedrückt.

Das Vorkommen von *Gaudryinella sherlocki* in Trinidad, das bei der ersten Bearbeitung (1957, S. 21) noch fraglich war, kann hiermit bestätigt werden. Die Art ist in der Maridale-Formation nicht selten und wird in NW-Deutschland im Barrême häufig und bis zum tiefen Mittel-Alb vereinzelt beobachtet.

Gattung *Gaudryina* ORBIGNY 1839*Gaudryina dividens* GRABERT 1959

Tafel 1, Figur 56–57

\*1959 *Gaudryina dividens* n. sp. – GRABERT, *Gaudryina* u. *Spiroplectinata*, S. 9, Taf. 1 Fig. 3–5;  
2 Fig. 16–30; 3 Fig. 53–59.  
Material: C 24550/1–2.

Bemerkungen: Fast alle Merkmale der tri- und biserial gebauten Gehäuse stimmen mit der Artdiagnose von GRABERT (1959, S. 9) überein. Im Trinidad-Material fehlen jedoch Varianten mit nur triserial angeordneten Kammern ebenso wie auch eine uniserial Endkammer nur bei einem Exemplar angedeutet ist. Auf das reduzierte triserial Anfangsstadium ( $\frac{1}{3}$  bis  $\frac{1}{4}$  der Gehäuselänge) folgt ein gut entwickelter, etwas flachgedrückter biserialer Gehäuseteil mit 8–10 alternierenden, meist niedrig-rechteckigen, an Breite deutlich zunehmenden Kammern. Die einzigen Unterschiede zu den NW-deutschen Gehäusen bilden eine schwache Eindellung in der Mittellinie des biserialen Gehäuseteils und sein mehr rechteckig-gerundeter (statt schmal-ovaler) Querschnitt. Diese geographisch bedingten Abweichungen erscheinen zu geringfügig, um eine neue Unterart auszuscheiden.

Auch GRABERT (1959, S. 10, 46) erwägt zwar eine subspezifische Abtrennung, bemerkt aber gleichzeitig, dass wesentliche Unterschiede zu der NW-deutschen Art kaum festzustellen sind<sup>6)</sup>. Im Hinblick auf die phylogenetische Umwandlung von *Gaudryina dividens*, die GRABERT (1959) eingehend untersucht hat, entsprechen die Maridale-Formen «hochentwickelten Varianten», wie sie in NW-Deutschland frühestens an der Grenze Apt/Alb auftreten (GRABERT S. 10). Ein progressives Entwicklungsstadium geht auch aus der Zusammensetzung der Maridale-Population hervor, in der ancestrale, nur triseriale Gehäuse völlig zu fehlen scheinen.

Die gestaltähnliche *Gaudryina alexanderi* CUSHMAN 1936 aus dem nordamerikanischen Alb (Duck Creek-Formation) unterscheidet sich von unserer Art durch die Ausbildung des biserialen Gehäuseteils mit seinem länglich-ovalen Querschnitt, seinen schärferen Seitenkanten und der geringeren Breite. Ferner zeigt *G. dividens* ihre schwache Eindellung des Biserialteils auf der Seite, auf der die 3. Kante des Triserialteils sichtbar ist, während der Biserialteil bei *G. alexanderi* gerade auf der entgegengesetzten Seite konkav ist. *Gaudryina subcretacea* CUSHMAN 1936 zeichnet sich dagegen durch einen stark abgeflachten Triserialteil aus.

Die im Boreal und in der Tethys verbreitete Art ist in Trinidad nicht selten. Sie existiert in NW-Deutschland vom Apt bis Unter-Alb (besonders häufig im Ober-Apt), in Österreich (Tirol) vom Ober-Apt bis tiefes Mittel-Alb und auch in Sizilien mit ähnlicher Reichweite.

### *Gaudryina reicheli* n. sp.

Tafel 1, Figur 34–37, 50–55

Namengebung: Zu Ehren von Prof. Dr. MANFRED REICHEL.

Holotypus: Gehäuse (Figur 54); Länge: 1,68 mm. – C 24545.

Parotypen: 9 Gehäuse (Figur 34–37, 50–53, 55), 7 Gehäuse (nicht abgebildet). – C 24546/1–9.

Locus typicus: Maridale Estate, südlich Mt. Harris, Eastern Central Range, Trinidad, W. I.  
Stratum typicum: Unter-Alb (Maridale-Formation, *Biglobigerinella barri*-Zone).

Diagnose: Eine Art der Gattung *Gaudryina* mit stark reduziertem triserialen Anfangsteil und sehr langgestrecktem biserialen Teil, der aus stark variierenden sehr niedrigen, oval-gerundeten bis fast kugelig-bauchigen Kammern aufgebaut ist. Nähte deutlich vertieft. Gehäuse meist biserial, vereinzelt uniserial endend.

Beschreibung: Gehäuse agglutiniert mit viel kalkigem Material und mit feinkörniger Wandung. Auf den triserialen Anfangsteil, der zwar deutlich ausgebildet, aber auf  $\frac{1}{5}$ – $\frac{1}{8}$  der Gehäuselänge reduziert ist, folgt ein langgestrecktes, wenig abgeflachtes biseriales Stadium mit 9–18 alternierenden, breiter als hohen Kammern. Die Kammerform wechselt stark zwischen den einzelnen Varianten und oft auch an demselben Gehäuse; sehr niedrige und breite Kammern variieren bis zu oval-gerundeten und bisweilen sogar, besonders bei den jüngeren Kammern, zu einer bauchigen, fast kugeligen Form. Deutlich vertiefte, schräg verlaufende Nähte haben die Seitenkanten meist stark eingekerbt. Bei einigen Varianten folgen auf den biserialen Gehäuseteil 1–2 uniserial angeordnete, stets rundlich-bauchige, oft unregelmässig aufsitzende Endkammern mit stark eingeschnürten, annähernd horizontalen Nähten. Mündung fast rund, eingesenkt, terminal oder leicht verschoben in einer kleinen Kerbe.

Bemerkungen: Auch bei dieser Art wechselt die individuelle Gehäusegestalt infolge genetisch bedingter Variabilität oder unter dem Einfluss schwankender Umweltverhältnisse. Kleinere schlanke Varianten (Fig. 34–37) haben ein feinkörniges Material agglutiniert, das der Schalenoberfläche bisweilen ein mattglänzendes Aussehen verleiht, während die grosswüchsigen und meist auch breiteren Gehäuse

<sup>6)</sup> Frau Dr. B. LUTZE-GRABERT haben Gehäuse von *Gaudryina dividens* aus der Maridale-Formation zur Untersuchung vorgelegen (Typlokalität Maridale Estate und Co-Typlokalität Railway Viaduct).

(Fig. 50–55) mit etwas größerem Baumaterial eine rauhere Oberfläche aufweisen. Dass die klein- und grosswüchsigen Formen zu einer Art gehören, geht aus einer Variationskurve der biserialen Kammern hervor; nur wenn alle Gehäuse berücksichtigt werden, ergibt sich eine annähernd vollständige Kurve mit einem Häufigkeitsmaximum bei 12–13 Biserialkammern. Die Gehäuse sind meist regelmässig gewachsen, die grösseren Stücke aber nicht selten schwach gebogen oder in der Längsachse bis 60° gedreht.

Trotz dieser Variabilität bildet das ausgeprägte biseriale Stadium das allen Varianten gemeinsame Artmerkmal. Nur seltene progressive Extremvarianten von *Gaudryina dividens* GRABERT (1959, Taf. 2 Fig. 27) und *Gaudryina compacta* GRABERT (1959, Taf. 3 Fig. 52) erreichen im borealen und mediterranen Europa eine fast gleich hohe Anzahl biserialer Kammern. Solche Formen können dann in ihrer Kammeranordnung und ungefähr auch in ihrer Gehäusegestalt *Spiroplectinata complanata* (REUSS 1860) ähneln, wenn auch die langgestreckten *Gaudryina*-Varianten meist schlanker (nicht lanzettförmig) sind. Vor allem aber ist ihr biserialer Gehäuseteil nur mässig abgeflacht statt «blattförmig zusammengedrückt» (Artdiagnose von REUSS 1860, S. 231 für *Proporus complanatus*). Da unserer Art diese Abplattung – ein charakteristisches Gattungsmerkmal für *Spiroplectinata* (vgl. GRABERT 1959, S. 55) – fehlt, ist sie der Gattung *Gaudryina* zuzuordnen. Aber durch ihre «*Spiroplectinata*-Ähnlichkeit», d. h. durch ihr für *Gaudryina* ungewöhnliches Verhältnis von triserialen zu biserialen Kammern sowie durch ihre wechselnde Kammerform hebt sich *Gaudryina reicheli* von allen anderen *Gaudryina*-Arten deutlich ab. Die hochentwickelten Extremvarianten von *G. dividens* in NW-Deutschland lassen sich von *G. reicheli* durch ihre gleichmässigeren Kammerform, die von *G. compacta* in Österreich durch ihre meist nur schwach eingekerbten Seitenkanten trennen.

Vergleicht man die Trinidad-Gehäuse von *G. dividens* und *G. reicheli*, so fällt auf, dass sich einzelne Varianten der beiden Arten – von der biserialen Kammerzahl abgesehen – sehr ähneln. Sie weisen dieselben breiten, niedrigen und rechteckig-gerundeten Biserialkammern und manchmal eine ähnliche Eindellung in der Mittellinie des Biserialteils auf. Allerdings sind die meisten Varianten von *G. reicheli* ovalkammerig und schlanker. Immerhin finden wir die gleichen subtilen Merkmale im Genbestand beider Arten fixiert. Berücksichtigen wir ferner, dass die phylogenetische Entwicklung von *Gaudryina dividens* in NW-Deutschland in Richtung einer kontinuierlichen Zunahme der Biserialkammern verläuft, ist mit grösster Wahrscheinlichkeit anzunehmen, dass sich *G. reicheli* von *G. dividens* abgespalten und sich unter Steigerung ihrer biserialen Kammerzahl zu einer eigenen, selbständigen Art weiterentwickelt hat. In ganz analoger Weise ist nach der variationsstatistischen Bearbeitung von GRABERT (1959) auch die Gattung *Spiroplectinata* entstanden. Damit scheint aus der weitverbreiteten Ursprungsart *Gaudryina dividens* in NW-Deutschland die Gattung *Spiroplectinata* und in Trinidad *Gaudryina reicheli* hervorgegangen zu sein. *Gaudryina reicheli* bildet daher ein instruktives paläontologisches Beispiel für geographische Artbildung (RENSCH 1954) und für die entscheidende Bedeutung, die dem Evolutionsfaktor Isolation bei dem Modus der Artspaltung zukommt (vgl. LUDWIG 1954 in BETTENSTÄEDT 1962, S. 449).

Die neue Art hat zwar die gleiche Kammeranordnung wie *Spiroplectinata* erworben, aber nicht deren Abplattung des biserialen Gehäuseteils. Jedoch hat sie ausserdem mit ihren teilweise sehr niedrigen Kammern ein weiteres Merkmal mit *Spiroplectinata* gemeinsam. Die andererseits bauchigen bis fast kugeligen Biserialkammern von *G. reicheli* sind bei keiner borealen *Spiroplectinata* zu finden, dagegen bei einer noch nicht näher beschriebenen Art, die SIGAL (1952, S. 20) als *Spiroplectinata annectens* (PARKER & JONES) aus Algerien erwähnt. Nach GRABERT (1959, S. 47) hat auch die algerische Form einen wenig abgeplatteten Biserialteil mit bauchigen Kammern, besitzt daneben aber andere Kennzeichen, die sie *Spiroplectinata* zuordnen. Damit vereinigen die *Spiroplectinata*-Art in Algerien und *Gaudryina reicheli* in Trinidad in ihrer Morphologie mosaikartig *Gaudryina*- und *Spiroplectinata*-Merkmale, was den von GRABERT nachgewiesenen unmittelbaren genetischen Zusammenhang zwischen diesen beiden Gattungen erneut bestätigt.

Vorkommen: Bisher nur in der Maridale-Formation aufgefunden, dort jedoch häufig auftretend. Der phylogenetische Zusammenhang zwischen *Gaudryina dividens* und *Gaudryina reicheli* wird im stratigraphischen Teil noch einmal diskutiert, um zu einer genaueren Datierung der Maridale-Formation zu gelangen.

Familie **Valvulinidae**Gattung *Marssonella* CUSHMAN 1933*Marssonella oxycona* (REUSS 1860)

Tafel 1, Figur 58–59

\*1860 *Gaudryina oxycona* m. – REUSS, Westph. Kreide, S. 229, Taf. 12 Fig. 3.

Material: C 24551/1–2.

Bemerkungen: Die fein- bis gröbersandigen Gehäuse zeigen meist deutlich vertiefte breite Nähte, ihr Querschnitt ist eher ein wenig länglich-oval als kreisrund.

*Textularia rioensis* CARSEY 1926 dürfte mit *Marssonella oxycona* sehr nahverwandt oder sogar identisch sein, zumal manche Gehäuse von *Marssonella* ein nur biseriales Anfangsstadium wie *Textularia* besitzen (vgl. ZEDLER 1961, S. 31). Die aus der Cucho- und Toco-Formation (1957, S. 20) beschriebene *Marssonella* cf. *oxycona* wurde später von ZEDLER (1961, S. 31) als *Marssonella kummi* n. sp. beschrieben, deren Verbreitung von Malm bis Barrême reicht. Dagegen hat *Marssonella oxycona* nach REUSS 1860 eine Reichweite vom Alb bis in die höhere Oberkreide (Ober-Campan). Auch MOROSOWA (1948) und NEAGU (1965) beschreiben *M. oxycona* in Russland (Kaukasus) und Rumänien aus dem Alb und höher. – In Trinidad selten.

*Marssonella subtrochus* BARTENSTEIN 1962

Tafel 1, Figur 79–82

1957 *Marssonella* cf. *trochus* (ORBIGNY) – BARTENSTEIN, BETTENSTAEDT & BOLLI, Trinidad 1, S. 20, Taf. 3 Fig. 44–45.\*1962 *Marssonella subtrochus* n. sp. – BARTENSTEIN, Apt-Nomenklator, S. 137, Taf. 15 Fig. 3–5. Material: C 24555/1–4.

Bemerkungen: In der breit-kegelförmigen Gehäusegestalt und der grossen tellerförmigen Mundfläche ist kein Unterschied zu den europäischen Unterkreide-Formen festzustellen. – In der Maridale-Formation selten; schon in der Cucho-Formation (Mittel-Barrême) einsetzend. In NW-Deutschland vom Mittel-Barrême bis zum Unter-Turon verbreitet, jedoch im Alb häufiger vorkommend.

Gattung *Dorothia* PLUMMER 1931*Dorothia filiformis* (BERTHELIN 1880)

Tafel 1, Figur 43

\*1880 *Gaudryina filiformis* n. sp. – BERTHELIN, Montcley, S. 25, Taf. 1 Fig. 8.

Material: C 24549.

Bemerkungen: Es liegt zwar nur 1 Exemplar vor, dessen jüngster Gehäuseteil zudem verdrückt ist. Nach der tri- und biserialen Kammeranordnung und der sehr schlanken Wuchsform dürfte es sich aber um *Dorothia filiformis* handeln. Die Art ist nahverwandt mit der gleichgestalteten *Verneuilinoidea subfiliformis* BARTENSTEIN (1952, S. 308–310). – In Trinidad selten. Die Hauptverbreitung dieser Art liegt im Alb, jedoch ist sie nach SIGAL (1963) schon im südfranzösischen Ober-Hauterive und Barrême vorhanden.

*Dorothia* cf. *conula* (REUSS 1845)

Tafel 1, Figur 83–93

\*1845 *Textularia conulus* – REUSS, Böhm. Kreide 1, S. 38, Taf. 8 Fig. 59; 13 Fig. 75.1937 *Dorothia conula* (REUSS) – CUSHMAN, Valvulinidae, S. 76, Taf. 8 Fig. 11–17.

Material: C 24556/1–11.

Bemerkungen: Die im Anfang polyserialen und am Ende biserialen Gehäuse sind kalkig-agglutiniert mit feinkörniger Wandung, besitzen deutlich vertiefte Nähte und eine wohl schlitzförmige, stets durch Verkrustung unkenntliche Mündung am Grunde der Endkammer.

Neben den im Querschnitt breit-ovalen *Dorothia*-Formen (Fig. 83–88) kommen ebenso häufig auch Gehäuse vor, die im Querschnitt kreisrund sind mit sehr grosser und breiter, oft schiefwinkelig an die Gehäuseachse anschliessender Mundfläche (Fig. 89–93). Bei diesen sehr gedrungenen Exemplaren können die beiden überlappenden Endkammern  $\frac{1}{3}$  bis  $\frac{1}{2}$  des gesamten Gehäuses einnehmen, während der ältere Gehäuseteil abrupt abgesetzt und nur ganz kurz ausgebildet ist. Wir nehmen an, dass es sich um dieselbe Art handelt, nur um unregelmässiger gewachsene, vielleicht auch extrem verdrückte Gehäuse. Bei solchen «Grenzformen» innerhalb der Familie Valvulinidae ist es kaum möglich, die wirkliche Gattungszugehörigkeit (*Dorothia* oder *Marssonella*) zu entscheiden, zumal derartige morphologische Unterschiede auch auf einem Generationswechsel beruhen können (kurze megalosphärische und längere mikrosphärische Gehäuse). – In Trinidad nicht selten.

Gattung *Valvulina* ORBIGNY 1826

*Valvulina fusca* (WILLIAMSON 1858)

Tafel 1, Figur 72–75

1951 *Valvulina fusca* (WILLIAMSON) – BARTENSTEIN & BRAND, Valendis, S. 277, Taf. 4 Fig. 79. Material: C 24554/1–4.

Bemerkungen: Gegenüber den europäischen Unterkreide-Formen ist als einziger Unterschied nur festzustellen, dass die 4–5 Windungen der spiralen Oberseite zwischen den Kammern teils leistenförmig verdickt sind, teils winzige Knötchen tragen. Solche Skulpturandeutungen haben als gelegentliche Schalenverstärkungen in lokalen Biotopen wohl kaum taxionomische Bedeutung. – In Trinidad selten.

### 3b. Gruppe der kalkschaligen Foraminiferen

Familie **Lagenidae**

Gattung *Lenticulina* LAMARCK 1804

Auch für die *Lenticulina*-Arten der Maridale-Formation gilt bezüglich ihrer Variationsbreite das bereits in Trinidad, Teil 1, S. 22 Gesagte. Die unterschiedenen Untergattungen werden wie folgt abgekürzt: (*L.*) = *Lenticulina*; (*A.*) = *Astacolus*; (*V.*) = *Vaginulinopsis*; (*M.*) = *Marginulinopsis*; (*S.*) = *Saracenaria*.

*Lenticulina* (*L.*) cf. *schreiteri* (EICHENBERG 1935)

Tafel 2, Figur 94

1962 *Lenticulina schreiteri* (EICHENBERG) – BARTENSTEIN & BETTENSTAEDT, Marine Unterkreide, S. 255, Taf. 36 Fig. 13–14. Material: C 24557.

Bemerkungen: Die Gitterberippung ist bei dem vorliegenden Einzelgehäuse nur bei den älteren Kammern vorhanden und dort unregelmässig ausgebildet (vgl. Bemerkungen bei *Lenticulina guttata*). Die übrigen Merkmale, insbesondere die Gehäusegestalt, entsprechen der europäischen Art, die bisher nur aus dem Mittel-Valendis bis tiefem Mittel-Barrême bekannt ist. – In Trinidad selten.

*Lenticulina (L.) saxocretacea* BARTENSTEIN 1954

Tafel 2, Figur 95–99

1863 *Cristellaria subalata* m. – REUSS, Hils u. Gault, S. 76, Taf. 8 Fig. 10; 9 Fig. 1.\*1954 *Lenticulina saxocretacea* nom. nov. – BARTENSTEIN, Revision BERTHELIN, S. 45–46.?1963 *Lenticulina (L.) deilmanni* n. sp. – KEMPER, Unterkreide, S. 481, Taf. 34 Fig. 2–5.

Material: C 24558/1–5.

Bemerkungen: Wahrscheinlich ist unsere Art mit *Lenticulina* cf. *ouachensis* aus dem Barrême von Trinidad (1957, S. 27, Taf. 3 Fig. 52; 4 Fig. 77) verwandt. Auch mit *Lenticulina ouachensis* (SIGAL 1952) haben einige Maridale-Varianten ausser der Rippenskulptur und Gehäuseform eine noch schwach ausgeprägte, einfache oder unterteilte Nabelgrube gemeinsam. Schliesslich ist *Lenticulina (L.) deilmanni* KEMPER 1963, eine für das untere Unter-Apt des Emslandes (NW-Deutschland) lokale Leitform, mit unserer Art sehr nahe verwandt.

*L. saxocretacea* ist in Trinidad nicht selten und tritt in NW-Deutschland in der gesamten Unterkreide auf. Sie wurde auch in den Drusberg-Schichten des nordalpinen Helvetikum (Allgäu) beobachtet und zuletzt von NEAGU 1965 (S. 11, Taf. 3 Fig. 5–6) aus dem rumänischen Alb beschrieben.

*Lenticulina (L.) guttata* (DAM 1946)

Tafel 2, Figur 100–101

1957 *Lenticulina guttata* (DAM) – BARTENSTEIN, BETTENSTAEDT & BOLLI, Trinidad 1, S. 27, Taf. 5 Fig. 98.1962 *Lenticulina guttata* (DAM) – BARTENSTEIN & BETTENSTAEDT, Marine Unterkreide, S. 261, Taf. 36 Fig. 4; 41 Fig. 1.

Material: C 24559/1–2.

Bemerkungen: Die Maridale-Gehäuse haben dieselbe evolutive *Lenticulina*-Gestalt, denselben vertieften Nabel und ausgefranzten Kielsaum wie die europäischen Formen, jedoch sind die in Knotenreihen aufgelösten Nähte weniger deutlich und auch zusätzliche Knötchen nur sehr selten zu erkennen.

Die schon in der Toco-Formation vorkommende Art ist im borealen und mediterranen Mitteleuropa vom Ober-Valendis bis Mittel-Barrême verbreitet. Offenbar liegen hier – ebenso wie bei *Lenticulina schreiteri* – seltene Funde von Nachläufern vor, bei denen die kennzeichnende Skulptur nur noch schwach ausgeprägt ist.

*Lenticulina (L.) acuta* (REUSS 1860)

Tafel 2, Figur 102–106

\*1860 *Cristellaria acuta* m. – REUSS, Westph. Kreide, S. 213, Taf. 10 Fig. 3.1863 *Cristellaria acuta* REUSS – REUSS, Hils u. Gault, S. 75.1863 *Cristellaria nuda* REUSS – REUSS, Hils u. Gault, S. 72, Taf. 8 Fig. 2.

Material: C 24560/1–5.

Bemerkungen: Gehäusenähte nur durchscheinend, meist nicht erkennbar, bei den jüngsten Kammern bisweilen leicht vertieft. Rücken scharfkantig (selten mit sehr schwachem Kielsaum), Nabel nicht hervortretend.

Eine Unterscheidung der Arten *acuta* und *nuda* ist weder nach REUSS noch nach späteren Autoren (siehe u. a. FRANKE 1928, S. 106) einwandfrei möglich. Auch wegen ihres gemeinsamen Auftretens, insbesondere in der höheren Unterkreide (Alb) und tieferen Oberkreide, dürfte es sich um dieselbe Art handeln. – In Trinidad nicht selten.

*Lenticulina (L.) cf. acuta* (REUSS 1860)

Tafel 2, Figur 134–135

Material: C 24568/1–2.

Bemerkungen: Die beiden vorliegenden kräftig und evolut gewachsenen Gehäuse mit scharfkantigem Rücken und wenig ausgeprägtem Nabel (keine Nabelscheibe) stellen wir vorerst als cf. zu *Lenticulina acuta*, solange weiteres Vergleichsmaterial fehlt.

Dem Problem der grossen Variationsbreite vieler *Lenticulina* glaubte FRANKE 1928 (S. 106) dadurch am besten Rechnung zu tragen, dass er *Lenticulina acuta* zu *Lenticulina gibba* (ORBIGNY 1826) einbezog und bei letzterer Art mehrere Unterarten ausschied. Wir möchten aber zunächst daran festhalten, dass beide Arten nicht miteinander identisch sind.

*Lenticulina (L.) pulchella* (REUSS 1863)

Tafel 2, Figur 107–110

\*1863 *Cristellaria pulchella* m. – REUSS, Hils u. Gault, S. 71, Taf. 8 Fig. 1.

Material: C 24561/1–4.

Bemerkungen: Die Gehäuse aus der Maridale-Formation haben wie die NW-deutschen Formen eine deutlich gestrahlte Mündung, während die von NEAGU 1965 (S. 12, Taf. 4 Fig. 3–6) aus dem rumänischen Alb beschriebene *Lenticulina pulchella* eine *Robulus*-Mündung besitzt. – In Trinidad und in der höheren Unterkreide NW-Deutschlands selten.

*Lenticulina (L.) strombecki* (REUSS 1863)

Tafel 2, Figur 111–114

\*1863 *Cristellaria strombecki* m. – REUSS, Hils u. Gault, S. 68, Taf. 7 Fig. 7.

Material: C 24562/1–4.

Bemerkungen: Es handelt sich um eine recht plattgedrückte, gestreckte Form (nach REUSS' Querschnitt-Zeichnung in Fig. 7 b mit parallelen Seitenflächen: *Planularia*-Gehäuse), deren Rücken jedoch zu einem Kiel zugespitzt und deutlich schmaler als die Bauchseite ist. NEAGU's Form aus dem rumänischen Alb (1965, S. 17, Taf. 4 Fig. 31–32) ähnelt unseren Gehäusen. – In Trinidad selten.

*Lenticulina (L.) turgidula* (REUSS 1863)

Tafel 2, Figur 115–119

\*1863 *Cristellaria turgidula* m. – REUSS, Hils u. Gault, S. 73, Taf. 8 Fig. 4.1880 *Cristellaria ingenua* n. sp. – BERTHELIN, Montcley, S. 54, Taf. 3 Fig. 20–21.1896 *Cristellaria turgidula* REUSS – CHAPMAN, Folkestone 8, S. 1, Taf. 1 Fig. 1.

Material: C 24563/1–5.

Bemerkungen: Die zum Teil grosswüchsige, 6- bis 9-kammerige *Lenticulina* mit eingesenkten Nähten stimmt mit der nordeuropäischen Art überein (REUSS gibt 6, BERTHELIN und CHAPMAN geben 7–9 Kammern an). – In Trinidad nicht selten, im europäischen Apt und Alb selten.

*Lenticulina (L.) subgaultina* BARTENSTEIN 1962

Tafel 2, Figur 128–129

1962 *Lenticulina (L.) cf. gaultina* (BERTHELIN) – BARTENSTEIN & BETTENSTAEDT, Marine Unterkreide, S. 284, Taf. 36 Fig. 16.\*1962 *Lenticulina (L.) subgaultina* n. sp. – BARTENSTEIN, Apt-Nomenklator, S. 136, Taf. 15 Fig. 1–2

Material: C 24566/1–2.

Bemerkungen: Das wichtigste Artmerkmal, die evolutive Entrollung der grosswüchsigen und hochmündigen Gehäuse (*Astacolus*-Stadium) kann in der Maridale-Formation noch ausgeprägter sein als in NW-Deutschland. – In Trinidad selten. In NW-Deutschland vom Apt bis tiefes Mittel-Alb verbreitet, im Ober-Apt häufig. Auch in nordalpinen Sedimenten vereinzelt gefunden.

*Lenticulina* (A.) sp. (n. sp.)

Tafel 2, Figur 120–124

Material: C 24564/1–5.

Beschreibung und Bemerkungen: Gehäuse evolut wachsend mit 7–10 Kammern in der letzten Windung. Nähte gebogen und stark eingekerbt, Nabel wenig ausgeprägt, meist mit den eingesenkten Nahtfurchen der evoluten Kammern vereint, jedoch bei einigen Exemplaren eine schwache sekundäre Kallusbildung zeigend. Kammern gewölbt, Bauchseite des evoluten Gehäuseteils breit-gerundet, Rücken zugespitzt, meist mit schwachem Kielsaum. Die gestrahlte Mündung sitzt auf einem kleinen deutlichen Höcker.

Die Art ähnelt – von dem evoluten Wachstum abgesehen – *Lenticulina sulcifera* (REUSS 1863, S. 75, Taf. 8 Fig. 8) aus dem Alb, die allerdings keinen Kielsaum besitzen soll, und *Lenticulina oligostegia* (REUSS 1860, S. 213, Taf. 8 Fig. 8) aus der Oberkreide, die im Querschnitt geblähter ist. – In Trinidad nicht selten.

*Lenticulina* (A.) *grata* (REUSS 1863)

Tafel 2, Figur 130–133

\*1863 *Cristellaria grata* m. – REUSS, Hils u. Gault, S. 70, Taf. 7 Fig. 14.

1965 *Lenticulina* (A.) *grata* (REUSS) – NEAGU, Albian, S. 17, Taf. 4 Fig. 34–35.

Material: C 24567/1–4.

Bemerkungen: Die von REUSS aus dem Unter-Alb beschriebene Art steht in ihrer Gehäusegestalt zwischen *Astacolus* und *Saracenaria*, da ihr Querschnitt infolge der breiten Bauchseite bereits schmal- oder schon etwas breit-dreieckig ausgebildet ist. *Lenticulina grata* hat einen stets gebogenen Rücken, eine recht deutliche Spira und eine weit heruntergezogene Mundfläche. Die Art dürfte mit *Lenticulina scitula* (BERTHELIN 1880) verwandt sein (siehe dortige Bemerkungen). – In der Maridale-Formation nicht selten. Die Art tritt schon in der Cuche-Formation auf (in Trinidad, 1. Teil, S. 30–31 noch als *L. cf. grata* ausgeschieden).

*Lenticulina* (A.) *planuscula* (REUSS 1863)

Tafel 2, Figur 142–146

\*1863 *Cristellaria planuscula* m. – REUSS, Hils u. Gault, S. 71, Taf. 7 Fig. 15.

Material: C 24571/1–5.

Bemerkungen: Diese von REUSS aus dem Ober-Apt aufgestellte Art wurde in der höheren Unterkreide Nordeuropas wiederholt beschrieben, u. a. von BERTHELIN 1880 (S. 53) und CHAPMAN 1894 (S. 648 und 654). Auf S. 648 bezeichnet CHAPMAN die Art als *Cristellaria crepidula*, die jedoch nach Gehäusebau und Vorkommen wohl mit *L. planuscula* identisch ist. *Lenticulina crepidula* (FICHTEL & MOLL 1803) dürfte wesentlich stärker plattgedrückt sein und eine *Planularia* darstellen. – In Trinidad nicht selten.

*Lenticulina (A.) scitula* (BERTHELIN 1880)

Tafel 2, Figur 147–150

\*1880 *Cristellaria scitula* n. sp. – BERTHELIN, Montcley, S. 54, Taf. 3 Fig. 3.1962 *Lenticulina (A.)* cf. *schloenbachi* (REUSS) – BARTENSTEIN & BETTENSTAEDT, Marine Unterkreide, S. 285, Taf. 37 Fig. 9; 39 Fig. 7.

Material: C 24572/1–4.

Bemerkungen: Die Art steht mit ihrer Gehäusegestalt an der Grenze zwischen *Astacolus* und *Saracenaria*, denn bei bereits recht breiter Bauchseite ist der Querschnitt schmal-dreieckig. Wenn auch die Zuordnung zu *L. scitula* nicht ganz gesichert ist, steht doch so viel fest, dass die von BARTENSTEIN & BETTENSTAEDT 1962 beschriebene *Lenticulina (A.)* cf. *schloenbachi* mit der Trinidad-Art identisch ist.

Von der verwandten *Lenticulina grata* (REUSS 1863) unterscheidet sich unsere Art durch ihren etwas schmaleren Querschnitt, ihren weniger stark gebogenen Rücken und eine nur schwach angedeutete Spira, doch sind diese Unterschiede bei manchen Einzelstücken so gering, dass sie dann artlich schwer zu trennen sind. – In Trinidad nicht selten. In NW-Deutschland (und auch im nordalpinen Helvetikum) im Barrême selten, im Ober-Apt häufig, im Unter- und Mittel-Alb vereinzelt.

*Lenticulina (A.) calliopsis* (REUSS 1863)

Tafel 2, Figur 151–154, 169–173

\*1863 *Marginulina calliopsis* m. – REUSS, Hils u. Gault, S. 60, Taf. 5 Fig. 16.1951 *Lenticulina (A.) calliopsis* (REUSS) – BARTENSTEIN & BRAND, Valendis, S. 286, Taf. 5 Fig. 120–122.

Material: C 25473/1–9.

Bemerkungen: Wie viele *Lenticulina*-Arten ist auch die – in Trinidad nicht seltene – *Lenticulina calliopsis* sehr variabel gestaltet. Insbesondere kann man zwei durch Übergänge miteinander verbundene Variantengruppen unterscheiden:

1. Etwas kürzer gebaute, *Astacolus*-artige und im Querschnitt flachere Gehäuse mit deutlich gebogenem Rücken, ferner mit meist glatten Wänden und schwachen Nahteinschnürungen nur unterhalb der Endkammer oder der beiden letzten Kammern (Fig. 151–154),

2. langgestreckte, oft recht gerade Gehäuse mit *Marginulinopsis*- oder *Marginulina*-Gestalt, d. h. mit mehr gerundetem Querschnitt, ferner mit schwachen bis deutlich vertieften Nähten bei der Mehrzahl der Kammern (Fig. 169–173).

*Lenticulina (V.) excentrica* (CORNUEL 1848)

Tafel 2, Figur 136–138

\*1848 *Cristellaria excentrica* – CORNUEL, Crétacé inf., S. 254, Taf. 2 Fig. 11–13.1957 *Lenticulina (V.) prima* (ORBIGNY) – BARTENSTEIN, BETTENSTAEDT & BOLLI, Trinidad 1, S. 31, Taf. 3 Fig. 59; 4 Fig. 89–90.

Material: C 24569/1–3.

Bemerkungen: Die vorliegenden Gehäuse sind zwar grösser gewachsen als die der Cuche-Formation, entsprechen ihnen aber sonst im gesamten Gehäusebau. Da *Lenticulina excentrica* von CORNUEL ein Jahr früher aufgestellt wurde als *Lenticulina prima* durch ORBIGNY 1849, dürfte der erstere Name für unsere Art valid sein. Übergangsformen zwischen *Astacolus* und *Vaginulinopsis* sind bei dieser variablen Art häufig, weshalb *Lenticulina (A.) voluta* (CORNUEL 1848) ebenfalls zu *L. excentrica* gehören dürfte. Weitere Übergänge (vgl. Trinidad, 1. Teil, S. 31) bestehen zu *Lenticulina (V.) matutina* (ORBIGNY 1849). – *L. excentrica* kommt in der Maridale-Formation selten vor.

*Lenticulina* (V.) *harpa* (REUSS 1860)

Tafel 2, Figur 139–141

\*1860 *Cristellaria harpa* m. – REUSS, Westph. Kreide, S. 211, Taf. 10 Fig. 1–2.1957 *Planularia harpa* (REUSS) – POZARYSKA, Lagenidae, S. 101, Taf. 11 Fig. 7.

Material: C 24570/1–3.

Bemerkungen: Die Maridale-Gehäuse unterscheiden sich kaum von der bisher nur aus der Oberkreide (Ober-Turon bis Maastricht) beschriebenen Art (u. a. bei FRANKE 1928, S. 100, Taf. 9 Fig. 13). In den meisten Merkmalen gleichen sie auch der als *Lenticulina* (A.) cf. *varians recta* (FRANKE) bei BARTENSTEIN & BRAND 1951 (S. 286, Taf. 5 Fig. 123) aus dem NW-deutschen Ober-Valendis abgebildeten Form. Starke Zusammendrückung der breiten Gehäuse, kleine meist zum Vorderrand verschobene Spira, *Vaginulinopsis*-artiger gestreckter Teil mit teilweise tief herabgezogener Endkammer und gestrahlter Mündung sind die Hauptkennzeichen. – In Trinidad selten.

*Lenticulina* (V.) *incurvata* (REUSS 1863)

Tafel 2, Figur 164–168

1957 *Lenticulina* (A.) *incurvata* (REUSS) – BARTENSTEIN, BETTENSTAEDT & BOLLI, Trinidad 1, S. 30, Taf. 3 Fig. 57; 4 Fig. 86.

Material: C 24576/1–5.

Bemerkungen: Die nicht seltenen Maridale-Formen sind wesentlich grösser als die Gehäuse aus dem Mittel-Barrême von Station Road (Trinidad 1), doch dürften solche Abweichungen eher auf verschiedenen guten Lebensbedingungen beruhen als Art-Unterschiede darstellen. Auch andere Maridale-Foraminiferen (siehe *Lenticulina excentrica*), insbesondere aber die Sandschaler, weisen ein stärkeres Grössenwachstum auf als die Barrême-Formen in Trinidad.

Die Gehäuse besitzen eine recht deutliche *Vaginulina*-Bauform und nur selten eine sehr schwach spirale Einrollung, eher eine schräge Anlagerung weniger Kammern im ältesten Gehäuseteil.

*Lenticulina* (M.) *lituola* (REUSS 1846)

Tafel 2, Figur 125–127

\*1846 *Cristellaria lituola* – REUSS, Böhm. Kreide 2, S. 109, Taf. 24 Fig. 47.1965 *Lenticulina* (V.) cf. *lituola* (CORNUEL) – NEAGU, Albian, S. 16, Taf. 4 Fig. 14–15.

Material: C 24565/1–3.

Bemerkungen: Diese nach FRANKE (1928, S. 98) vom Apt bis Unter-Turon verbreitete Art ist recht vielgestaltig, wenn man die verschiedenen Abbildungen, u. a. auch bei CHAPMAN 1894, NOTH 1951, miteinander vergleicht. Sie nimmt eine Zwischenstellung ein zwischen *Marginulinopsis* (vor allem im Endstadium) und *Vaginulinopsis* (besonders im ausgeprägten Spiralteil), hat im älteren Gehäuseteil meist einen zugescharften Kiel, auch bisweilen einen Kielsaum, im jüngeren Teil oft einen runden Rücken und eine aufgeblähte Endkammer. – In Trinidad nicht selten.

*Lenticulina* (M.) *cephalotes* (REUSS 1863)

Tafel 2, Figur 178–182

\*1863 *Cristellaria cephalotes* m. – REUSS, Hils u. Gault, S. 67, Taf. 7 Fig. 4–6.

Material: C 24578/1–5.

Bemerkungen: Die in ihrer dick-gedrungenen *Marginulinopsis*-Gestalt so überaus kennzeichnende Art wurde von REUSS aus dem Alb, von späteren Autoren (CHAPMAN 1894, SHERLOCK 1914, EICHENBERG 1933, DAM 1950, POZARYSKA 1957) aus dem Bereich Barrême bis Unter-Turon beschrieben, jedoch scheinen nur die Alb-Formen der REUSS'schen Art am nächsten zu kommen. – In Trinidad nicht selten.

*Lenticulina (S.) spinosa* (EICHENBERG 1935)

Tafel 3, Figur 238–242, 256–259

1962 *Lenticulina (S.) spinosa* (EICHENBERG) – BARTENSTEIN & BETTENSTAEDT, Marine Unterkreide, S. 284, Taf. 39 Fig. 6.

1962 *Saracenaria spinosa* EICHENBERG – FLANDRIN, MOULLADE & PORTHAULT, Vocontien, S. 218, Taf. 2 Fig. 15.

Material: C 24594/1–9.

Bemerkungen: Die Gehäuse besitzen die der Artdiagnose entsprechenden, zu Stacheln ausgezogenen Kammerecken am Bauchrand. Auch wenn die Stacheln (wie bei einigen Gehäusen) nicht deutlich ausgeprägt sind, bestätigen alle übrigen Merkmale (Gehäusegestalt, gebogener scharfkieliger Rücken und vorgezogene Spira) die Zuordnung zu der Art. Die Variationsbreite der Maridale-Exemplare umfasst – ebenso wie in Europa – gedrungene breit-dreieckige bis langgestreckte Formen trotz etwa gleicher Kammerzähl (11–14, selten bis 16; davon 6–8 Kammern im gestreckten Teil).

Die in Trinidad häufige Art bildet eine seit langem bewährte Leitform für Apt bis tiefstes Unter-Alb. Sie wurde bisher im borealen NW-Deutschland regelmässig im Ober-Apt, in Frankreich ziemlich häufig im Gargasien, in den mediterranen Sedimenten der nördlichen Alpen (Bayern, Österreich) vereinzelt und nach DRUSCHIZA & KUDRJAZEWA (1960) auch auf der Krim gefunden.

Gattung *Marginulina* ORBIGNY 1826

*Marginulina linearis* REUSS 1863

Tafel 2, Figur 160–163; 3, Figur 210

\*1863 *Marginulina linearis* m. – REUSS, Hils u. Gault, S. 60, Taf. 5 Fig. 15.

1894 *Marginulina linearis* REUSS – CHAPMAN, Folkestone 5, S. 161, Taf. 4 Fig. 14.

Material: C 24575/1–4, C 24586.

Bemerkungen: Diese von REUSS und späteren Autoren (BERTHELIN, CHAPMAN) aus dem Alb beschriebene Art steht mit ihrer Gehäusegestalt an der Grenze zwischen *Dentalina* und *Marginulina*. – In Trinidad nicht selten.

*Marginulina pyramidalis* (KOCH 1851)

Tafel 3, Figur 227–229

1957 *Marginulina pyramidalis* (KOCH) – BARTENSTEIN, BETTENSTAEDT & BOLLI, Trinidad 1, S. 34, Taf. 5 Fig. 100; 6 Fig. 132.

Material: C 24590/1–3.

Bemerkungen: Die *Marginulina*-Gehäuse der Maridale-Formation tendieren stark zu *Nodosaria*, denn die Mündung ist nur wenig exzentrisch verlagert und die Gestalt ist nur ganz gering gebogen. – Diese in der ganzen Unterkreide verbreitete Art trat schon in der Cuche-Formation auf und ist hier selten.

Gattung *Nodosaria* LAMARCK 1812*Nodosaria* ? sp.

Tafel 3, Figur 220–225

Material: C 24588/1–6.

Bemerkungen: Die kalkigen Gehäuse können mehrkammerig sein (2–3 Kammern), sind vornehmlich jedoch einkammerig erhalten. Die Kammerform ist zylindrisch oder spindelförmig und sekundär flachgedrückt. Die Oberfläche ist korrodiert und etwas rauh, die Wandungen sind dick, die Mündung lochförmig. Neben geraden Gehäusen («*Nodosaria*») liegen auch schwach gebogene Stücke («*Dentalina*», Fig. 224: 3-kammerig) vor.

Die Gehäuse sind in unserem Material nicht selten und haben Ähnlichkeit mit Formen, die WICK 1943 (Taf. 5 Fig. 28–34; 9 Fig. 20–24) und BARTENSTEIN 1959 (Taf. 24 Fig. 1) als *Nodosaria ewaldi* REUSS aus dem NW-deutschen Paleozän und Mittel-Oligozän abgebildet haben. Auch die Tertiär-Formen zeigen, wie eine Überprüfung ergab, porzellanartige dicke Wandungen mit oder ohne Poren. Gewisse Anzeichen bei diesen und den Trinidad-Exemplaren könnten allerdings Zweifel an ihrer Foraminiferennatur aufkommen lassen (sehr kompakte, mehrschichtige? Wandungen, ausser den Nähten weitere, schwer deutbare horizontale, feine Streifen, ungewöhnliche Bruchstellen wie in der Abbildung bei WICK 1943, Taf. 9 Fig. 22).

*Nodosaria orthopleura* REUSS 1863

Tafel 3, Figur 230

\*1863 *Nodosaria orthopleura* m. – REUSS, Hils u. Gault, S. 89, Taf. 12 Fig. 5.1956 *Nodosaria orthopleura* REUSS – BARTENSTEIN, Engl. Hauterive, S. 521, Fig. 19.

Material: C 24591.

Bemerkungen: Das einzige vorhandene Bruchstück besitzt 8 Längsrippen und keine Kammereinschnürungen. Auch sind die Nähte im Auflicht nicht zu erkennen.

Gattung *Dentalina* ORBIGNY 1826*Dentalina soluta* REUSS 1851

Tafel 2, Figur 155–159; 3, Figur 183–186

\*1851 *Dentalina soluta* m. – REUSS, Septarienthon, S. 60, Taf. 3 Fig. 4.1951 *Dentalina soluta* REUSS – BARTENSTEIN & BRAND, Valendis, S. 309, Taf. 9 Fig. 237.

Material: C 24574/1–5, C 24579/1–4.

Bemerkungen: Diese in der Unterkreide allgemein verbreiteten *Dentalina*-Formen sind durch ihre fast gedrungene Gestalt leicht erkennbar. Alle Gehäuse besitzen nur 3 oder 4 meist kugelige Kammern, wie es auch bei den Tertiär-Formen die Regel ist. – In Trinidad nicht selten.

*Dentalina nana* REUSS 1863

Tafel 2, Figur 174–177

1957 *Dentalina nana* REUSS – BARTENSTEIN, BETTENSTAEDT & BOLLI, Trinidad 1, S. 35, Taf. 6 Fig. 128.1965 *Dentalina nana* REUSS – NEAGU, Albian, S. 20, Taf. 5 Fig. 24.

Material: C 24577/1–4.

Bemerkungen: Es kommen Übergangsformen zu *Marginulina linearis* REUSS vor. – Wie in der Cuche-Formation ist die Art auch in der Maridale-Formation nur selten.

*Dentalina gracilis* ORBIGNY 1839

Tafel 3, Figur 187–194, 208

1957 *Dentalina gracilis* ORBIGNY – BARTENSTEIN, BETTENSTAEDT & BOLLI, Trinidad 1, S. 34, Taf. 7 Fig. 146.

Material: C 24580/1–9.

Bemerkungen: Die (ebenfalls schon in der Cucho-Formation auftretenden) zierlichen, langgestreckten Formen sind hier nicht selten.

*Dentalina communis* ORBIGNY 1826

Tafel 3, Figur 195–199

1957 *Dentalina communis* ORBIGNY – BARTENSTEIN, BETTENSTAEDT & BOLLI, Trinidad 1, S. 34, Taf. 7 Fig. 144–145.

Material: C 24581/1–5.

Bemerkungen: Die morphologisch recht indifferenten und variablen Gehäuse kommen in der gesamten Kreide vor und sind auch in Trinidad nicht selten.

*Dentalina cylindroides* REUSS 1860

Tafel 3, Figur 200–202, 218–219

\*1860 *Dentalina cylindroides* m. – REUSS, Westph. Kreide, S. 185, Taf. 1 Fig. 8.

Material: C 24582/1–5.

Bemerkungen: Die nach REUSS meist 4 Kammern besitzende, durch ihr etwas dickeres Gehäuse gekennzeichnete Art ist in der höheren Unterkreide und Oberkreide (REUSS 1863, BERTHELIN 1880, CHAPMAN 1893, FRANKE 1928, FRIZZELL 1954) allgemein verbreitet. Die nicht seltenen Maridale-Gehäuse besitzen 2–4 Kammern.

*Dentalina distincta* REUSS 1860

Tafel 3, Figur 203–204, 209, 217

\*1860 *Dentalina distincta* m. – REUSS, Westph. Kreide, S. 184, Taf. 2 Fig. 5.1962 *Dentalina distincta* REUSS – BARTENSTEIN & BETTENSTAEDT, Marine Unterkreide, S. 280, Taf. 39 Fig. 21.

Material: C 24583/1–4.

Bemerkungen: Die meist zugespitzte Anfangskammer ist oft grösser als die 2. Kammer. Neben kennzeichnend 4-kammerigen Gehäusen (Fig. 217) treten auch 5- bis 6-kammerige (Fig. 209) auf.

In Trinidad selten. In Nordeuropa (und vereinzelt auch in nordalpinen Sedimenten) vom Unter-Barrême bis Mittel-Alb verbreitet, im Ober-Apt häufig.

*Dentalina linearis* (ROEMER 1841)

Tafel 3, Figur 205

1957 *Dentalina linearis* (ROEMER) – BARTENSTEIN, BETTENSTAEDT & BOLLI, Trinidad 1, S. 35, Taf. 7 Fig. 148.

Material: C 24584.

Bemerkungen: Das einzige Maridale-Gehäuse gleicht weitgehend der Valendis-Form bei BARTENSTEIN &amp; BRAND 1951, Taf. 9 Fig. 235.

*Dentalina cf. deflexa* REUSS 1863

Tafel 3, Figur 206–207

\*1863 *Dentalina deflexa* m. – REUSS, Hils u. Gault, S. 43, Taf. 2 Fig. 19.

Material: C 24585/1–2.

Bemerkungen: Die beiden vorliegenden Bruchstücke lassen die schlanke Gestalt und die sehr hohen Kammern erkennen, die auch REUSS in seiner Diagnose erwähnt. Die Art wurde von ihm aus dem NW-deutschen Apt beschrieben.

*Dentalina guttifera* ORBIGNY 1846

Tafel 3, Figur 211–216

1965 *Dentalina guttifera* ORBIGNY – NEAGU, Albian, S. 20, Taf. 5 Fig. 33.  
Material: C 24587/1–6.

Bemerkungen: Obwohl ORBIGNY's Art aus dem Tertiär des Wiener Beckens stammt, sehen wir uns hinsichtlich der morphologischen Übereinstimmung (besonders in den stark abgeschnürten, grossen elliptischen Kammern) nicht veranlasst, die Kreide-Formen allein aufgrund ihres älteren Vorkommens anders zu benennen (siehe auch Bemerkungen zu *Dentalina subguttifera* BARTENSTEIN 1952, S. 310–311). – In Trinidad nicht selten.

*Dentalina cf. porcatulata* LOEBLICH & TAPPAN 1951

Tafel 3, Figur 226

\*1951 *Dentalina porcatulata* n. sp. LOEBLICH & TAPPAN – in: LOZO, Maness Shale, S. 88, Taf. 2 Fig. 15–16.  
Material: C 24589.

Bemerkungen: Das einzige vorliegende Exemplar hat deutlich schräg über das ganze Gehäuse laufende, schmale und scharfe, niedrige Längsrippen (6–8 in Seitenansicht zählbar), die an den Nahteinschnürungen manchmal leicht verbogen sind. Dünnere Zwischenrippen können eingeschaltet sein. Die Endkammer zeigt insgesamt 15 Rippen, die auf die Mündung zulaufen. Anfangskammer kugelig, mit kleiner Spitze, die übrigen Kammern wenig breiter als hoch, die Endkammer etwas höher als breit.

Wir stellen das Gehäuse unter Vorbehalt zu *Dentalina porcatulata* aus der tiefen Oberkreide (Maness-Shale) von Texas. Die schrägen Rippen bilden eine interessante Konvergenzerscheinung zu *Dentalina*-Arten aus dem europäischen Mittel-Oligozän, die eine ähnliche Skulptur tragen.

Gattung *Rectoglandulina* LOEBLICH & TAPPAN 1955

*Rectoglandulina mutabilis* (REUSS 1863)

Tafel 3, Figur 231–235

1957 *Pseudoglandulina mutabilis* (REUSS) – BARTENSTEIN, BETTENSTAEDT & BOLLI, Trinidad 1, S. 37, Taf. 7 Fig. 156.  
Material: C 24592/1–5.

Bemerkungen: Die Maridale-Gehäuse sind nicht ganz geradlinig gewachsen und haben die Mündung etwas seitlich verlagert. Die beiden letzten Kammern sind durch Nahtvertiefungen abgetrennt. – Die schon in der Cucho-Formation vorkommende Art ist hier nicht selten.

*Rectoglandulina cf. mutabilis* (REUSS 1863)

Tafel 3, Figur 236–237, 248–249

Material: C 24593/1–4.

Bemerkungen: Die nicht seltenen Gehäuse sind ungewöhnlich stark seitlich zusammengedrückt, wobei die Kammern auch gerissen oder etwas verschoben sein können. Weshalb gerade die Gehäuse dieser Art eine solche Deformierung durchmachten, kann nicht erklärt werden.

*Rectoglandulina humilis* (ROEMER 1841)

Tafel 3, Figur 246–247

1957 *Pseudoglandulina humilis* (ROEMER) – BARTENSTEIN, BETTENSTAEDT & BOLLI, Trinidad 1, S. 37, Taf. 7 Fig. 153–155.

Material: C 24596/1–2.

Bemerkungen: Die schlanke Gestalt in Fig. 247 mit der deutlichen Abschnürung der letzten 3 Kammern erinnert an *Rectoglandulina tenuis* (BORNEMANN) bei BARTENSTEIN & BRAND 1951, Taf. 13 Fig. 349, doch ist es bei Einzelstücken der in Jura und Kreide besonders variablen *Rectoglandulina* oft schwer, eine exakte Art-einstufung (*humilis*, *tenuis* oder *mutabilis*) vorzunehmen (vgl. LUTZE 1960, S. 477–481, Abb. 16). Wie schon in der Cucho- und Toco-Formation ist *R. humilis* auch in der Maridale-Formation selten.

Gattung *Lingulina* ORBIGNY 1826*Lingulina loryi* (BERTHELIN 1880)

Tafel 3, Figur 243–245

1965 *Frondicularia loryi* BERTHELIN – NEAGU, Albien, S. 26, Taf. 6 Fig. 13–16.  
Material: C 24595/1–3.

Bemerkungen: Das Gehäuse der Fig. 243 ist unregelmässig gewachsen, aber auch die übrigen 2 Stücke mit sehr flach gebogenen Nähten sind recht untypische Vertreter der Gattung *Lingulina*, die in der Unterkreide bekanntlich nur selten auftritt. Mit NEAGU's Formen aus dem rumänischen Alb haben unsere Exemplare die meiste Ähnlichkeit.

Gattung *Vaginulina* ORBIGNY 1826*Vaginulina recta* REUSS 1863

Tafel 3, Figur 250–253

1957 *Vaginulina recta* REUSS – BARTENSTEIN, BETTENSTAEDT & BOLLI, Trinidad 1, S. 38, Taf. 5 Fig. 103; 6 Fig. 134–135.

1960 *Vaginulina recta* REUSS – DRUSCHIZA & KUDRJAZEWA, Unterkreidefauna, S. 99, Taf. 11 Fig. 1.

Material: C 24597/1–4.

Bemerkungen: Unsere Gehäuse gleichen vor allem in ihrer langgestreckten Gestalt und in der Kammerform der REUSS'schen Art, haben jedoch anstelle der dünnen Nahtleisten deutliche Nahtvertiefungen. Wir halten diesen Unterschied nur für eine lokale Abwandlung und sehen im Hinblick auf die Übereinstimmung aller anderen Merkmale von der Aufstellung einer neuen Unterart ab.

Schon in der Cucho-Formation auftretend, ist die vom Mittel-Barrême an verbreitete Art besonders im nordeuropäischen Alb häufig anzutreffen und auch in der Maridale-Formation nicht selten.

*Vaginulina* sp.

Tafel 3, Figur 254–255

Material: C 24598/1–2.

Bemerkungen: Die beiden Bruchstücke lassen sich nicht eindeutig einer bekannten Unterkreide-*Vaginulina* zuordnen. Ähnlich zahlreiche feine, niedrige und etwas schräg über die Seitenflächen verlaufende Längsrippchen weist auch *Vaginu-*

*lina striolata* REUSS 1863 auf, doch hat diese Art einen breiteren Umriss und schärfere Leisten am Rücken- und Bauchrand. Andererseits haben unsere Bruchstücke die schmale langgestreckte Gestalt, die durchgehenden Längsrippchen und einen leicht abgerundeten Rücken mit *Citharina acuminata* (REUSS 1863) gemeinsam; Rücken- und Bauchrand verlaufen aber fast parallel im Gegensatz zu der im Umriss schief-dreieckigen *C. acuminata*. Ob eine neue Art vorliegt, kann erst beurteilt werden, wenn vollständig erhaltene Gehäuse gefunden werden.

*Vaginulina cf. recta tenuistriata* CHAPMAN 1894

Tafel 3, Figur 260–264

\*1894 *Vaginulina recta* REUSS var. *tenuistriata* – CHAPMAN, Folkestone 6, S. 422, Taf. 8 Fig. 2.  
1950 *Vaginulina recta* REUSS var. *tenuistriata* CHAPMAN – DAM, Albien, S. 34, Taf. 3 Fig. 1.  
Material: C 24599/1–5.

Bemerkungen: Die Gehäuse ähneln in der Gestalt *Vaginulina recta*, sind nur etwas breiter und noch stärker komprimiert, haben auch entweder nur dünne Nahtleisten oder glatte, durchscheinende Nähte oder sogar feine Nahtvertiefungen. Da die Oberflächen schwach korrodiert sind, können ursprüngliche Feinskulpturen nur noch selten festgestellt werden. So hat Figur 264 auf den unteren Kammerhälften sehr zarte (auf dem Foto nicht erkennbare), schräg nach vorn verlaufende Längsrippchen (über 12 auf einer Kammer). Fig. 263 zeigt ebenfalls – noch schwächer angedeutete – schräge Längsrippchen.

Unsere Formen sind am ehesten CHAPMAN's Unterart zuzurechnen. Jedenfalls konnten wir bisher keine vergleichbare Art in der europäischen oder aussereuropäischen Unterkreide-Literatur wiederfinden. – In Trinidad nicht selten.

*Vaginulina geinitzi* REUSS 1874

Tafel 3, Figur 267–269

1928 *Vaginulina geinitzi* REUSS – FRANKE, Obere Kreide, S. 82, Taf. 7 Fig. 24–25.  
1965 *Vaginulina geinitzi* REUSS – NEAGU, Albanien, S. 25, Taf. 6 Fig. 6.  
Material: C 24600/1–3.

Bemerkungen: Die dünnen und platten Maridale-Gehäuse besitzen nur flache Nähte oder feine Nahtvertiefungen. Ihr Umriss ist sehr variabel, teils lanzettförmig, teils breiter, stets aber  $\pm$  dreieckig. – Die in Trinidad seltene Art ist vom Alb bis Turon verbreitet.

Gattung *Frondicularia* DEFRANCE 1826

*Frondicularia gaultina* REUSS 1860

Tafel 3, Figur 265, 270–272

1950 *Frondicularia gaultina* REUSS – DAM, Albien, S. 32, Taf. 2 Fig. 23.  
Material: C 24601/1–4.

Bemerkungen: REUSS bildet zwar nur ein Bruchstück ohne Anfangsteil aus dem Alb ab, doch sind sich alle Unterkreide-Bearbeiter (siehe Synonymieliste bei DAM) darin einig, dass die Anfangskammer kugelig gestaltet war. Ein langgestreckt-rhomboidaler Umriss, glatte Wände und deutlich vertiefte Nähte sind weitere Merkmale dieser im Alb und Cenoman vorkommenden Art. Fig. 265 ist besonders kennzeichnend, wogegen Fig. 270 und 272 breiter gebaut sind. – In Trinidad selten.

Gattung *Falsopalmula* BARTENSTEIN 1948*Falsopalmula* sp.

Tafel 3, Figur 293

Material: C 24605.

Bemerkungen: Das Einzelgehäuse mit vertieften Nähten und nur angedeutetem jüngeren «*Fronicularia*»-Teil (reitende Kammern) ist artmässig nicht zu erfassen. Solche unregelmässig gewachsenen *Planularia*-Gehäuse (z. B. auch *Flabellinella didyma* BERTHELIN 1880) sind im Alb nicht unbekannt, kommen jedoch als mutative, zum Teil aberrante Neubildungen in allen Schichten vom Jura bis Tertiär vor (BETTENSTAEDT 1962, S. 454).

Gattung *Tristix* MACFADYEN 1941*Tristix acutangula* (REUSS 1863)

Tafel 3, Figur 266, 273–278

1957 *Tristix acutangula* (REUSS) – BARTENSTEIN, BETTENSTAEDT & BOLLI, Trinidad 1, S. 37  
Taf. 5 Fig. 111; 6 Fig. 139.

Material: C 24602/1–7.

Bemerkungen: Die nicht seltenen Maridale-Exemplare zeigen dieselbe Variationsbreite wie die Gehäuse dieser Art in der übrigen Unterkreide; so gleicht z. B. unsere Fig. 266 fast völlig der NW-deutschen Obervalendis-Form bei BARTENSTEIN & BRAND 1951, Taf. 10 Fig. 257.

Gattung *Quadratina* DAM 1946*Quadratina maertensi* (REUSS 1863)

Tafel 3, Figur 294

1951 *Quadratina maertensi* (REUSS) – BARTENSTEIN & BRAND, Valendis, S. 315, Taf. 10 Fig. 265.  
1965 *Quadratina quadrata* (VIEAUX) – NEAGU, Albien, S. 24, Taf. 5 Fig. 16–17.

Material: C 24606.

Bemerkungen: Die Art ist aus der gesamten Unterkreide bekannt, u. a. aus dem Valendis und Hauterive NW-Deutschlands oder aus dem Alb in Frankreich, England, Rumänien und den USA. Uns liegt aus Trinidad nur ein sehr grosses Einzelgehäuse mit 8–9 Kammern vor.

Gattung *Lagena* WALKER & JACOB 1798*Lagena laevis* (MONTAGU 1803)

Tafel 3, Figur 279–285

1957 *Lagena laevis* (MONTAGU) – BARTENSTEIN, BETTENSTAEDT & BOLLI, Trinidad 1, S. 40, Taf. 7  
Fig. 160–162.

Material: C 24603/1–7.

Bemerkungen: Die meisten Gehäuse sind hier nicht so langgestreckt wie in der Toco-Formation. Die kennzeichnend birnenförmige, unten stets abgerundete *Lagena*-Art ist in der Unterkreide allgemein verbreitet und auch in der Maridale-Formation nicht selten.

Familie **Polymorphinidae**Gattung *Globulina* ORBIGNY 1839*Globulina prisca* REUSS 1863

Tafel 3, Figur 286–292, 308

1957 *Globulina* cf. *prisca* REUSS – BARTENSTEIN, BETTENSTAEDT & BOLLI, Trinidad 1, S. 41, Taf. 7 Fig. 166.

1965 *Globulina prisca* REUSS – NEAGU, Albien, S. 28, Taf. 7 Fig. 3–5.

Material: C 24604/1–8.

Bemerkungen: Die schmal-elliptischen Maridale-Gehäuse entsprechen denen aus der Cuche- und Toco-Formation. Sie sind jedoch so stark korrodiert, dass sich die Nähte kaum erkennen lassen. – Nicht selten.

Gattung *Pyrulina* ORBIGNY 1839*Pyrulina exserta* (BERTHELIN 1880)

Tafel 3, Figur 303–307

1957 *Pyrulina* cf. *exserta* (BERTHELIN) – BARTENSTEIN, BETTENSTAEDT & BOLLI, Trinidad 1, S. 41, Taf. 7 Fig. 165.

Material: C 24610/1–5.

Bemerkungen: Die nicht seltenen Gehäuse unterscheiden sich von den artgleichen Funden aus der Cuche-Formation nur durch ihr stärkeres Grössenwachstum, was auch schon mehrfach bei anderen Arten beobachtet wurde und darauf zurückgeführt werden kann, dass in der Maridale-Formation günstigere Lebensbedingungen für Foraminiferen geherrscht haben.

*Pyrulina cylindroides* (ROEMER 1838)

Tafel 3, Figur 299–302

1950 *Pyrulina cylindroides* (ROEMER) – DAM, Albien, S. 42.

1954 *Pyrulina cylindroides* (ROEMER) – FRIZZELL, Handbook, S. 104, Taf. 14 Fig. 25–27.

Material: C 24609/1–4.

Bemerkungen: Unsere langgestreckten Gehäuse entsprechen weitgehend der Fig. 26 bei FRIZZELL 1954, Taf. 14. – In Trinidad selten.

Gattung *Falsoguttulina* BARTENSTEIN & BRAND 1949*Falsoguttulina vandenboldi* (BARTENSTEIN, BETTENSTAEDT & BOLLI 1957)

Tafel 3, Figur 309–314

\*1957 *Guttulina vandenboldi* n. sp. – BARTENSTEIN, BETTENSTAEDT & BOLLI, Trinidad 1, S. 40, Taf. 7 Fig. 163–164.

Material: C 24611/1–6.

Bemerkungen: Die Maridale-Gehäuse sind wiederum wesentlich grösser gewachsen als die Formen aus dem Barrême, doch wirken sich hier lediglich verschiedene Umwelteinflüsse aus. Wie schon bei Aufstellung der neuen Art 1957 vermutet, sind die Formen in die Gattung *Falsoguttulina* zu stellen, die mit einer Schlitzmündung (anstelle einer Strahlenmündung) ausgestattet ist.

Eine auffallende Konvergenz besteht zu *Uvigerinamina moesiana*, einem fein-agglutinierten Sandschaler mit sehr ähnlicher Gehäusegestalt und «elliptischer» Mündung, den NEAGU 1965 (S. 5, Taf. 2 Fig. 11–18) aus dem rumänischen Alb neu beschreibt.

In der Maridale-Formation nicht selten, ist die Art damit vom Barrême bis Alb nachgewiesen.

## Genus et Species incertae sedis

Tafel 3, Figur 297–298

Material: C 24608/1–2.

Bemerkungen: Die beiden Gehäuse sind stark gerundet-kegelförmig, kurz und gedrungen gebaut und haben die ältesten Kammern (mit schwach vertieften Nähten) spiralg wie bei *Bulimina* angeordnet. Die grosse geblähte Endkammer nimmt die Hälfte oder mehr der Gehäuselänge ein. An ihrem oben etwas abgeflachten Ende befindet sich in ihrer Mitte die grosse, schwach eingesenkte Mündung, die randlich einen deutlichen Strahlenkranz besitzt. Die stark inkrustierten Gehäuse lassen leider Detailuntersuchungen des Innenbaus nicht zu.

Wir kennen aus der Literatur keine gleichartige Form, können sie auch nicht mit *Glandulina*, *Rectoglandulina* oder ähnlichen Gattungen vergleichen. Die Mündungsform spricht für eine Art der Familie *Polymorphinidae*.

Gattung *Ramulina* RUPERT JONES 1875

Zur Artentrennung der Gattung *Ramulina* in der Unterkreide verweisen wir auf die Ausführungen bei BARTENSTEIN 1965, (S. 349–350). Danach scheiden wir 3 Hauptgruppen aus, die entsprechend ihren Wandungen folgenden Arten zugeordnet werden:

1. Gruppe: *Ramulina laevis* JONES 1875. – Gehäuse unverzweigt oder verzweigt, mit glatter Oberfläche und verhältnismässig dicken Wandungen.
2. Gruppe: *Ramulina globulifera* BRADY 1879. – Gehäuse unverzweigt oder verzweigt, mit feinstacheliger Oberfläche und verhältnismässig dünnen Wandungen.
3. Gruppe: *Ramulina aculeata* WRIGHT 1886. – Gehäuse unverzweigt oder verzweigt, mit grobstacheliger Oberfläche, oft auch mit rauhem Belag (wahrscheinlich von Fremdkörpern wie Muschelresten, Sand- oder Kalkgrus stammend), ferner mit verhältnismässig dicken Wandungen.

*Ramulina laevis* JONES 1875

Tafel 3, Figur 295–296

Material: C 24607/1–2.

Bemerkungen: Unsere beiden glattwandigen Gehäuse sind durch Einschnürungen deutlich in 2 ungleich grosse Kammerteile geschieden. Mit den wenigen (etwa 6) kurzen Höckern gleichen sie dem einkammerigen Gehäuse bei HECHT 1938, Taf. 24 Fig. 118 aus dem NW-deutschen höheren Mittel-Alb. – In Trinidad selten.

*Ramulina globulifera* BRADY 1879

Bemerkungen: Ausgesprochen feinstachelige Gehäuse (*R. fusiformis* KHAN 1950, *R. tappanae* BARTENSTEIN & BRAND 1951) fehlen im Maridale-Material. Vielleicht ist dies aber nur vorgetäuscht, weil feine Stacheln leicht durch die z. T. starke Korrosion der Gehäuse fortgelöst oder durch sekundäre Kalkablagerungen überkrustet sein können. – Übergangsformen zwischen *R. globulifera* und *R. aculeata* haben wir zu der nachfolgend beschriebenen Art gestellt.

*Ramulina aculeata* WRIGHT 1886

Tafel 4, Figur 315–339

Material: C 24612 (Fig. 315), C 24613/1–9 (Fig. 316–324), C 24614/1–5 (Fig. 325–329), C 24615/1–5 (Fig. 331–335), C 24616 (Fig. 330, 336), C 24617/1–3 (Fig. 337–339).

Bemerkungen: Die Maridale-Gehäuse sind sehr verschieden gestaltet; auch kann die Bestachelung der Wände zwischen sehr grob und weniger grob wechseln. Wir unterscheiden folgende Formengruppen:

- a) Figur 315: Annähernd kugeliges Gehäuse (Einzelexemplar) mit zahlreichen feineren und 6 einzelnen, fast kreuzförmig angeordneten groben Stacheln. (BRADY 1884, Taf. 76 Fig. 23 bildete aus dem Pazifik ein ganz ähnliches, jedoch feinstacheliges Gehäuse als *Ramulina globulifera* ab.)
- b) Figur 316–324: Vielgestaltig verzweigte Gehäuse. Ähnliche Formen wurden abgebildet bei  
 CHAPMAN 1896, S. 583, Taf. 12 Fig. 7–9 (*Ramulina aculeata*) aus dem englischen Alb,  
 HECHT 1938, Taf. 2a Fig. 43–45 (*Ramulina* D 3) aus dem NW-deutschen Unter-Alb,  
 HECHT 1938, Taf. 6b Fig. 1–3 (*Ramulina* D 3) aus dem Grenzbereich Unter-/Ober-Apt,  
 TAPPAN 1943, S. 506, Taf. 81 Fig. 7 (*Ramulina aculeata*) aus dem nordamerikanischen Alb,  
 BARTENSTEIN, BETTENSTAEDT & BOLLI 1957, S. 42, Taf. 5 Fig. 106 (*Ramulina spandeli*) aus dem höheren Barrême von Trinidad.
- c) Figur 325–329: Spindelförmige, schräggewachsene und einkammerige Gehäuse, gelegentlich aber auch zweikammerig (Fig. 326: abgebrochen). Ähnliche Gehäuse finden wir bei  
 BERTHELIN 1880, S. 35, Taf. 2 Fig. 10–13 (*Marginulina* cf. *Dentalina aculeata*) aus dem französischen Alb,  
 EICHENBERG 1933, S. 18, Taf. 6 Fig. 6a (*Ramulina aculeata*) aus dem NW-deutschen Alb,  
 HECHT 1938, Taf. 5b Fig. 36 (*Ramulina* D 3) aus dem NW-deutschen Ober-Apt,  
 BARTENSTEIN & BRAND 1951, S. 323, Taf. 11 Fig. 332 (*Ramulina aptiensis*) aus dem NW-deutschen Ober-Valendis.  
 Auch *Ramulina fusiformis* KHAN 1950 in Trinidad 1, S. 41, Taf. 7 Fig. 167 ähnelt den Maridale-Formen, ist jedoch wesentlich zierlicher gewachsen und sehr fein bestachelt.
- d) Figur 331–335: Kugelige bis ovale, einkammerige (selten auch zweikammerige) Gehäuse, stets grobstachelig. Diese Formen wurden sogar teilweise in andere Gattungen gestellt:  
 TAKAYANAGI 1960, S. 118, Taf. 7 Fig. 17–18 (*Ramulina* sp. a) aus dem japanischen Alb und Coniac,  
 BARTENSTEIN & BETTENSTAEDT 1962, S. 255, Taf. 35 Fig. 8 (*Lagena oxystoma*) aus dem NW-deutschen Mittel-Valendis bis Mittel-Barrême,  
 NEAGU 1965, S. 21, Taf. 5 Fig. 20 (*Dentalina aculeata*) aus dem rumänischen Alb,  
 NEAGU 1965, S. 28, Taf. 7 Fig. 17–18 (*Ramulina novaculeata*) aus dem rumänischen Alb.
- e) Figur 330, 336: Meist mehrkammerige, «*Dentalina*»-artige Gehäuse mit dichter und recht grober Bestachelung, wobei Fig. 330 eine abgebrochene Kammer, Fig. 336 ein 3-kammeriges Gehäuse darstellt.
- f) Figur 337–339: Richtungslos wachsende mehrkammerige Gehäuse mit Andeutung einer spiralen Einrollung und mit sehr rauhen, pockennarbigem Wandungen. Ähnliche Gehäuse wurden abgebildet bei  
 EICHENBERG 1935, S. 29, Taf. 6 Fig. 1–2 (*Ramulina aculeata*, ? *Polymorphina* n. sp.) aus dem NW-deutschen Ober-Apt.  
 TAPPAN 1943, S. 506, Taf. 81 Fig. 6 (*Ramulina aculeata*) aus dem nordamerikanischen Alb.

Gehäuse der Art *Ramulina aculeata* kommen in Trinidad häufig vor.

#### Zusammenfassende Bemerkungen zu den 3 *Ramulina*-Arten

Verff. sind sich darüber im klaren, dass diese im Sinne von T. R. JONES & F. CHAPMAN 1897 angewandte Gliederung der Gattung *Ramulina* auf Widerspruch stossen wird, zumal sämtliche

späteren, auch eigene neue Arten unberücksichtigt blieben. Wir sind jedoch der Ansicht, dass JONES & CHAPMAN schon damals aufgrund aller ihnen bekannten fossilen und rezenten Funde zu einer modernen taxionomischen Auffassung gelangt sind. Zu welchen Ergebnissen eine zu enge Artfassung innerhalb der Gattung *Ramulina* führt, zeigt – um nur eine einzelne spätere Arbeit zu nennen – die Untersuchung von F. J. BULLARD 1953 über die *Polymorphinidae* des Cenoman (Del Rio Shale in Texas). BULLARD begründet – ohne bedauerlicherweise der so wichtigen Arbeit von JONES & CHAPMAN Beachtung zu schenken – ihre Arten auf nur kleine Gehäuseunterschiede. Keine der beschriebenen «Arten» tritt aber stratigraphisch isoliert auf (BULLARD S. 345, Fig. 1); alle stammen aus einem einzigen Fundpunkt im Cenoman und sind vielfach durch morphologische Übergänge miteinander verbunden. Es besteht kein Zweifel, dass bei dieser Artenaufsplitterung die ungewöhnlich hohe Variabilität von *Ramulina* nicht berücksichtigt wurde.

Wer dennoch eine einzelne Form für stratigraphisch wertvoll hält, mag sie artspezifisch hervorheben. Wir glauben, zurzeit mit den Unterkreide-*Ramulinae* der Maridale-Formation trotz ihres häufigen Auftretens keine stratigraphischen Aussagen machen zu können. Allein die auffälligen Formen auf Taf. 4 Fig. 337–339 könnten auf die höhere Unterkreide begrenzt sein; doch ist diese Vermutung noch anhand weiterer Vorkommen zu prüfen.

### Familie **Spirillinidae**

Gattung *Spirillina* EHRENBERG 1843

*Spirillina minima* SCHACKO 1892

Tafel 1, Figur 30

1957 *Spirillina minima* SCHACKO – BARTENSTEIN, BETTENSTAEDT & BOLLI, Trinidad 1, S. 44, Taf. 1 Fig. 18–20.

Material: C 24543.

Bemerkungen: Das einzige sehr kleine, zarte und durchsichtige Gehäuse entspricht völlig den Formen, die neben anderen Varianten dieser Art schon in der Cucho- und Toco-Formation aufgefunden wurden.

### Familie **Discorbidae**

Gattung *Valvulineria* CUSHMAN 1926

*Valvulineria gracillima* DAM 1947

Tafel 4, Figur 354–355

1962 *Valvulineria gracillima* DAM – BARTENSTEIN & BETTENSTAEDT, Marine Unterkreide, S. 287, Taf. 36 Fig. 17.

1965 *Valvulineria gracillima* DAM – NEAGU, Albian, S. 30, Taf. 7 Fig. 33–35.

Material: C 24619/1–2.

Bemerkungen: Gegenüber den mitteleuropäischen Formen sind kaum Unterschiede festzustellen. Die seltenen Trinidad-Gehäuse sind nur etwas kleiner und haben 5 (statt 6–7) Kammern in der letzten Windung. – Die weitverbreitete Art reicht vom Ober-Apt bis ins Cenoman.

### Familie **Gavelinellidae**

Gattung *Gavelinella* BROTZEN 1942

*Gavelinella intermedia* (BERTHELIN 1880)

Tafel 4, Figur 340–353

1962 *Gavelinella* cf. *barremiana* BETTENSTAEDT – BARTENSTEIN & BETTENSTAEDT, Marine Unterkreide, S. 285, Taf. 37 Fig. 8; 39 Fig. 8.

1965 *Gavelinella intermedia* (BERTHELIN) – NEAGU, Albian, S. 32, Taf. 8 Fig. 1–2.

1966 *Gavelinella intermedia* (BERTHELIN) – MICHAEL, Gavelinelliden, Taf. 1 Fig. 4–13.

Material: C 24618/1–14.

Bemerkungen: Die schwach gewölbte Nabelseite und die flache bis konkave Spiralseite sind für viele Populationen dieser Art kennzeichnend. Die Gehäuse zeigen noch keinen Spiralknopf, dafür aber die Andeutung eines Nabelknopfes; ihre Windungen sind stark involut, die Nähte der jüngsten Kammern meist weit nach rückwärts geschwungen. Diese Merkmalskombination ist in NW-Deutschland für den stratigraphischen Bereich Ober-Apt bis Unter-Alb bezeichnend<sup>7)</sup>.

Für diese Einstufung sprechen vor allem die Nähte, deren Krümmung im Laufe der phylogenetischen Entwicklung geringer wird (MICHAEL 1966). Die Maridale-Gehäuse entsprechen in ihrem Nahtverlauf *Gavelinella intermedia* aus dem NW-deutschen Ober-Apt (BARTENSTEIN & BETTENSTAEDT 1962, Taf. 37 Fig. 8; 39 Fig. 8); dagegen zeigen die Belegstücke zu BERTHELIN 1880 aus dem höheren Alb Frankreichs (später fotografisch abgebildet in BARTENSTEIN 1954, Taf. 1 Fig. 21–28) ebenso wie die Abbildungen von NEAGU aus dem rumänischen Alb im Durchschnitt weniger stark zurückgebogene Nähte. (Weitere Angaben zur Phylogenie siehe stratigraphischer Teil.)

Fig. 347–353 zeigen kleinere und im Querschnitt etwas symmetrischer gebaute Gehäuse derselben Art. Da sie die gleiche Kammerzähl (6–7 im letzten Umgang) wie die grösseren Gehäuse (Fig. 340–346) aufweisen, handelt es sich ebenfalls um adulte Exemplare, jedoch um kleinwüchsige Kümmerformen, die auf zeitweise ungünstige Umweltbedingungen schliessen lassen. Derartige modifikative Schwankungen der Gehäusegrösse sind auch bei den NW-deutschen Formen oft zu beobachten.

*Gavelinella intermedia* existiert vom Unter-Apt bis Ober-Alb, ist im Ober-Apt meist häufig und wurde als eine im borealen und mediterranen Europa weitverbreitete Art bisher in Frankreich, NW-Deutschland, den Niederlanden, England, Schweden, Österreich (Tirol), Rumänien und Russland nachgewiesen. Die Art ist auch in Trinidad häufig.

### Familie Globorotaliidae

#### Gattung *Conorotalites* KAEVER 1958

#### *Conorotalites aptiensis* (BETTENSTAEDT 1952)

Tafel 4, Figur 357–359

\*1952 *Globorotalites bartensteini aptiensis* n. sp. n. subsp. – BETTENSTAEDT, Barrême, S. 282, Taf. 3 Fig. 32; 4 Fig. 59–72.

1962 *Conorotalites aptiensis* (BETTENSTAEDT) – BARTENSTEIN & BETTENSTAEDT, Marine Unterkreide, S. 278, Taf. 37 Fig. 3; Abb. 22.

Material: C 24621/1–3.

Bemerkungen: Die fast durchweg spitzkonische Gehäusegestalt, die im Querschnitt teilweise leicht glockenförmige Nabelseite, die deutlich konvexe Spiralseite, der stark eingeeengte Nabelnapf und der lobige Aussenrand bilden artkennzeichnende Merkmale. Die S-förmig geschwungenen Nähte auf der Nabelseite sind infolge des korrodierten Erhaltungszustandes nur bei einigen Gehäusen deutlich zu erkennen. Im letzten Umgang 5 Kammern.

Die von NEAGU 1965 (S. 36, Taf. 10 Fig. 7–9) aus dem rumänischen Mittel-Alb (*dentatus*-Zone) neu beschriebene *Globorotalites brotzeni rumanus* hat mit *Conorotalites aptiensis* die Gehäusegestalt, die gleiche Kammerzähl (meist 5) und einen schwachen Kiel gemeinsam, mit *Globorotalites brotzeni* HOFKER 1957 (S. 403, Abb. 455) den tiefen Nabel. Einige Varianten der rumänischen Unterart (Fig. 7 und 9) sind aber von manchen Gehäusen unserer Art aus dem NW-deutschen Apt kaum zu unterscheiden.

<sup>7)</sup> Die Maridale-Gehäuse von *Gavelinella intermedia* haben Dr. E. MICHAEL, Hannover zur Beurteilung vorgelegen.

*C. aptiensis* bildet das Endglied einer phylogenetischen Reihe und tritt im borealen NW-Deutschland vom hohen Ober-Barrême bis tiefem Unter-Alb – mit sehr seltenen Nachläufern im Mittel-Alb – auf. Sie ist ferner aus den mediterranen Sedimenten der nördlichen Alpen (Bayern, Vorarlberg) sowie aus Frankreich und Sizilien bekannt und auch in Trinidad nicht selten.

### Familie **Hantkeninidae**

Die planktonischen Foraminiferen dieser wie der nächsten Familie Rotaliporidae sind in der höheren Unterkreide von Trinidad stratigraphisch bereits so bedeutsam, dass sie an anderen Stellen, insbesondere von einem der Autoren (BOLLI 1957, 1959) näher behandelt wurden. In diesem Zusammenhang wurden im amerikanischen Forschungsraum von BOLLI und anderen Autoren neue Gattungen und Arten aufgestellt, aus deren grosser Zahl hier nur die für die Maridale-Formation wichtigeren Arten erwähnt und abgebildet werden sollen.

#### Gattung *Planomalina* LOEBLICH & TAPPAN 1946

##### *Planomalina* sp.

Tafel 4, Figur 356

Material: C 24620.

Bemerkungen: Das einzige vorliegende Gehäuse mit seiner 5-kammerigen, gedrungenen *Pullenia*-ähnlichen Gestalt weicht von den anderen, in der Unterkreide bekannt gewordenen *Planomalina*-Arten deutlich ab, gehört nach der Mündungsform aber dennoch zu dieser Gattung.

##### *Planomalina maridalensis* BOLLI 1959

Tafel 4, Figur 371–380

\*1959 *Planomalina maridalensis* n. sp. – BOLLI, Planktonic Foram., S. 261, Taf. 20 Fig. 4–6.  
Material: C 24623/1–10.

Bemerkungen: Typlokalität der Art ist Maridale Estate, Typhorizont die *Biglobigerinella barri*-Zone. Das Vorkommen ist häufig.

##### *Planomalina saundersi* BOLLI 1959

Tafel 4, Figur 384–385, 398–402

\*1959 *Planomalina saundersi* n. sp. – BOLLI, Planktonic Foram., S. 262, Taf. 20 Fig. 9–11.  
Material: C 24625/1–7.

Bemerkungen: Typlokalität der Art ist Maridale Estate, Typhorizont die *Biglobigerinella barri*-Zone. Das Vorkommen ist häufig.

Einzelheiten der verwandtschaftlichen Beziehungen zu anderen *Planomalina*-Arten oder zu *Hastigerinella subcretacea* TAPPAN 1943 werden von BOLLI in der oben zitierten Veröffentlichung (1959) behandelt.

#### Gattung *Schackoina* THALMANN 1932

##### *Schackoina pustulans* BOLLI 1957

Tafel 4, Figur 381–383

\*1957 *Schackoina pustulans pustulans* n. sp., n. subsp. – BOLLI, *Schackoina*, S. 274, Taf. 1 Fig. 1–4.  
\*1957 *Schackoina pustulans quinquecamerata* n. sp., n. subsp. – BOLLI, *Schackoina*, S. 274, Taf. 1 Fig. 6–7.

1959 *Schackoina pustulans* BOLLI – SIGAL, Gargasien vocont., S. 70, Fig. 1–18, 47.

1964 *Schackoina pustulans* BOLLI – TODD & LOW, Cenomanian, S. 407, Taf. 1 Fig. 7.

Material: C 24624/1–3.

Bemerkungen: BOLLI unterschied aufgrund einer sehr grossen Variationsbreite und Differenzierung der Kammerbildung und Mündungsformen folgende 3 neue Arten und Unterarten:

*Schackoia pustulans pustulans*  
*Schackoia pustulans quinquecamerata*  
*Schackoia reicheli*

Wir bilden in dieser Arbeit nur 3 Gehäuse von *Schackoia pustulans* ab und verweisen für nähere Einzelheiten zur Taxonomie dieser für die Maridale-Formation so kennzeichnenden Formengruppe auf die in der Synonymieliste zitierten Veröffentlichungen.

In Trinidad nicht selten bis häufig. Nach SIGAL 1959 eine weltweit brauchbare Leitform, die im Ober-Apt ihre Hauptverbreitung besitzt.

#### Gattung *Biglobigerinella* LALICKER 1948

*Biglobigerinella barri* BOLLI, LOEBLICH & TAPPAN 1957

Tafel 4, Figur 386–397

\*1957 *Biglobigerinella barri* n. sp. – BOLLI, LOEBLICH & TAPPAN, Studies in Foram., S. 25, Taf. 1 Fig. 13–18.

1959 *Biglobigerinella barri* BOLLI, LOEBLICH & TAPPAN – BOLLI, Planktonic Foram., S. 263. Material: C 24626/1–12.

Bemerkungen: Typlokalität der Art ist Maridale Estate, Typhorizont die *Biglobigerinella barri*-Zone, der diese Art den Namen gab. Das Vorkommen ist häufig. – *B. barri* ist mit *Planomalina pulchella* TODD & LOW 1964 (S. 401, Taf. 1 Fig. 9) aus dem Cenoman von Puerto Rico eng verwandt (siehe die näheren Ausführungen in dieser Arbeit).

#### Familie **Rotaliporidae**

Gattung *Hedbergella* BRÖNNIMANN & BROWN 1958

*Hedbergella delrioensis* (CARSEY 1926)

Tafel 4, Figur 360–370

1952 *Globigerina gautierensis* n. sp. – BRÖNNIMANN, Globigerinidae, S. 11, Taf. 1 Fig. 1–3, Texfig. 2.

1961 *Hedbergella delrioensis* (CARSEY) – LOEBLICH & TAPPAN, Cenomanian, S. 275, Taf. 2 Fig. 11–13.

1962 *Hedbergella delrioensis* (CARSEY) – TAKAYANAGI & IWAMOTO, Cretac. Planktonic Foram., S. 190, Taf. 28 Fig. 10–12.

1964 *Hedbergella delrioensis* (CARSEY) – TODD & LOW, Cenomanian, S. 402, Taf. 1 Fig. 2.

1965 *Hedbergella delrioensis* (CARSEY) – BARTENSTEIN, Alb-Nomenklator, S. 346.

Material: C 24622/1–11.

Bemerkungen: Die Art tritt in der höheren Unterkreide und tieferen Oberkreide nicht selten bis massenhaft auf. Ihre stratigraphische Reichweite scheint in den einzelnen Ländern zu differieren, jedoch steht eine eingehende Überprüfung noch aus. Nach den Literaturlauswertungen in BARTENSTEIN 1965 lauten die bisherigen Angaben:

NW-Deutschland . . . . . unteres Ober-Apt  
 SE-Frankreich . . . . . Hauterive bis Unter-Alb, speziell aber im Ober-Apt  
 Russland . . . . . Barrême bis Cenoman

Nordamerika . . . . .	Ober-Alb bis Cenoman
Mittelamerika . . . . .	Ober-Apt bis Cenoman
(Japan . . . . .)	Alb bis tiefere Oberkreide)

In Trinidad kommt die Art vom höheren Apt bis Cenoman häufig vor.

### 3c. Gruppe der Ostrakoden

#### Tafel 4 B

Das Trinidad-Material der Typlokalität Maridale Estate ist im Vergleich zu vielen Faunengemeinschaften der borealen Unterkreide Europas arm an Ostrakoden, wobei jedoch zu berücksichtigen ist, dass systematische Ostrakoden-Aufsammlungen bisher noch nicht durchgeführt wurden. Die uns vorliegenden Faunen sind daher für stratigraphische und systematische Zwecke noch nicht verwertbar. Eine kursorische Bestimmung verdanken wir Dr. HEINZ OERTLI in Pau.

Nach OERTLI ist die Fauna meist eintönig und wird von *Pontocyprrella* beherrscht, während andere Gattungen weitaus seltener vertreten sind. Folgende Formen konnten ausgeschieden und auf Taf. 4 B abgebildet werden:

a) *Pontocyprrella* aff. *gracilis* (ALEXANDER 1929)

Material: F 431

b) *Bairdia* sp. (n. sp.)

Material: F 432

c) *Cytherella* sp. (n. sp.)

Material: F 433

d) *Cytherura* ? sp. (n. sp.)

Material: F 434

### 4. Stratigraphischer Teil

Im historischen Überblick (2. Kapitel) sind die von STOLLEY bestimmten Belemniten aufgeführt, die für die Maridale-Formation ein Ober-Apt-Alter anzeigen. Einige gleichfalls dort angegebene Foraminiferen haben später die Einstufung auf den Bereich Apt bis Unter-Alb erweitert. Durch die vorliegende Bearbeitung der gesamten Foraminiferen-Fauna – mit 83 Arten und 1 Unterart – kann dieses Alter bestätigt und für die Maridale-Typlokalität wiederum etwas eingengt werden. Dies sei im folgenden anhand der 31 Foraminiferen (30 Arten und 1 Unterart) begründet, die eine stratigraphische Aussage ermöglichen.

Wie schon bei der ersten Bearbeitung (1957, S. 49–50) betont, unterscheiden sich die einzelnen Arten einer Foraminiferen-Fauna – wie auch bei anderen Fossilgruppen – erheblich in ihrer stratigraphischen Qualität als Leitfossilien. Sie ordnen sich nach ihrem verschiedenen Leitwert zu einer Rangskala, die von ihrer Kurzlebigkeit, ihrer Zuverlässigkeit und dem derzeitigen Stand unserer Kenntnisse bestimmt wird. Im allgemeinen bilden 50–60% der Arten einer Kleinforaminiferen-Fauna Durchläufer von längerer Lebensdauer (BETTENSTAEDT 1960, S. 58); in der Maridale-Fauna sind es etwa 59% der Arten<sup>8)</sup>. Auf die Aufzählung dieser

<sup>8)</sup> Bei dieser Schätzung (Gesamtfauna minus stratigraphisch verwendbare Arten) wurden den 31 Foraminiferen die 3 kurzlebigen Planktonen *Planomalina maridalensis*, *Planomalina saundersi* und *Biglobigerinella barri* hinzugerechnet, die bisher nur aus der hier beschriebenen Typlokalität der Maridale-Formation bekannt geworden sind (BOLLI 1959). Dagegen basiert die Datierung der Maridale-Fauna zur Vermeidung von Zirkelschlüssen nur auf den übrigen 31 Arten und Unterarten.

langlebigen, z. T. über die Unterkreide hinaus persistierenden Arten wird hier verzichtet. Zu ihnen gehören fast alle 26 Arten, die schon aus dem Barrême der Cuche- und Toco-Formationen beschrieben wurden. Immerhin sind auch Durchläufer stratigraphisch nicht ganz ohne Bedeutung. So fällt in der Faunengemeinschaft der unteren Maridale-Formation – wie schon in den Cuche- und Toco-Formationen – der Arten- und Individuenreichtum der Familie Lagenidae auf. Von 83 Spezies gehören über die Hälfte (46) dieser Familie an, deren Vorherrschaft sowohl im Boreal als auch in der Tethys für unterkretazische Foraminiferen-Faunen bezeichnend ist. Langlebige Arten aus bestimmten Familien und Gattungen bilden daher die überall in der marinen Unterkreide anzutreffende Vergesellschaftung, gewissermaßen den «faunistischen Hintergrund», von dem sich die stratigraphisch wertvollen, kurzlebigen Arten abheben.

Viele der in den Cuche- und Toco-Formationen noch nicht beobachteten Trinidad-Foraminiferen wurden erstmalig aus der Maridale-Formation beschrieben. Die meisten von ihnen existierten noch nicht im Barrême und lassen eine Gliederung der Unterkreide zumindest in groben Zügen zu (Barrême, Apt, Alb). Von diesen Arten seien zunächst die aufgezählt, für die in der Literatur ein Vorkommen in der höheren Unterkreide angegeben wird.

Bei der täglichen Routearbeit innerhalb der Erdölindustrie stehen in den meisten Proben genügend ausgewählte Leitformen zur Verfügung, um das Alter einer Mikrofauna zu bestimmen. Demgegenüber gelten alle übrigen Arten als «Begleitfauna», bei denen bisher keine Notwendigkeit bestand, ihre stratigraphischen Reichweiten so gründlich zu prüfen wie die der «leitenden Arten». Wahrscheinlich ist der Leitwert dieser «Begleitformen» nicht hoch, weil sich ihre Lebensdauer tatsächlich über eine oder mehrere Stufen erstreckt. Da sie aber noch nicht eingehend taxonomisch und stratigraphisch bearbeitet sind, ist es nicht erwiesen, ob sich nicht doch unter ihnen unbekannte kurzlebige Unterarten oder phylogenetisch abwandelnde Arten verbergen.

Unsere stratigraphische Kenntnis stützt sich daher für die folgenden Arten nur auf die meist nicht sehr detaillierten Angaben der Literatur, noch dazu zum Teil älterer Veröffentlichungen. Hinzu kommt, dass die artliche Zuordnung einiger Formen nicht ganz gesichert ist, weil entweder die Gehäuse korrodiert waren oder nur in Bruchstücken vorlagen oder weil die Variationsbreite der determinierten Arten noch nicht genügend bekannt ist.

<i>Ammobaculites goodlandensis</i> . . .	Barrême (?), Apt bis Cenoman
<i>Ammobaculites torosus</i> . . . . .	Alb (tieferes bis mittleres Alb)
<i>Ammodiscus gaultinus</i> . . . . .	Ober-Valendis bis Alb, jedoch im Apt und Alb häufiger
<i>Marssonella oxycona</i> . . . . .	Alb bis Ober-Campan
<i>Dorothia filiformis</i> . . . . .	Ober-Hauterive bis Alb, häufig im Alb
<i>Lenticulina (L.) acuta</i> . . . . .	Alb bis tiefere Oberkreide
<i>Lenticulina (L.) pulchella</i> . . . . .	selten im Barrême, häufiger im Apt und Alb
<i>Lenticulina (L.) turgidula</i> . . . . .	Apt bis Alb
<i>Lenticulina (A.) planiuscula</i> . . . . .	hohes Barrême bis Alb, nicht selten im Alb
<i>Lenticulina (M.) lituola</i> . . . . .	Apt bis Unter-Turon
<i>Lenticulina (M.) cephalotes</i> . . . . .	Barrême bis Unter-Turon, häufiger im Alb
<i>Marginulina linearis</i> . . . . .	Ober-Apt bis Turon, häufiger im Alb
<i>Dentalina cylindroides</i> . . . . .	Barrême bis Oberkreide, häufiger im Alb
<i>Lingulina loryi</i> . . . . .	Alb
<i>Vaginulina recta</i> . . . . .	Mittel-Barrême bis Santon, häufig im Alb
<i>Vaginulina cf. recta tenuistriata</i> . . . . .	Alb
<i>Vaginulina geinitzi</i> . . . . .	Alb bis Turon
<i>Fronicularia gaultina</i> . . . . .	Alb bis Cenoman

Von den 18 benthonischen Arten dieser Liste scheinen 8 auf die Unterkreide begrenzt zu sein, doch dürften einige Alb-Arten sehr wahrscheinlich noch vereinzelt in der tieferen Oberkreide existieren. Trotzdem wird man die Fauna insgesamt der höheren Unterkreide zuordnen, zumal alle spezifischen Oberkreide-Arten fehlen.

7 Arten setzen erst im Alb ein, von denen *Ammobaculites torosus*, *Lingulina loryi* und *Vaginulina cf. recta tenuistriata* sogar nur auf diese Stufe begrenzt sein sollen. Jedoch ist die wahre Lebensdauer dieser Arten noch zu wenig bekannt, um damit für die Maridale-Fauna ein Alb-Alter ausreichend zu begründen. Eher erscheint es methodisch richtiger, umgekehrt zu verfahren und die bisher unsicheren Angaben für die 7 Arten anhand ihres Vorkommens in der Maridale-Typlokalität zu korrigieren, die mit zuverlässigeren Leitarten datiert werden kann.

Die meisten Arten (11) sind im Apt und Alb verbreitet, davon treten 6 im Alb häufiger auf als im Apt. Eine vorsichtige Auswertung dieser Liste lässt daher nur den Schluss zu, dass die Maridale-Fauna entweder dem Apt oder dem Alb angehört. Bei dieser Alternative scheint den Argumenten für Alb ein etwas stärkeres Gewicht zuzukommen. Wollte man versuchen, zwischen beiden Möglichkeiten ausgleichend zu vermitteln, ergäbe sich als vage Vermutung «etwa tieferes Alb».

Demgegenüber weisen die beiden folgenden planktonischen Arten mehr auf Apt:

*Schackoina pustulans* . . . . . Apt bis Cenoman, hauptsächlich im Apt  
*Hedbergella delrioensis* . . . . . Hauterive bis Cenoman, häufig im Ober-Apt

Für *Schackoina pustulans* hat SIGAL 1959 im SE-französischen Vocontien und in Tunesien eine Blütezeit im Gargasien festgestellt. Auch *Hedbergella delrioensis* ist in SE-Frankreich hauptsächlich im Ober-Apt verbreitet und tritt zur gleichen Zeit in NW-Deutschland oft massenhaft auf.

Als weitere Gruppe seien 6 benthonische Arten aufgeführt, die in dem Abriss «Leitfossilien der Mikropaläontologie» 1962 aufgenommen wurden (vgl. den Unterkreide-Beitrag BARTENSTEIN & BETTENSTAEDT, S. 225–297). Ihre stratigraphischen Reichweiten sind seit drei Jahrzehnten von vielen Mikropaläontologen in zahlreichen Erdölbohrungen überprüft und können für den NW-deutschen Sedimentationsraum als gesichert gelten. Darüber hinaus hat sich herausgestellt, dass die ermittelten Reichweiten in den meisten Fällen den wahren Lebenszeiten entsprechen; die Arten sind daher auch zur Einstufung anderer europäischer oder ausser-europäischer Vorkommen geeignet.

*Gaudryinella sherlocki* . . . . . höchstes Ober-Hauterive bis tiefes Mittel-Alb, häufig im Barrême  
*Marssonella subtrochus*<sup>9)</sup> . . . . . Mittel-Barrême bis Unter-Turon, häufiger im Alb  
*Lenticulina (L.) subgaultina*<sup>9)</sup> . . . . . Apt bis tiefes Mittel-Alb, häufig im Ober-Apt  
*Lenticulina (A.) scitula*<sup>9)</sup> . . . . . Barrême bis Mittel-Alb, häufig im Ober-Apt  
*Dentalina distincta* . . . . . Unter-Barrême bis Mittel-Alb, häufig im Ober-Apt  
*Valvulineria gracillima* . . . . . Ober-Apt bis Cenoman, nicht selten im höheren Ober-Apt

Nach der zeitlichen Verbreitung von 4 dieser 6 Arten lässt sich Ober-Alb mit Sicherheit ausschalten. *Gaudryinella sherlocki* und *Lenticulina subgaultina* reichen nach den bisherigen Erfahrungen sogar nur bis ins tiefe Mittel-Alb. Andererseits

<sup>9)</sup> Die 3 Arten sind in BARTENSTEIN & BETTENSTAEDT 1962 (S. 283–285) noch unter den Namen *Marssonella cf. trochus*, *Lenticulina cf. gaultina* und *Lenticulina cf. schloenbachi* beschrieben (vgl. taxionomischer Teil).

erscheint *Valvulinera gracillima* in Mitteleuropa erstmalig im Ober-Apt. Man darf daher aufgrund der letztgenannten Arten den stratigraphischen Spielraum für unsere Fauna auf Ober-Apt bis tiefes Mittel-Alb einengen. In diese Altersbestimmung fügen sich auch die Maridale-Gehäuse von *Gaudryinella sherlocki* ein, deren nur schwach vertiefte Nähte eher auf Ober-Apt bis Alb deuten als auf tiefere Horizonte (vgl. BARTENSTEIN & BETTENSTAEDT 1962, S. 272).

Betrachten wir die Häufigkeitsverteilung, liegt der Schwerpunkt bei 4 Arten wiederum im Ober-Apt. Ihr häufiges Vorkommen bezieht sich jedoch in erster Linie auf den NW-deutschen Sedimentationsraum und darf für die Einstufung der Trinidad-Fauna nicht allzu hoch bewertet werden. In NW-Deutschland herrschten im Ober-Apt optimale Lebensbedingungen für benthonische Kleinforaminiferen. An der Wende Apt/Alb führten dagegen tektonische Bewegungen zu einem einschneidenden Wechsel der hydrologischen Verhältnisse, der sich in Farbe und Kalkgehalt der Sedimente ebenso bemerkbar macht wie in der Mikrofauna. Kalkschalige Foraminiferen treten stark zurück, während sandschalige Arten im Unter-Alb dominieren (BARTENSTEIN & BETTENSTAEDT 1962, S. 241). Bei diesem deutlich umweltbedingten Rückgang der Kalkschaler im NW-deutschen Unter-Alb ist es durchaus möglich, dass einige von ihnen in anderen Faziesräumen in gleicher Häufigkeit weiter existierten.

Andere Kalkschaler zeigen dagegen im Ober-Apt eine weltweite Blütezeit, unter ihnen die Gattung *Dentalina*, die sich in dieser Unterstufe nicht nur im Boreal (NW-Deutschland), sondern auch im Mediterran (Bayerische und Österreichische Alpen) zu grossem Arten- und Individuenreichtum entfaltet hat (BARTENSTEIN & BETTENSTAEDT 1962, S. 249, 280). Dass auch in der Maridale-Fauna 10 *Dentalina*-Arten, davon 5 nicht selten auftreten, kann als stratigraphisches Argument für Ober-Apt angesehen werden.

Zwei weitere benthonische Arten, die in der borealen Unterkreide als gute Leitfossilien gelten (BARTENSTEIN & BETTENSTAEDT 1962, S. 255, 261), scheinen der Einstufung «Ober-Apt bis tiefes Mittel-Alb» zu widersprechen:

*Lenticulina* (L.) cf. *schreiteri* . . . . . Mittel-Valendis bis tiefes Mittel-Barrême  
*Lenticulina* (L.) *guttata* . . . . . Ober-Valendis bis Mittel-Barrême

Die stärkere Beweiskraft der bisher und vor allem im nächsten Abschnitt aufgeführten Arten zwingt zu einer Revision unserer stratigraphischen Kenntnisse. Die gleiche Verlängerung der Reichweiten ergab sich schon bei der Bearbeitung der Cuche-Formation (1957, S. 52–53) für 3 Arten der Gattungen *Triplasia* und *Epistomina*, die im Unter-Barrême aus dem borealen NW-Deutschland abgewandert sind und in Trinidad bis zum Mittel-Barrême persistiert haben. Dass hier ein analoger Fall vorliegt – zeitlich um etwa eine Stufe verschoben –, wird durch die morphologischen Veränderungen bestätigt; während der Zeit, in der die beiden Arten in der Tethys länger lebten, haben sie ihre kennzeichnenden Skulpturmerkmale teilweise rückgebildet (vgl. taxionomischer Teil). Im übrigen wurde schon mehrfach festgestellt, dass einige (besonders wärmeliebende) Arten in der Tethys individuenreicher waren, früher einsetzten oder länger existierten als in borealen Meeren (BETTENSTAEDT & WICHER 1955, Taf. 5; BARTENSTEIN & BETTENSTAEDT 1962, S. 248).

Abschliessend werden die 5 stratigraphisch wertvollsten Arten der Maridale-Fauna diskutiert, die ebenfalls schon in dem erwähnten Abriss 1962 (ausser der neuen Art) beschrieben sind:

*Gaudryina dividens* GRABERT

*Gaudryina reicheli* n. sp.

*Lenticulina* (S.) *spinosa* (EICHENBERG)

*Gavelinella intermedia* (BERTHELIN)

*Conorotalites aptiensis* (BETTENSTAEDT)

Da diese Arten phylogenetisch abwandeln, phylogenetischen Artenreihen angehören oder ihre genetische Herkunft mit einiger Sicherheit bekannt ist, zählen sie zu den zuverlässigsten Leitfossilien, die uns überhaupt zur Verfügung stehen (BETTENSTAEDT 1960, S. 68). Ausserdem lassen sich mit der jeweiligen Entwicklungshöhe der abwandelnden Populationen genauere Einstufungen durchführen als mit der artlichen Lebensdauer. *Conorotalites aptiensis* hat eine planktonische Lebensweise erworben (BETTENSTAEDT 1962, S. 423), während die übrigen Arten zum Benthos rechnen. Die 5 Arten werden im folgenden einzeln besprochen.

*Gaudryina dividens* existiert im Boreal vom höheren Unter-Apt bis zum höheren Unter-Alb, im Mediterran bis zum tiefen Mittel-Alb (GRABERT 1959, S. 11). In Trinidad tritt die Art in hochentwickelten Varianten auf, wie sie in NW-Deutschland erstmalig an der Wende Apt/Alb erscheinen (GRABERT 1959, S. 10, 46). Die Sedimente der Maridale-Typlokalität scheinen demnach nicht älter als höchstes Ober-Apt zu sein. Betrachten wir dagegen die Häufigkeitsverteilung der progressiven Varianten innerhalb der Gesamtpopulation, so liegt nach den Variationskurven von GRABERT (1959, S. 51, Abb. 26, Kurve f) das Maximum an der Wende Apt/Alb bei Varianten mit 6 biserialen Kammern. Die Trinidad-Gehäuse von *G. dividens* weisen aber mit ihren 8–10 Biserialkammern – an diesem phylogenetischen Zeitmaßstab gemessen – auf ein höheres Entwicklungsstadium hin, das erst im Unter-Alb erreicht sein dürfte. Zu der gleichen Auffassung kam auch GRABERT (S. 46): «Wahrscheinlich liegt daher in der Maridale-Formation neben Ober-Apt auch tieferes Unter-Alb vor».

Diese Vermutung wird gestützt, wenn wir akzeptieren, dass *Gaudryina reicheli* mit ihren bis 18 alternierenden Kammern aus *Gaudryina dividens* hervorgegangen ist. Auch hier gewinnen wir exaktere Werte, wenn wir nicht die Extremvarianten, sondern die Entwicklungshöhe der Gesamtpopulation betrachten. Wie bereits im taxionomischen Teil erwähnt, ergibt die statistische Zählung der Biserialkammern von *G. reicheli* eine Variationskurve, deren Maximum zwischen 12 und 13 liegt. Ein Vergleich mit den Variationskurven der *Gaudryina-Spiroplectinata*-Gruppe (GRABERT, Abb. 26) führt zu einem stratigraphischen Niveau etwa im mittleren Unter-Alb. Wir kommen daher aufgrund der beiden *Gaudryina*-Arten zu dem Bereich unterer bis mittlerer Teil des Unter-Alb.

Bei dieser Einstufung ist jedoch eine Einschränkung zu machen. Die Parallelisierung geht von der Voraussetzung aus, dass sich progressive Variantengruppen von *G. dividens* von NW-Deutschland bis Trinidad ausgebreitet haben (vgl. GRABERT, S. 55). In diesem Fall darf die Zeit, die eine wandernde Population oder Fauna zu ihrer Ausbreitung benötigt, – geologisch gesehen – vernachlässigt und der phylogenetische Zeitmaßstab der *Gaudryina*-Entwicklung in NW-Deutschland unmittelbar auf Trinidad übertragen werden. Jedoch steht fest, dass *G. dividens* im Unter-Apt aus «einem noch unbekanntem Lebensraum nach NW-Deutschland eingewandert ist» (GRABERT, S. 56). Eines dieser Herkunftsgebiete ist inzwischen durch Funde

von *Gaudryina dividens* aus SE-Frankreich bekannt geworden<sup>10</sup>); die Fundschicht wurde als etwa mittleres Barrême (stratigraphisch unterhalb der Urgon-Kalke) kartiert. Die Gehäuse sind sehr variabel und besitzen teilweise ein progressiveres Biserialstadium als die ältesten Populationen von *G. dividens* im NW-deutschen unteren Ober-Apt. Stratigraphische und geographische Lage sprechen dafür, dass sich die Art im hohen Barrême oder Unter-Apt von SE-Frankreich aus einerseits bis Trinidad, andererseits bis NW-Deutschland ausgebreitet hat. Vielleicht hat dabei die phylogenetische Entwicklung mit der Ausbildung zusätzlicher Biserialkammern in Trinidad um eine geringe Zeitspanne früher begonnen und dort schon im Ober-Apt ein etwas höheres Stadium erreicht als in NW-Deutschland. Letztere Möglichkeit ist zwar unbewiesen und wenig wahrscheinlich, aber sie bedeutet, dass ein Ober-Apt-Alter für die Maridale-Fauna nicht völlig ausgeschlossen werden kann.

*Lenticulina (S.) spinosa* gilt in Europa als eine der kurzlebigsten, bewährten Leitfossilien und darf bis zu einem gewissen Grade zu den phylogenetisch näher bekannten Arten zählen. Da sie sich sehr wahrscheinlich im unteren Unter-Apt von *Lenticulina (S.) forticosta* BETTENSTAEDT abgespalten hat (BARTENSTEIN & BETTENSTAEDT 1962, S. 284), dürfte der Beginn ihrer Lebensdauer im Unter-Apt gesichert sein. Ihre Hauptverbreitung liegt im höheren Ober-Apt. In NW-Deutschland tritt sie nur noch selten im untersten Unter-Alb (*nolani*-Zone) auf. Mit dieser kurzen Existenzdauer könnte der bisherige stratigraphische Spielraum für die Maridale-Fauna auf Ober-Apt bis tiefes Unter-Alb eingeengt werden, jedoch ist auch hier wiederum zu beachten, dass sich die Lebensbedingungen für kalkschalige Foraminiferen in NW-Deutschland zur Zeit des Unter-Alb sehr verschlechtert haben. Es ist daher schwer zu entscheiden, ob *Lenticulina (S.) spinosa* nach dem tiefsten Unter-Alb ausgestorben oder abgewandert ist; sie könnte in anderen Meeressräumen noch einige Zeit – bis zum mittleren Unter-Alb – persistiert haben.

*Gavelinella intermedia* ist nach MICHAEL 1966 durch kontinuierliche Umwandlung aus *Gavelinella barremiana* hervorgegangen. Da *G. barremiana* auch in der Cuche-Formation gefunden wurde (Trinidad, 1. Teil, S. 47), ergibt sich allein schon aus diesen beiden *Gavelinella*-Arten, dass die Maridale-Formation jünger als die 1957 untersuchten Cuche-Aufschlüsse ist. *Gavelinella intermedia* verändert sich in einigen Merkmalen weiterhin während ihrer Lebensdauer (Unter-Apt bis Ober-Alb) und lässt eine genauere Altersbestimmung zu. Auf ein progressives Entwicklungsstadium weisen die stark involute Einrollung der Gehäuse sowie der Nabelknopf hin, auf ein relativ ancestrales Stadium die weit nach hinten geschwungenen Nähte. Diese Merkmalskombination deutet auf den Bereich Ober-Apt bis mittleres Unter-Alb und damit auf das gleiche Alter wie schon die zuletzt besprochenen 3 Arten. Höheres Unter-Alb ist auch deshalb unwahrscheinlich, weil *Gavelinopsis berthelini* (KELLER) in der Maridale-Fauna noch nicht auftritt, die sich nach der von MICHAEL 1966 untersuchten Gavelinelliden-Entwicklung im höheren Unter-Alb von *Gavelinella intermedia* abgespalten hat.

<sup>10</sup>) Die Exemplare hat Dr. H. OERTLI aus Kartierungsproben ausgeschlämmt und 1959 Frau Dr. B. LUTZE-GRABERT überlassen. Verff. danken für die freundliche Erlaubnis, an dieser Stelle über die Funde zu berichten. Die Fundortsangabe lautet: Strasse unmittelbar südlich der Ortschaft Lussan, Dép. Gard, Provence, SE-Frankreich.

*Conorotalites aptiensis* ist als Endglied einer phylogenetischen Reihe aus *Conorotalites intercedens* hervorgegangen (BETTENSTAEDT 1952, 1958, 1962). Da letztere Art schon in der Cucho-Formation auftrat<sup>11)</sup>, bestätigen auch die beiden *Conorotalites*-Arten – allein für sich betrachtet – das jüngere Alter der Maridale-Formation. Die Lebensdauer von *C. aptiensis* reicht vom Ober-Barrême bis ins Alb. In NW-Deutschland tritt sie bis zur Wende Apt/Alb in reichen Populationen auf, wird aber noch vereinzelt im tiefsten Unter-Alb und zuletzt sehr selten im Mittel-Alb beobachtet (BARTENSTEIN & BETTENSTAEDT 1962, S. 278). Die Maridale-Exemplare besitzen meist die spitzkonisch-hohe Gehäusegestalt, die der Variantengruppe 5 in BETTENSTAEDT 1962 (S. 418, Abb. 6) entspricht. Solche Varianten findet man in vielen Populationen dieser Art, aber in denen des Ober-Apt sind sie regelmässig am häufigsten. Wenn auch *Conorotalites aptiensis* keine detaillierte Einstufung ermöglicht, weist doch die Häufigkeitsverteilung ihrer Varianten am ehesten auf Ober-Apt hin.

Überblicken wir die stratigraphischen Aussagen aller diskutierten Arten, so sprechen Lebensdauer oder häufiges Vorkommen der meisten übereinstimmend für Ober-Apt. Damit scheint das Alter, das STOLLEY aufgrund von Belemniten folgerte<sup>12)</sup>, auch von den Kleinforaminiferen aus bestätigt zu sein. Soweit feststellbar, wurden die von STOLLEY bestimmten Belemniten vor rund 30 Jahren aus dem gleichen Aufschluss der Typlokalität Maridale Estate aufgesammelt, aus dem die hier beschriebene Foraminiferen-Fauna stammt.

Man könnte daher ohne weitere Diskussion ein Ober-Apt-Alter akzeptieren, wenn nicht alle leitenden Foraminiferen-Arten auch tieferes bis mittleres Unter-Alb zulassen und die Entwicklungshöhe der *Gaudryina*-Arten sogar eher auf Unter-Alb deuten würde. Bei dieser stratigraphischen Unstimmigkeit zwischen *Gaudryina*- und *Neohibolites*-Arten wäre zu erwägen, ob nicht auch weitverbreitete Belemniten (wie manche Foraminiferen) in der Tethys eine geringe Zeitspanne länger als im Boreal existiert haben – in unserem Fall bis ins tiefe Unter-Alb. Eine andere Auflösung des Widerspruchs läge vielleicht darin, dass in der Typlokalität beide Unterstufen (Ober-Apt und Unter-Alb) vertreten sind. Wie eingangs erwähnt, sind die Maridale-Mergel an der Maridale Estate nur maximal 20 m mächtig. Die Mergel müssten in diesem Fall stark reduziert oder lückenhaft abgelagert sein – eine wenig wahrscheinliche Vorstellung, zumal die auf 1500 m geschätzte Gesamtmächtigkeit der Cucho- und Maridale-Formationen allgemein für eine kontinuierliche, vollständige Sedimentation spricht. Schliesslich besteht die zwar nicht auszuschliessende, aber ebenso unwahrscheinliche Möglichkeit, dass die Zeitgrenze Ober-Apt/Unter-Alb zufällig gerade durch die 20 m mächtigen Mergel der Typlokalität verläuft.

Als Gesamtergebnis kommen wir aufgrund von 31 Kleinforaminiferen, von denen bemerkenswerterweise gerade benthonische Arten die schärfsten Einstufungen ermöglichten, zu dem stratigraphischen Bereich Ober-Apt bis mittleres Unter-

<sup>11)</sup> In Trinidad, 1. Teil (1957, S. 48–49) wurde *Conorotalites intercedens* als *Globorotalites bartensteini intercedens* beschrieben.

<sup>12)</sup> STOLLEY's damalige Folgerung entspricht nach freundlicher Mitteilung von Dr. F. SCHMID, Hannover, auch unserem heutigen Einblick. Das Vorkommen aller 3 *Neohibolites*-Arten ist auf das Ober-Apt begrenzt. *Neohibolites aptiensis* zeigt in NW-Deutschland tieferes Ober-Apt, *Neohibolites semicanaliculatus* oberstes Ober-Apt an.

Alb. Höhere und tiefere Horizonte lassen sich mit Sicherheit ausschalten. Dagegen kann bei dem Versuch, Unterkreide-Sedimente über immerhin 7500 km Entfernung (NW-Deutschland–Trinidad) miteinander zu parallelisieren, mittleres Unter-Alb nicht ganz ausgeschlossen werden. Als wahrscheinlichste Datierung für die Typlokalität der Maridale-Formation (*Biglobigerinella barri*-Zone) ergibt sich Ober-Apt bis unteres Unter-Alb<sup>13)</sup> – eine Zeitspanne, die annähernd der bisher bekannten Lebensdauer von *Lenticulina (S.) spinosa* entspricht.

## 5. Zusammenfassung

In Fortsetzung des ersten Teils über die Foraminiferen der unterkretazischen Toco- und Cucho-Formation von Trinidad, W. I., wird in dem vorliegenden zweiten Teil die jüngere Maridale-Formation (unterer Teil: *Biglobigerinella barri*-Zone) mikropaläontologisch und feinstratigraphisch bearbeitet.

Ein lithofazieller und stratigraphischer Überblick der Maridale-Formation gibt zugleich Einzelheiten der Geschichte ihrer Erschliessung, Einstufung und Nomenklatur, insbesondere ihrer Bewertung als selbständiger Formation neben den Toco- und Cucho-Formationen.

Der taxonomische Teil beschreibt 38 Gattungen mit 84 Arten, Unterarten oder Formen mit offener Nomenklatur, darunter 1 n. sp.: *Gaudryina reicheli*. 26 Arten waren bereits in Trinidad, Teil 1, behandelt und in den stratigraphischen Bereich zwischen Unter-Barrême und Ober-Barrême eingestuft worden, der grössere Teil ist jedoch neu und aus Trinidad erstmalig beschrieben worden. Einzig die stratigraphisch wichtigen Planktonen-Arten wurden in früheren Arbeiten des dritten der Verff. bereits behandelt.

Der stratigraphische Teil konnte die Foraminiferen-Fauna der Maridale-Formation unter Vergleich des Trinidad-Materials mit anderen unterkretazischen Weltvorkommen, insbesondere mit dem gut bekannten mitteleuropäischen Raume in die höhere Unterkreide, und zwar in den Bereich Ober-Apt bis mittleren Teil des Unter-Alb einstufen. Weltweit gültige Leitfossilien konnten in ausreichender Zahl wiedergefunden werden.

Einige unterkretazische Ostrakoden wurden erstmalig aus Trinidad abgebildet, erwiesen sich aber für eine taxonomische oder stratigraphische Auswertung zunächst noch als zu untypisch.

## RÉSUMÉ

Cette deuxième publication sur les foraminifères du Crétacé inférieur de la Trinité dans les Caraïbes traite les faunes de la zone à *Biglobigerinella barri* représentant la partie inférieure de la formation de Maridale, tandis que dans le premier travail, publié en 1957, les foraminifères des formations Cucho et Toco ont été étudiés.

<sup>13)</sup> Allen hier vorgenommenen Altersbestimmungen liegt die norddeutsche Unterkreide-Gliederung zugrunde (vgl. BARTENSTEIN & BETTENSTAEDT 1962, S. 229). Bei einem Vergleich mit anderen Ländern ist jedoch zu beachten, dass die Abgrenzung der NW-deutschen Unterstufen Ober-Apt, Unter-Alb und Mittel-Alb mit den sous-étages Aptien supérieur (Gargasien und Clansayésien), Albien inférieur und Albien moyen der französischen Unterkreide-Stratigraphie differiert (vgl. Conclusions du colloque de Stratigraphie sur le Crétacé inférieur en France, Lyon septembre 1963). Trotz der verschiedenen Gliederungen ist eine stratigraphische Gleichstellung mit Hilfe weitverbreiteter Leitfossilien möglich, die im borealen NW-Deutschland und mediterranen SE-Frankreich zugleich vorkommen, z. B. mit den Zonen-Ammoniten *Deshayesites deshayesi*, *Leymeriella tardefurcata*, *Douvilleiceras mammillatum* oder den Kleinforaminiferen *Conorotalites aptiensis*, *Lenticulina (S.) spinosa*, *Pleurostomella aff. obtusa*, *Gavelinopsis berthelini* u. a. (SIGAL 1963, MOULLADE 1965). Danach entsprechen sich in beiden Ländern:

Ober-Apt bis unteres Unter-Alb – Gargasien bis mittleres Clansayésien  
 Ober-Apt bis mittleres Unter-Alb – Gargasien bis oberes Clansayésien.

Ici, la localité type et une localité co-type de la formation de Maridale sont décrits. Un historique des travaux antérieurs se référant aux marnes de Maridale est donné et l'on démontre à l'aide de quelques exemples choisis que tous les affleurements de ces marnes actuellement connus se trouvent dans des zones affectées par une tectonique et des glissements complexes. Les relations entre cette formation et d'autres appartenant au Crétacé inférieur, et en particulier la formation de Cuche, ne sont donc pas établies avec précision. Les raisons pour maintenir les marnes de Maridale comme formation distincte sont également discutées ici.

38 genres et leurs 84 espèces ou formes désignées par une nomenclature ouverte sont décrits. Une espèce, *Gaudryina reicheli*, est nouvelle. Un certain nombre de ces espèces est représenté dans les formations de Cuche et de Toco décrites dans notre travail précédent dans lequel un âge Barrémien inférieur à Barrémien supérieur leur est attribué. Cependant, la majorité des espèces n'est pas présente dans ces formations plus anciennes que les marnes de Maridale. C'est ici pour la première fois que ces formes de la Trinité sont décrites et figurées. Les foraminifères planctoniques du Crétacé de la Trinité y compris celles de la formation de Maridale, ont été traitées précédemment. Par conséquent, seules les espèces les plus communes et les plus précieuses du point de vue stratigraphique sont incluses dans ce travail.

L'âge de la formation de Maridale est déterminé ici comme Aptien supérieur à Albien inférieur (partie moyenne) sur la base de comparaisons avec les faunes de foraminifères du Crétacé inférieur dans certaines autres parties du monde et en particulier avec les faunes bien étudiées de l'Europe centrale. Beaucoup d'espèces de foraminifères benthoniques et planctoniques de la formation de Maridale sont répandues dans le monde entier et peuvent servir de fossiles indicateurs pour les corrélations entre les continents.

Les ostracodes trouvés dans la localité type de la formation de Maridale sont illustrés à côté des foraminifères. Ils sont difficilement déterminables et n'ont pour cette raison que peu de valeur stratigraphique.

#### SUMMARY

This paper represents the second part of a study of the Foraminifera of the Lower Cretaceous of Trinidad, West Indies. It describes the fauna of the *Biglobigerinella barri* zone, that is the lower zone, of the Maridale formation. The first part dealing with the Foraminifera of the Cuche and Toco formations was published in 1957.

The type locality and a more easily accessible co-type locality are described. It is shown that all the known Maridale outcrops occur in areas that are complex due to a combination of tectonics and slumping. The relationship of the formation to other Lower Cretaceous formations, and in particular the Cuche formation with which it appears to be closely associated, is still not fully established; however, the reasons for the continued retention of the Maridale as a separate formation are given.

Thirty-eight genera comprising eighty-four species and subspecies or forms of open nomenclature are described and figured; one species, *Gaudryina reicheli* is new. A number of species have already been described from the Cuche and Toco formations which, on the basis of macro- and micro-paleontological evidence, have been assigned a Lower Barremian to Upper Barremian age. However, the majority of the species from the Maridale formation are not present in the older formations and are described here for the first time from Trinidad.

The Cretaceous planktonic Foraminifera of Trinidad have already been dealt with in several papers and therefore only those which are common or are of particular stratigraphic value are discussed in the present paper.

By comparison with Lower Cretaceous foraminiferal faunas from other parts of the world, and particularly with those from well studied areas of Central Europe, the age of the Maridale formation is regarded as falling within the range Upper Aptian to middle Lower Albian. Many of the benthonic and planktonic foraminiferal species appear to have a world-wide distribution which enables them to be used as index fossils for intercontinental stratigraphic correlation.

Finally, the Ostracods found so far at the type locality are illustrated. It is difficult to place them taxonomically and up to now they have proved to be of little stratigraphic value.

## 6. Foraminiferenliste, alphabetisch nach Gattungen geordnet

(Fettgedruckt = n. sp.)

	Seite		Seite
<i>Ammobaculites</i> . . . . .	139	<i>Lagena</i> . . . . .	157
<i>goodlandensis</i> . . . . .	139	<i>laevis</i> . . . . .	157
<i>subcretaceus</i> . . . . .	139	<i>Lenticulina</i> . . . . .	145
<i>torosus</i> . . . . .	139	<i>acuta</i> . . . . .	146
<i>Ammodiscus</i> . . . . .	140	cf. <i>acuta</i> . . . . .	147
<i>gaultinus</i> . . . . .	140	<i>calliopsis</i> . . . . .	149
<i>Bigenerina</i> . . . . .	141	<i>cephalotes</i> . . . . .	150
cf. <i>clavellata</i> . . . . .	141	<i>excentrica</i> . . . . .	149
<i>Biglobigerinella</i> . . . . .	164	<i>grata</i> . . . . .	148
<i>barri</i> . . . . .	164	<i>guttata</i> . . . . .	146
<i>Conorotalites</i> . . . . .	162	<i>harpa</i> . . . . .	150
<i>aptiensis</i> . . . . .	162	<i>incurvata</i> . . . . .	150
<i>Dentalina</i> . . . . .	152	<i>lituola</i> . . . . .	150
<i>communis</i> . . . . .	153	<i>planiuscula</i> . . . . .	148
<i>cylindroides</i> . . . . .	153	<i>pulchella</i> . . . . .	147
cf. <i>deflexa</i> . . . . .	153	<i>saxocretacea</i> . . . . .	146
<i>distincta</i> . . . . .	153	cf. <i>schreiteri</i> . . . . .	145
<i>gracilis</i> . . . . .	153	<i>scitula</i> . . . . .	149
<i>guttifera</i> . . . . .	154	sp. (n. sp.) . . . . .	148
<i>linearis</i> . . . . .	153	<i>spinosa</i> . . . . .	151
<i>nana</i> . . . . .	152	<i>strombecki</i> . . . . .	147
cf. <i>porcatulata</i> . . . . .	154	<i>subgaultina</i> . . . . .	147
<i>soluta</i> . . . . .	152	<i>turgidula</i> . . . . .	147
<i>Dorothia</i> . . . . .	144	<i>Lingulina</i> . . . . .	155
cf. <i>conula</i> . . . . .	144	<i>lorji</i> . . . . .	155
<i>filiformis</i> . . . . .	144	<i>Marginulina</i> . . . . .	151
<i>Falsoguttulina</i> . . . . .	158	<i>linearis</i> . . . . .	151
<i>vandenboldi</i> . . . . .	158	<i>pyramidalis</i> . . . . .	151
<i>Falsopalmula</i> . . . . .	157	<i>Marssonella</i> . . . . .	144
sp. . . . .	157	<i>oxycona</i> . . . . .	144
<i>Frondicularia</i> . . . . .	156	<i>subtrochus</i> . . . . .	144
<i>gaultina</i> . . . . .	156	<i>Nodosaria</i> . . . . .	152
<i>Gaudryina</i> . . . . .	141	<i>orthopleura</i> . . . . .	152
<i>dividens</i> . . . . .	141	sp. . . . .	152
<b><i>reicheli</i></b> . . . . .	142	<i>Planomalina</i> . . . . .	163
<i>Gaudryinella</i> . . . . .	141	<i>maridalensis</i> . . . . .	163
<i>sherlocki</i> . . . . .	141	<i>saundersi</i> . . . . .	163
<i>Gavelinella</i> . . . . .	161	sp. . . . .	163
<i>intermedia</i> . . . . .	161	<i>Pyrulina</i> . . . . .	158
Genus et Species incertae sedis . . . . .	159	<i>cylindroides</i> . . . . .	158
<i>Globulina</i> . . . . .	158	<i>exserta</i> . . . . .	158
<i>prisca</i> . . . . .	158	<i>Quadratina</i> . . . . .	157
<i>Glomospira</i> . . . . .	140	<i>maertensi</i> . . . . .	157
<i>gordialis</i> . . . . .	140	<i>Ramulina</i> . . . . .	159
<i>Haplophragmoides</i> . . . . .	138	<i>aculeata</i> . . . . .	159
<i>concurvus</i> . . . . .	138	<i>globulifera</i> . . . . .	159
<i>Hedbergella</i> . . . . .	164	<i>laevis</i> . . . . .	159
<i>delrioensis</i> . . . . .	164	<i>Rectoglandulina</i> . . . . .	154
<i>Hyperammia</i> . . . . .	137	<i>humilis</i> . . . . .	155
<i>gaultina</i> . . . . .	137	<i>mutabilis</i> . . . . .	154
		cf. <i>mutabilis</i> . . . . .	154

	Seite		Seite
<i>Reophax</i> . . . . .	137	<i>Vaginulina</i> . . . . .	155
<i>guttifer</i> . . . . .	137	<i>geinitzi</i> . . . . .	156
<i>pilulifer</i> . . . . .	137	<i>recta</i> . . . . .	155
<i>Schackoina</i> . . . . .	163	<i>cf. recta tenuistriata</i> . . . . .	156
<i>pustulans</i> . . . . .	163	sp. . . . .	155
<i>Spirillina</i> . . . . .	161	<i>Valvulina</i> . . . . .	145
<i>minima</i> . . . . .	161	<i>fusca</i> . . . . .	145
<i>Textularia</i> . . . . .	140	<i>Valvulineria</i> . . . . .	161
sp. . . . .	140	<i>gracillima</i> . . . . .	161
<i>Tristix</i> . . . . .	157		
<i>acutangula</i> . . . . .	157		

## 7. Literatur

Ausführliche Listen zusätzlich benutzter, aber hier nicht zitierter mikropaläontologischer Arbeiten sind in folgenden Veröffentlichungen zu finden: BARTENSTEIN & BRAND 1951 (besonders ältere Arbeiten); BARTENSTEIN & BETTENSTAEDT 1962 (auch jüngere Arbeiten).

- BARR, K. W. (1952): *Limestone blocks in the Lower Cretaceous Cuche formation of the Central Range of Trinidad, British West Indies*. Geol. Mag. 89, No. 6, 417–425 (London).
- BARTENSTEIN, H. (1959): *Die Barrême-Scholle von Mellendorf nördlich Hannover, ehemaliger locus typicus von ROEMER 1841, MÜLLER 1893 und KOENEN 1902*. Geol. Jb. 76, 453–468 (Hannover).
- (1962): *Taxionomische Revision und Nomenklator zu FRANZ E. HECHT «Standard-Gliederung der Nordwest-deutschen Unterkreide nach Foraminiferen» (1938)*. Teil 3: Apt. Senck. leth. 43, Nr. 2, 125–149 (Frankfurt a. M.).
- (1965): *Taxionomische Revision und Nomenklator zu FRANZ E. HECHT «Standard-Gliederung der Nordwest-deutschen Unterkreide nach Foraminiferen» (1938)*. Teil 4: Alb. Mit Beschreibungen von Arten aus verschiedenen Unterkreide-Niveaus. Senck. leth. 46, Nr. 4/6, 327–366 (Frankfurt a. M.).
- BARTENSTEIN, H., & BETTENSTAEDT, F. (1962): *Marine Unterkreide (Boreal und Tethys)*. In: *Leitfossilien der Mikropaläontologie*, Verlag Gebr. Borntraeger, 225–297 (Berlin).
- BARTENSTEIN, H., BETTENSTAEDT, F., & BOLLI, H. M. (1957): *Die Foraminiferen der Unterkreide von Trinidad, B. W. I. Erster Teil: Cuche- und Toco-Formation*. Eclogae geol. Helv. 50/1, 5–67 (Basel).
- BARTENSTEIN, H., & BRAND, E. (1951): *Mikropaläontologische Untersuchungen zur Stratigraphie des nordwestdeutschen Valendis*. Abh. senckenb. naturf. Ges. 485, 239–336 (Frankfurt am Main).
- BETTENSTAEDT, F. (1960): *Die stratigraphische Bedeutung phylogenetischer Reihen in der Mikropaläontologie*. Geol. Rdsch. 49, 51–69 (Stuttgart).
- (1962): *Evolutionsvorgänge bei fossilen Foraminiferen*. Mitt. geol. Staatsinst. 31, 385–460 (Hamburg).
- BOLLI, H. M. (1957): *The Foraminiferal Genera Schackoina THALMANN, emended and Leupoldina, n. gen. in the Cretaceous of Trinidad, B.W.I.* Eclogae geol. Helv. 50/2, 271–278 (Basel).
- (1959): *Planktonic Foraminifera as Index Fossils in Trinidad, West Indies and their value for worldwide Stratigraphic Correlation*. Eclogae geol. Helv. 52/2, 627–637 (Basel).
- (1959): *Planktonic Foraminifera from the Cretaceous of Trinidad, B.W.I.* Bull. Amer. Paleont. 39, No. 179, 257–277 (Ithaca, N. Y.).
- BOLLI, H. M., LOEBLICH, A. R., & TAPPAN, H. (1957): *Planktonic foraminiferal families Hantkeninidae, Orbulinidae, Globorotaliidae and Globotruncanidae*. U.S. Nat. Mus., Bull. 215, 3–50 (Washington, D. C.).
- BRÖNNIMANN, P. (1952): *Globigerinidae from the Upper Cretaceous (Cenomanian-Maestrichtian) of Trinidad, B.W.I.* Bull. Amer. Paleont. 34, No. 140, 1–70 (Ithaca, N. Y.).

- BULLARD, F. J. (1953): *Polymorphinidae of the Cretaceous (Cenomanian) Del Rio shale*. J. Paleont. 27, No. 3, 338–346 (Tulsa, Okla.).
- DRUSCHIZA, W. W., & KUDRJAZEWA, M. P. (1960): *Atlas der Unterkreidefauna des Nord-Kaukasus und der Krim (Moskau)*. (Russisch)
- FRIZZELL, D. L. (1954): *Handbook of Cretaceous Foraminifera of Texas*. Bureau Econ. Geol., Univ. Texas, Rep. Investig. 22, 1–232 (Austin, Tex.).
- GRABERT, B. (1959): *Phylogenetische Untersuchungen an Gaudryina und Spiroplectinata (Foram.) besonders aus dem nordwestdeutschen Apt und Alb*. Abh. senckenb. naturf. Ges. 498, 1–71 (Frankfurt am Main).
- HUTCHISON, A. G. (1938): *A note upon the Cretaceous of Trinidad and Venezuela*. Minist. Fomento, Bol. Geol. Minería 2, 226–235.
- JONES, T. R., & CHAPMAN, F. (1897): *On the fistulose Polymorphinae, and on the Genus Ramulina*. Linn. Soc. J., Zool. 26, 334–354 (London).
- KEMPER, E. (1963): *Die Aufschlüsse der Unterkreide im Raum Rheine-Ahaus*. Geol. Jb. 80, 447–494 (Hannover).
- KUGLER, H. G. (1956): *Lexique Stratigraphique International. Amérique Latine, fasc. 2 b, Antilles*. Centre Nat. Rech. scient. (Paris).
- KUGLER, H. G., & BOLLI, H. M. (1956): *Cretaceous Biostratigraphy in Trinidad, British West Indies*. 20. internat. Geol. Kongr. Mexico (im Druck).
- LIDDLE, R. A. (1946): *The Geology of Venezuela and Trinidad*. Pal. Res. Inst. Ithaca, New York. 2nd. Edition.
- LOEBLICH, A. R. & TAPPAN, H. (1961): *Cretaceous planktonic foraminifera: Part I – Cenomanian*. Micropaleontology 7, No. 3, 257–304 (New York, N. Y.).
- MICHAEL, E. (1966): *Die Evolution der Gavelinelliden (Foram.) in der NW-deutschen Unterkreide*. Senck. leth. 47, (Frankfurt am Main). (Im Druck.)
- MOULLADE, M. (1965): *Nouvelles propositions pour l'établissement d'une zonation micropaléontologique de l'Aptien et de l'Albien vocontiens*. C. rendu somm. séanc. Soc. géol. France, fasc. 2, 48–50 (Paris).
- NEAGU, T. (1965): *Albian foraminifera of the Rumanian Plain*. Micropaleontology 11, No. 1, 1–38 (New York, N. Y.).
- POZARYSKA, K. (1957): *Lagenidae du Crétacé supérieur de Pologne*. Palaeontologia polonica 8, 1–190 (Warszawa).
- RENZ, H. H. (1942): *Stratigraphy of Northern South America, Trinidad and Barbados*. Proc. Eight Amer. Sci. Congr. 4, 513–571.
- SIGAL, J. (1959): *Notes micropaléontologiques alpines. Les genres Schackoina et Leupoldina dans le Gargasien vocontien. Étude de Morphogénèse*. Revue Micropaléont. 2, No. 2, 68–79 (Paris).
- SUTER, H. H. (1951–1952): *The general and economic geology of Trinidad, British West Indies*. Colonial Geol. Min. Resources 2, No. 3, 177–217; No. 4, 271–307; 3, No. 1, 3–51.
- TAKAYANAGI, Y. (1960): *Cretaceous Foraminifera from Hokkaido, Japan*. Tohoku Univ. Sci. Rep., 2. ser. (Geology), 32, No. 1, 1–154 (Sendai).
- TAKAYANAGI, Y., & IWAMOTO, H. (1962): *Cretaceous planktonic Foraminifera from the Middle Yezo Group of the Ikushumbetsu, Miruto, and Hatonosu areas, Hokkaido*. Trans. Proc. Palaeont. Soc. Japan, n. s., 45, 183–196.
- TAPPAN, H. (1943): *Foraminifera from the Duck Creek formation of Oklahoma and Texas*. J. Paleont. 17, No. 5, 476–517 (Tulsa, Okla.).
- TODD, R., & LOW, D. (1964): *Cenomanian (Cretaceous) Foraminifera from the Puerto Rico Trench*. Deep-Sea Research 11, 395–414 (Oxford-London).
- WICK, W. (1943): *Mikrofaunistische Untersuchung des tiefen Tertiärs über einem Salzstock in der Nähe von Hamburg*. Abh. senckenb. naturf. Ges. 468, 1–40 (Frankfurt am Main).
- ZEDLER, B. (1961): *Stratigraphische Verbreitung und Phylogenie von Foraminiferen des nordwestdeutschen Oberhauertive*. Paläont. Z. 35, Nr. 1/2, 28–61 (Stuttgart).

## EINFÜHRENDE BEMERKUNGEN ZU DEN TAFELN I-IV

Sämtliches abgebildete Material (Foraminiferen und Ostrakoden) stammt von der Typlokalität der Maridale-Formation

Maridale Estate südlich von Mt. Harris, östliche Central Range, nahe der Ostküste von Trinidad, W. I.

Der Vergrößerungsmaßstab der Foraminiferen (Taf. 1-4A) ist einheitlich 20:1, der Ostrakoden-Faunengemeinschaft (Taf. 4 B) 26:1. Es soll damit ein besserer Vergleich der Arten wie eine gute Wiedererkennung beim Mikroskopieren von Unterkreide-Material angestrebt werden. Trotz manch schlechter Erhaltung des Materials wurde von einer Überzeichnung der Fotografien abgesehen mit Ausnahme gelegentlicher Hervorhebung zu dunkler Konturen.

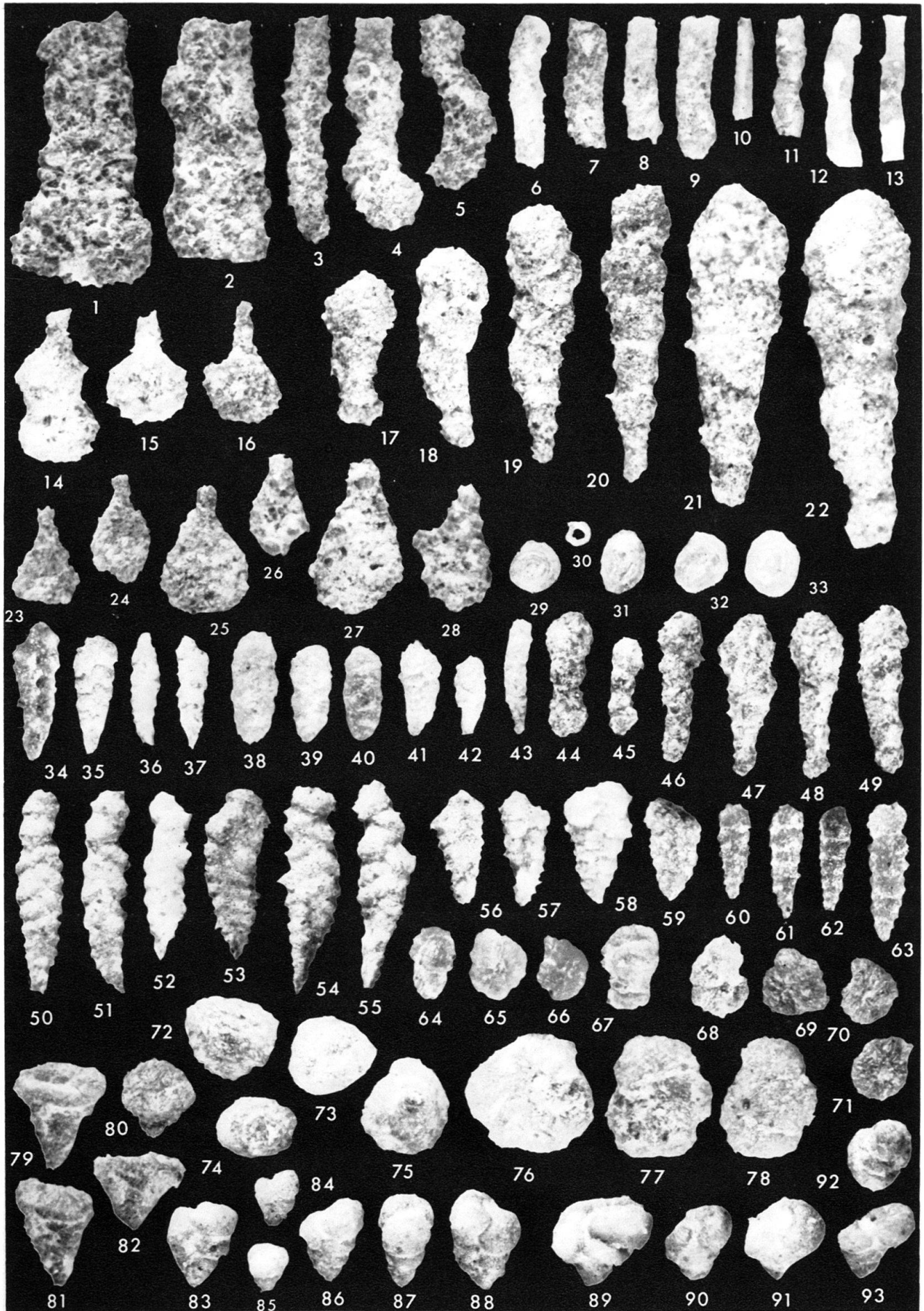
Die fotografischen Platten zu den abgebildeten Mikrofossilien werden bei der Société Nationale des Pétroles, Centre de Recherches, Micropaléontologie, in Pau (France) aufbewahrt.

## Tafel I

### Sandschalige Foraminiferen aus der Maridale-Formation von Trinidad

Sämtliche Figuren: Vergrößerung 20:1

Fig. 1–2. <i>Ammobaculites goodlandensis</i> CUSHMAN & ALEXANDER 1930. Bruchstücke des gestreckten Gehäuseteils. – Länge: 2,13 mm (Fig. 1). – C 24537/1–2	139
Fig. 3–5. <i>Ammobaculites subcretaceus</i> CUSHMAN & ALEXANDER 1930. Länge: 1,78 mm (Fig. 3). – C 24538/1–3	139
Fig. 6–13. <i>Hyperammina gaultina</i> DAM 1950. 6–9: Rauhe, grobkieselige Gehäuse. – Länge: 1,23 mm (Fig. 6). 10–13: Glattwandige, feinkieselige Gehäuse. – Länge: 1,18 mm (Fig. 13). – C 24539/1–8	137
Fig. 14–16. <i>Reophax pilulifer</i> H. B. BRADY 1884. Länge: 1,25 mm (Fig. 14). – C 24540/1–3	137
Fig. 17–22, 44–49. <i>Ammobaculites torosus</i> LOEBLICH & TAPPAN 1949. Längen: 1,0 mm (Fig. 44, kleinste Form); 1,30 mm (Fig. 47, etwas grössere Form); 1,60 mm (Fig. 18, noch grössere Form); 2,03 mm (Fig. 19, zweitgrösste Form); 2,83 mm (Fig. 22, grösste Form) – C 24541/1–12	139
Fig. 23–28. <i>Reophax guttifer</i> H. B. BRADY 1884. 23–25: Stark plattgedrückte, mittelkörnige Gehäuse. – Länge: 0,80 mm (Fig. 23) 26–28: Weniger plattgedrückte, kräftige und grobkörnige Gehäuse. – Länge: 1,25 mm (Fig. 27). – C 24627/1–6	137
Fig. 29. <i>Ammodiscus gaultinus</i> BERTHELIN 1880. Durchmesser: 0,45 mm. – C 24542	140
Fig. 30. <i>Spirillina minima</i> SCHACKO 1892. Durchmesser: 0,23 mm. – C 24543	161
Fig. 31–33. <i>Glomospira gordialis</i> (JONES & PARKER 1860). Durchmesser 0,53 mm (Fig. 31). – C 24544/1–3	140
Fig. 34–37, 50–55. <i>Gaudryina reicheli</i> n. sp. 54: Holotypus. Länge: 1,68 mm. – C 24545. 34–37, 50–53, 55: Paratypoiden. Länge: 1,13 mm (Fig. 34). – C 24546/1–9	142
Fig. 38–40. <i>Gaudryinella sherlocki</i> BETTENSTAEDT 1952. Länge: 0,90 mm (Fig. 38). – C 24547/1–3	141
Fig. 41–42. <i>Textularia</i> ? sp. Länge: 0,75 mm (Fig. 41). – C 24548/1–2	140
Fig. 43. <i>Dorothia filiformis</i> (BERTHELIN 1880). Länge: 0,93 mm. – C 24549	144
Fig. 44–49. Siehe Erklärungen bei Fig. 17–22.	
Fig. 50–55. Siehe Erklärungen bei Fig. 34–37.	
Fig. 56–57. <i>Gaudryina dividens</i> GRABERT 1959. Länge: 0,90 mm (Fig. 56). – C 24550/1–2	141
Fig. 58–59. <i>Marssonella oxycona</i> (REUSS 1860). Länge: 1,0 mm (Fig. 58). – C 24551/1–2	144
Fig. 60–63. <i>Bigenerina</i> cf. <i>clavellata</i> LOEBLICH & TAPPAN 1946. Länge: 1,13 mm (Fig. 63). – C 24552/1–4	141
Fig. 64–71, 76–78. <i>Haplophragmoides concavus</i> (CHAPMAN 1892). 64–67: Kleine Gehäuse mit kieselig-amorphen Wandungen. – Durchmesser: 0,60 mm (Fig. 64). – C 24553/1–4. 68–71: Kleine Gehäuse mit feinkörnigen Wandungen. – Durchmesser: 0,68 mm (Fig. 68). – C 24553/5–8. 76–78: Grosswüchsige, fein- bis mittelkörnige, bisweilen auch grobkörnige Gehäuse. – Durchmesser: 1,05 mm (Fig. 76). – C 24553/9–11	138
Fig. 72–75. <i>Valvulina fusca</i> (WILLIAMSON 1858). Durchmesser: 0,80 mm (Fig. 72). – C 24554/1–4	145
Fig. 76–78. Siehe Erklärungen bei Fig. 64–71.	
Fig. 79–82. <i>Marssonella subtrochus</i> BARTENSTEIN 1962. Länge: 0,88 mm (Fig. 79). – C 24555/1–4	144
Fig. 83–93. <i>Dorothia</i> cf. <i>conula</i> (REUSS 1845). Länge: 0,70 mm (Fig. 83); 0,75 mm (Fig. 89). – C 24556/1–11	144

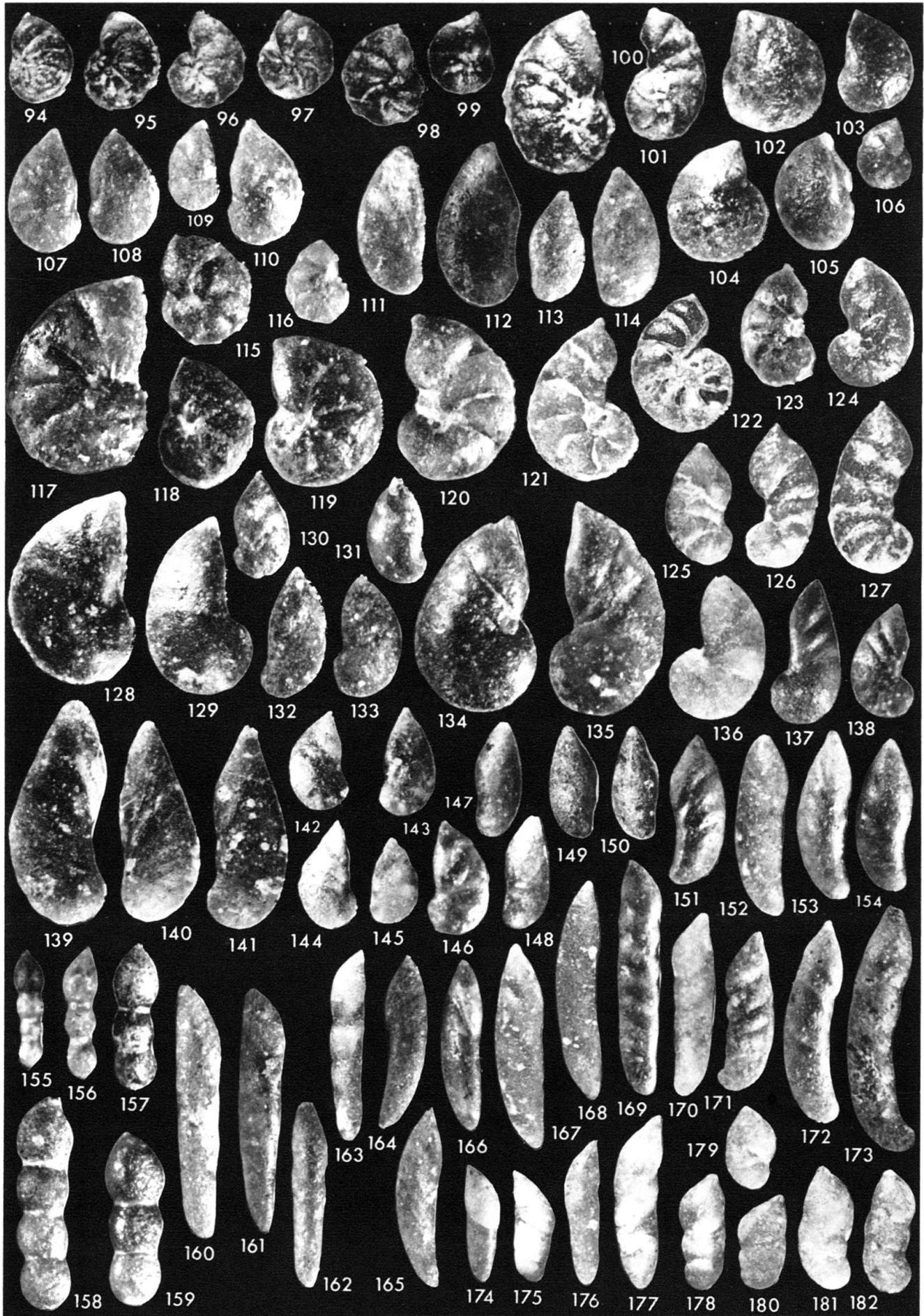


## Tafel II

### Kalkschalige Foraminiferen der Familie Lagenidae aus der Maridale-Formation von Trinidad

Sämtliche Figuren: Vergrößerung 20:1

Fig. 94. <i>Lenticulina</i> ( <i>L.</i> ) cf. <i>schreiteri</i> (EICHENBERG 1935). Grösster Durchmesser: 0,73 mm. – C 24557 . . . . .	145
Fig. 95–99. <i>Lenticulina</i> ( <i>L.</i> ) <i>saxocretacea</i> BARTENSTEIN 1954. Grösster Durchmesser: 0,78 mm (Fig. 95). – C 24558/1–5 . . . . .	146
Fig. 100–101. <i>Lenticulina</i> ( <i>L.</i> ) <i>guttata</i> (DAM 1946). Länge: 1,28 mm (Fig. 100). – C 24559/1–2 . . . . .	146
Fig. 102–106. <i>Lenticulina</i> ( <i>L.</i> ) <i>acuta</i> (REUSS 1860). Grösster Durchmesser: 1,03 mm (Fig. 102). – C 24560/1–5 . . . . .	146
Fig. 107–110. <i>Lenticulina</i> ( <i>L.</i> ) <i>pulchella</i> (REUSS 1863). Länge: 1,0 mm (Fig. 107). – C 24561/1–4 . . . . .	147
Fig. 111–114. <i>Lenticulina</i> ( <i>L.</i> ) <i>strombecki</i> (REUSS 1863). Länge: 1,30 mm (Fig. 112). – C 24562/1–4 . . . . .	147
Fig. 115–119. <i>Lenticulina</i> ( <i>L.</i> ) <i>turgidula</i> (REUSS 1863). Länge: 0,90 mm (Fig. 115); 1,63 mm (Fig. 117). – C 24563/1–5 . . . . .	147
Fig. 120–124. <i>Lenticulina</i> ( <i>A.</i> ) sp. (n. sp.) Länge: 1,33 mm (Fig. 120); 1,08 mm (Fig. 122). – C 24564/1–5 . . . . .	148
Fig. 125–127. <i>Lenticulina</i> ( <i>M.</i> ) <i>lituola</i> (REUSS 1846). Länge: 1,35 mm (Fig. 127). – C 24565/1–3 . . . . .	150
Fig. 128–129. <i>Lenticulina</i> ( <i>L.</i> ) <i>subgaultina</i> BARTENSTEIN 1962. Länge: 1,58 mm (Fig. 128). – C 24566/1–2 . . . . .	147
Fig. 130–133. <i>Lenticulina</i> ( <i>A.</i> ) <i>grata</i> (REUSS 1863). Länge: 1,15 mm (Fig. 132). – C 24567/1–4 . . . . .	148
Fig. 134–135. <i>Lenticulina</i> ( <i>L.</i> ) cf. <i>acuta</i> (REUSS 1860). Länge: 1,68 mm (Fig. 135). – C 24568/1–2 . . . . .	147
Fig. 136–138. <i>Lenticulina</i> ( <i>V.</i> ) <i>excentrica</i> (CORNUEL 1848). Länge: 1,13 mm (Fig. 136). – C 24569/1–3 . . . . .	149
Fig. 139–141. <i>Lenticulina</i> ( <i>V.</i> ) <i>harpa</i> (REUSS 1860). Länge: 1,78 mm (Fig. 139). – C 24570/1–3 . . . . .	150
Fig. 142–146. <i>Lenticulina</i> ( <i>A.</i> ) <i>planiuscula</i> (REUSS 1863). Länge: 0,90 mm (Fig. 146). – C 24571/1–5 . . . . .	148
Fig. 147–150. <i>Lenticulina</i> ( <i>A.</i> ) <i>scitula</i> (BERTHELIN 1880). Länge: 0,95 mm (Fig. 150). – C 24572/1–4 . . . . .	149
Fig. 151–154, 169–173. <i>Lenticulina</i> ( <i>A.</i> ) <i>calliopsis</i> (REUSS 1863). Länge: 1,18 mm (Fig. 151); 1,85 mm (Fig. 169); 1,93 mm (Fig. 173). – C 24573/1–9.	149
Fig. 155–159. <i>Dentalina soluta</i> REUSS 1851. (siehe auch Taf. 3 Fig. 183–186). Länge: 0,93 mm (Fig. 155); 1,68 mm (Fig. 158). – C 24574/1–5 . . . . .	152
Fig. 160–163. <i>Marginulina linearis</i> REUSS 1863 (siehe auch Taf. 3 Fig. 210). Länge: 2,0 mm (Fig. 160); 1,50 mm (Fig. 163). – C 24575/1–4 . . . . .	151
Fig. 164–168. <i>Lenticulina</i> ( <i>V.</i> ) <i>incurvata</i> (REUSS 1863). Länge: 1,35 mm (Fig. 164); 1,58 mm (Fig. 168). – C 24576/1–5 . . . . .	150
Fig. 169–173. Siehe Erklärungen bei Fig. 151–154.	
Fig. 174–177. <i>Dentalina nana</i> REUSS 1863. Länge: 0,93 mm (Fig. 174); 1,38 mm (Fig. 177). – C 24577/1–4 . . . . .	152
Fig. 178–182. <i>Lenticulina</i> ( <i>M.</i> ) <i>cephalotes</i> (REUSS 1863). Länge: 0,98 mm (Fig. 182). – C 24578/1–5 . . . . .	150

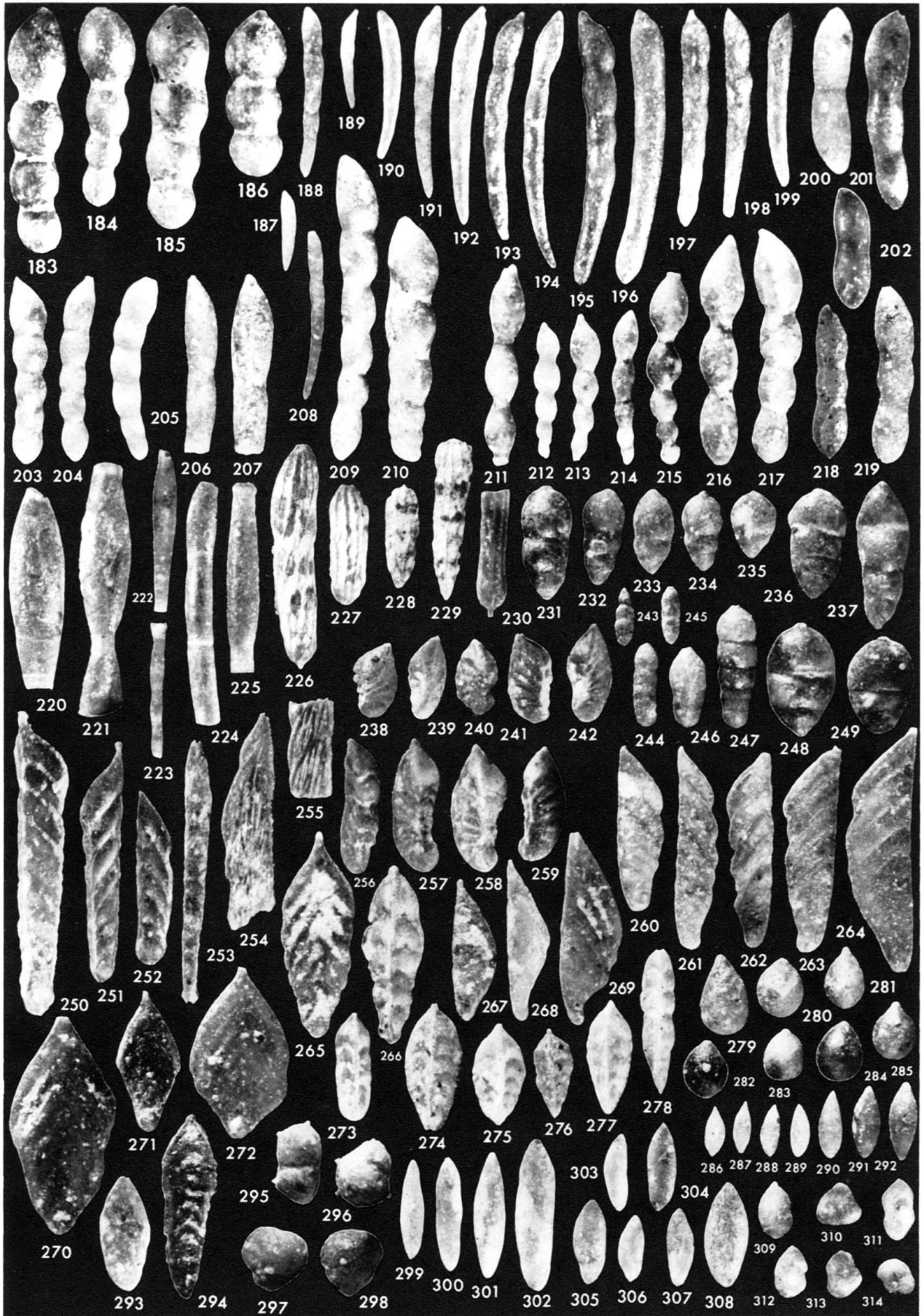


### Tafel III

## Kalkschalige Foraminiferen der Familien Lagenidae (Fig. 183–285, 293) und Polymorphinidae (Fig. 286–292, 294–314) aus der Maridale-Formation von Trinidad

Sämtliche Figuren: Vergrößerung 20:1

Seite	Seite
<p>Fig. 183–186. <i>Dentalina soluta</i> REUSS 1851. (siehe auch Taf. 2 Fig. 155–159). Länge: 1,93 mm (Fig. 183). – C 24579/1–4 . . . . . 152</p> <p>Fig. 187–194, 208. <i>Dentalina gracilis</i> ORBIGNY 1839. Länge: 2,05 mm (Fig. 194). – C 24580/1–9 153</p> <p>Fig. 195–199. <i>Dentalina communis</i> ORBIGNY 1826. Länge: 2,15 mm (Fig. 195). – C 24581/1–5 153</p> <p>Fig. 200–202, 218–219. <i>Dentalina cylindroides</i> REUSS 1860. Länge: 1,58 mm (Fig. 201). – C 24582/1–5 . . . . . 153</p> <p>Fig. 203–204, 209, 217. <i>Dentalina distincta</i> REUSS 1860. Länge: 1,43 mm (Fig. 203); 2,35 mm (Fig. 209). – C 24583/1–4 . . . . . 153</p> <p>Fig. 205. <i>Dentalina linearis</i> (ROEMER 1841). Länge: 1,40 mm. – C 24584 . . . . . 153</p> <p>Fig. 206–207. <i>Dentalina cf. deflexa</i> REUSS 1863. Länge: 1,40 mm (Fig. 206). – C 24585/1–2 . . . . . 153</p> <p>Fig. 208. Siehe Erklärungen bei Fig. 187–194.</p> <p>Fig. 209. Siehe Erklärungen bei Fig. 203–204.</p> <p>Fig. 210. <i>Marginulina linearis</i> REUSS 1863. (siehe auch Taf. 2 Fig. 160–163). Länge: 1,88 mm. – C 24586 . . . . . 151</p> <p>Fig. 211–216. <i>Dentalina guttifera</i> ORBIGNY 1846. Länge: 0,86 mm (Fig. 216). – C 24587/1–6. 154</p> <p>Fig. 217. Siehe Erklärungen bei Fig. 203–204.</p> <p>Fig. 218–219. Siehe Erklärungen bei Fig. 200–202.</p> <p>Fig. 220–225. <i>Nodosaria</i> ? sp. Länge: 1,63 mm (Fig. 220); 2,0 mm (Fig. 221). – C 24588/1–6 . 152</p> <p>Fig. 226. <i>Dentalina cf. porcatulata</i> LOEBLICH &amp; TAPPAN 1951. Länge: 1,75 mm. – C 24589. 154</p> <p>Fig. 227–229. <i>Marginulina pyramidalis</i> (KOCH 1851). Länge: 1,25 mm (Fig. 229). – C 24590/1–3 151</p> <p>Fig. 230. <i>Nodosaria orthopleura</i> REUSS 1863. Länge: 1,0 mm. – C 24591 . . . . . 152</p> <p>Fig. 231–235. <i>Rectoglandulina mutabilis</i> (REUSS 1863). Länge: 0,93 mm (Fig. 231). – C 24592/1–5 . . . . . 154</p> <p>Fig. 236–237, 248–249. <i>Rectoglandulina cf. mutabilis</i> (REUSS 1863). Länge: 1,18 mm (Fig. 237). – C 24593/1–4 . . . . . 154</p> <p>Fig. 238–242, 256–259. <i>Lenticulina (S.) spinosa</i> (EICHENBERG 1935). Länge: 0,60 mm (Fig. 238); 1,13 mm (Fig. 256). – C 24594/1–9 151</p> <p>Fig. 243–245. <i>Lingulina loryi</i> (BERTHELIN 1880). Länge: 0,68 mm (Fig. 244). – C 24595/1–3 155</p>	<p>Fig. 246–247. <i>Rectoglandulina humilis</i> (ROEMER 1841). Länge: 0,97 mm (Fig. 247). – C 24596/1–2 . . . . . 155</p> <p>Fig. 248–249. Siehe Erklärungen bei Fig. 236–237.</p> <p>Fig. 250–253. <i>Vaginulina recta</i> REUSS 1863. Länge: 2,38 mm (Fig. 250). – C 24597/1–4 . . . 155</p> <p>Fig. 254–255. <i>Vaginulina</i> sp. – Bruchstücke. Länge: 1,70 mm (Fig. 254). – C 24598/1–2 . . . 155</p> <p>Fig. 256–259. Siehe Erklärungen bei Fig. 238–242.</p> <p>Fig. 260–264. <i>Vaginulina cf. recta tenuistriata</i> CHAPMAN 1894. Länge: 1,30 mm (Fig. 260); 1,88 mm (Fig. 264). – C 24599/1–5 . . . . . 156</p> <p>Fig. 265. Siehe Erklärungen bei Fig. 270–272.</p> <p>Fig. 266. Siehe Erklärungen bei Fig. 273–278.</p> <p>Fig. 267–269. <i>Vaginulina geinitzi</i> REUSS 1874. Länge: 1,50 mm (Fig. 269). – C 24600/1–3 . . . 156</p> <p>Fig. 270–272, 265. <i>Fronicularia gaultina</i> REUSS 1860. Länge: 1,72 mm (Fig. 270). – C 24601/1–4 156</p> <p>Fig. 273–278, 266. <i>Tristix acutangula</i> (REUSS 1863). Länge: 1,38 mm (Fig. 266); 1,0 mm (Fig. 274). – C 24602/1–7 . . . . . 157</p> <p>Fig. 279–285. <i>Lagena laevis</i> (MONTAGU 1803). Länge: 0,64 mm (Fig. 279); 0,50 mm (Fig. 280). – C 24603/1–7 . . . . . 157</p> <p>Fig. 286–292, 308. <i>Globulina prisca</i> REUSS 1863. Länge: 0,63 mm (Fig. 292); 0,85 mm (Fig. 308). – 24604/1–8 . . . . . 158</p> <p>Fig. 293. <i>Falsopalmula</i> sp. Länge: 0,90 mm. – C 24605. . . . . 157</p> <p>Fig. 294. <i>Quadratina maertensi</i> (REUSS 1863). Länge: 1,45 mm. – C 24606 . . . . . 157</p> <p>Fig. 295–296. <i>Ramulina laevis</i> JONES 1875. Länge: 0,65 mm (Fig. 295). – C 24607/1–2 . . . 159</p> <p>Fig. 297–298. Genus et Species incertae sedis. Höhe: 0,55 mm (Fig. 297). – C 24608/1–2. . . 159</p> <p>Fig. 299–302. <i>Pyrulina cylindroides</i> (ROEMER 1838). Länge: 0,78 mm (Fig. 299); 1,23 mm (Fig. 302). – C 24609/1–4 . . . . . 158</p> <p>Fig. 303–307. <i>Pyrulina exserta</i> (BERTHELIN 1880). Länge: 0,70 mm (Fig. 304). – C 24610/1–5. 158</p> <p>Fig. 308. Siehe Erklärung bei Fig. 286–292.</p> <p>Fig. 309–314. <i>Falsoguttulina vandenboldi</i> (BARTENSTEIN, BETTENSTAEDT &amp; BOLLI 1957). Länge: 0,48 mm (Fig. 309); 0,35 mm (Fig. 310). – C 24611/1–6. . . . . 158</p>



## Tafel IV

### Kalkschalige Foraminiferen verschiedener Familien (Tafel IV, obere Hälfte, Fig. 315–402) und Ostrakoden (Tafel IV, untere Hälfte, a–d) aus der Maridale-Formation von Trinidad

Tafel IV (= obere Hälfte) Vergrößerung 20:1

- Fig. 315–339. *Ramulina aculeata* WRIGHT 1886 . . . . . 159  
315: Form a. Höhe: 0,60 mm. – C 24612.  
316–324: Form b. Länge: 1,33 mm (Fig. 316). – C 23613/1–9.  
325–329: Form c. Länge: 1,08 mm (Fig. 325). – C 24614/1–5.  
331–335: Form d. Länge: 1,03 mm (Fig. 335). – C 24615/1–5.  
330, 336: Form e. Länge: 2,25 mm (Fig. 336). – C 24616/1–2.  
337–339: Form f. Länge: 1,90 mm (Fig. 338). – C 24617/1–3.
- Fig. 340–353. *Gavelinella intermedia* (BERTHELIN 1880).  
Grösster Durchmesser: 0,57 mm (Fig. 340); 0,38 mm (Fig. 347). – C 24618/1–14 . . . 161
- Fig. 354–355. *Valvulineria gracillima* DAM 1947.  
Grösster Durchmesser: 0,28 mm (Fig. 354). – C 24619/1–2 . . . . . 161
- Fig. 356. *Planomalina* sp. Mündungsansicht.  
Höhe: 0,28 mm. – C 24620 . . . . . 163
- Fig. 357–359. *Conorotalites aptiensis* (BETTENSTAEDT 1952).  
Grösster Durchmesser: 0,38 mm (Fig. 357). – C 24621/1–3 . . . . . 162
- Fig. 360–370. *Hedbergella delrioensis* (CARSEY 1926).  
Grösster Durchmesser: 0,31 mm (Fig. 360). – C 24622/1–11 . . . . . 164
- Fig. 371–380. *Planomalina muridalensis* BOLLI 1959.  
Grösster Durchmesser: 0,38 mm (Fig. 371). – C 24623/1–10 . . . . . 163
- Fig. 381–383. *Schackoina pustulans* BOLLI 1957.  
Grösster Durchmesser: 0,23 mm (Fig. 381). – C 24624/1–3 . . . . . 163
- Fig. 384–385, 398–402. *Planomalina saundersi* BOLLI 1959.  
Grösster Durchmesser: 0,38 mm (Fig. 398). – C 24625/1–7 . . . . . 163
- Fig. 386–397. *Biglobigerinella barri* BOLLI, LOEBLICH & TAPPAN 1957.  
Grösster Durchmesser: 0,58 mm (Fig. 386). – C 24626/1–12 . . . . . 164
- Fig. 398–402. Siehe Erklärungen bei Fig. 384–385.

Tafel IV (= untere Hälfte) Vergrößerung 26:1

Ostrakoden-Assoziation mit folgenden wichtigsten Gattungen und Arten:

- a. *Pontocyprella* aff. *gracilis* (ALEXANDER 1929) als dominierende Art. – F 431
- b. *Bairdia* sp. (n. sp.). – F 432
- c. *Cytherella* sp. (n. sp.). – F 433
- d. *Cytherura* ? sp. (n. sp.). – F 434

Probenpunkt: Bo 68 a–f.

